



Fachhochschule Köln
University of Applied Sciences Cologne

Fachbereich Nachrichtentechnik
Institut für Telekommunikation

Diplomarbeit

Programmierung eines Equalizers auf einem DSP-basierten Praktikumsaufbau

Student: Georg Elsenheimer

Matr. Nr.: 11002408

Referent: Prof. Dr.-Ing. Uwe Dettmar

Koreferent: Prof. Dr.-Ing. Heinrich Dederichs

Abgabedatum: 16. Oktober 2000

Hiermit versichere ich, daß ich die Diplomarbeit selbständig angefertigt und keine anderen als die angegebenen und bei Zitaten kenntlich gemachten Quellen und Hilfsmittel benutzt habe.

(Name)

Inhaltsverzeichnis

1	Einleitung	1
1.1	Aufgabenbeschreibung	1
2	Digitale Datenübertragung	2
2.1	Die digitale Übertragungsstrecke	2
2.2	Der Kanal	2
2.3	Intersymbol-Interferenz	4
2.4	Pulsformung	6
2.4.1	Filterbestimmung	9
3	Entzerrer	11
3.1	Zeitdiskretes Filtermodell	12
3.2	Lineare Entzerrer	14
3.2.1	Peak-distortion-Kriterium	14
3.2.2	MSE-Kriterium	16
3.2.3	Performance von MSE-Entzerrern	19
3.3	Decision-Feedback Equalizer	21
3.3.1	Performance von DFE-Equalizern	22
3.4	Adaptive Entzerrer	22
3.4.1	LMS-Algorithmus	23
3.5	Adaptiver DFE-Equalizer	25
4	Zusammenfassung	26
5	Umsetzung	27
5.1	In Matlab	27
5.1.1	MSE-Equalizer, mse.m	27
5.1.2	DFE-Equalizer, dfe.m	30
5.1.3	Ersatzfiltermodell, kanalmodell.m	31
5.1.4	Bitfehlerrate, msetest.m	32
5.1.5	Bitfehlerrate, dfetest.m	32
5.1.6	Vergleich MSE zu DFE, msedfe.m	34
5.2	In C	35
5.2.1	Oszilloskopausgabe MSE	39
5.2.2	Oszilloskopausgabe DFE	40
6	Hard- und Software	41
6.1	Praktikumsaufbau	41
6.2	AD-Wandler	42
6.2.1	Fehlersuche	42
6.2.2	Fehlerbehebung	43
6.3	Software	47
7	Literaturverzeichnis	48

A	m.-files	49
A.1	mse.m	49
A.2	dfe.m	51
A.3	kanalmodell.m	54
A.4	msetest.m	56
A.5	dfetest.m	60
A.6	msedfe.m	65
B	C-Code	70
B.1	mse.c	70
B.2	dfe.c	76
C	Layout AD-Wandler	83
C.1	Bestückung	84
D	Praktikumsanleitung	85

Abbildungsverzeichnis

2.1	Basisbandübertragung von der Quelle bis zur Senke	2
2.2	(a) idealer Kanal (b) nicht idealer Kanal	3
2.3	Amplitudenantwort und Gruppenlaufzeit eines Telefonkanals	4
2.4	Impulsantwort eines Telefonkanals	4
2.5	Augendiagramm	6
2.6	(a) si-Funktion (b) Frequenzspektrum	7
2.7	(a)RC-Funktion (b) Frequenzspektrum	8
3.1	Entzerrerauswahl	11
3.2	Blockschema eines Kanalmodells	12
3.3	Kanalmodell	12
3.4	Blockschema mit Noise-Whitening-Filter	13
3.5	Ersatzfilter mit Noise-Whitening-Filter	14
3.6	Lineares transversales Filter	15
3.7	Blockschema eines Kanals mit anschließendem <i>zero-forcing equalizer</i>	16
3.8	(a) Puls vor Equalizer (b) Equalized Puls	18
3.9	Drei verschiedene Kanalmodelle aus Proakis	19
3.10	Spektren der drei Kanäle	20
3.11	Fehlerwahrscheinlichkeit	20
3.12	Blockschema eines DFE	21
3.13	Funktion der einzelnen Filter des DFE	21
3.14	Fehlerwahrscheinlichkeit bei DFE-Equalizern	22
3.15	Adaptiver MSE-Equalizer	24
3.16	Adaptiver DFE-Equalizer	25
4.1	Entzerrerauswahl	26
5.1	Kanäle	29
5.2	Amplitudenspektren der Kanäle	29
5.3	Ausgabe für mse(1,0,20)	30
5.4	Ausgabe für dfe(3,0,20)	31
5.5	Ausgabe msetest	32
5.6	Ausgabe dfetest	33
5.7	Ausgabe msedfe	34
5.8	Meßpunkte MSE	39
5.9	Ausgabe mse.c	39
5.10	Meßpunkte DFE	40
5.11	Ausgabe dfe.c	40
6.1	Schematischer Aufbau des ADSP 21061.	41
6.2	Layout EZ-KIT Lite.	42
6.3	OPV NE5534	43
6.4	Auszug aus Datenblatt AD8042 (Versorgungsspannung + 5V)	44
6.5	Timing (richtig für DA-, falsch für AD-Wandler)	44
6.6	Schaltplan AD-Wandler mit Änderungen	45
6.7	Schaltplan AD-Wandler	46
C.8	Layout Oberseite	83
C.9	Layout Unterseite	83
C.10	Bestückung Oberseite	84

C.11 Bestückung Unterseite	84
--------------------------------------	----

1 Einleitung

1.1 Aufgabenbeschreibung

Aufgabe dieser Diplomarbeit ist es, Equalizer zu berechnen und auf einem DSP zu programmieren. Zwei verschiedene Arten von Equalizern, ein linearer Equalizer bzw. ein Decision-Feedback-Equalizer, sollen auf dem DSP-Board implementiert werden.

Zum Thema *Equalizer* soll anschließend ein Praktikumsversuch ausgearbeitet werden.

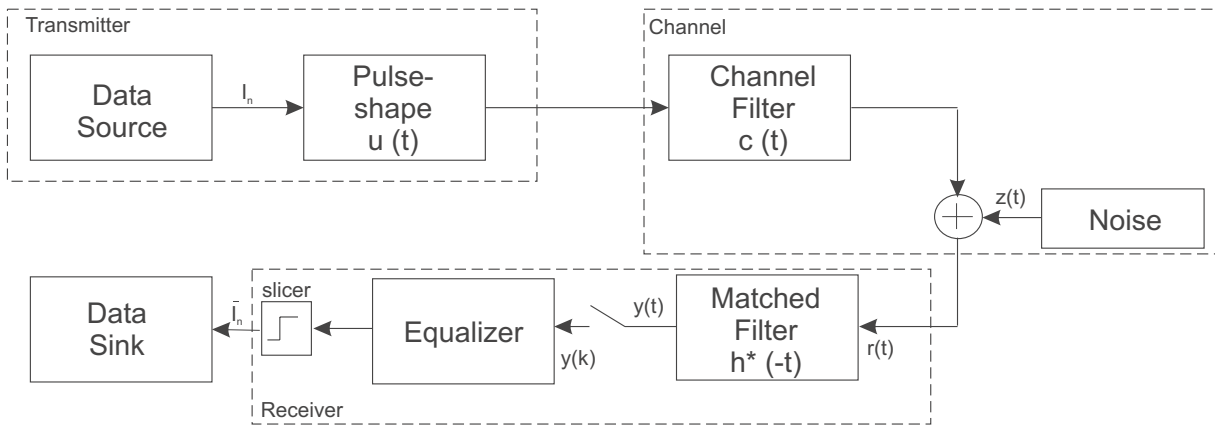


Abbildung 2.1: Basisbandübertragung von der Quelle bis zur Senke

2 Digitale Datenübertragung

2.1 Die digitale Übertragungsstrecke

Wie in Abb. 2.1 zu sehen ist, besteht eine digitale Übertragungsstrecke aus drei wesentlichen Komponenten.

Sie besteht aus einem Sender (Transmitter), dem Kanal (Channel) und dem Empfänger (Receiver). Den Eingang des Senders bildet die zeit- und wertdiskrete Wertefolge I_n . Im Transmitter werden aus dieser Wertefolge zu übertragene Pulsformen generiert. Diese Pulse werden dann über einen Kanal an den Empfänger gesendet. Bei dieser Übertragung kommt es dazu, daß die Pulse durch die Kanaleigenschaften verzerrt und verrauscht werden. Die Aufgabe des Empfängers besteht darin, diese Störungen so zu kompensieren, daß am Ausgang des Empfängers wieder die gleiche Wertefolge vorhanden ist.

2.2 Der Kanal

Wie oben beschrieben führt der Kanal bzw. die Kanaleigenschaft zu Verzerrungen der übertragenen Signale. Deshalb sollen hier zunächst die wichtigsten Kanaleigenschaften beschrieben werden.

Jeder Übertragungskanal ist bandbegrenzt, d. h. er besitzt eine Bandbreite (z. B. Frequenzbereich, in dem Signale bis zu einem Amplitudenabfall von 3dB übertragen werden können) von W Hz. Viele dieser Kanäle, z. B. Telefonkanäle, können als lineare Filter mit Tiefpaßcharakteristik und der Frequenzantwort

$$C(f) = A(f) * e^{j\phi(f)} \quad (2.1)$$

beschrieben werden. Wobei $A(f)$ die Amplitudenantwort und $\phi(f)$ die Phasenantwort darstellt. Für die Phasenantwort wird auch häufig die Gruppenlaufzeit $\tau(f)$ angegeben.

$$\tau(f) = -\frac{1}{2\pi} \frac{d\phi(f)}{df} \quad (2.2)$$

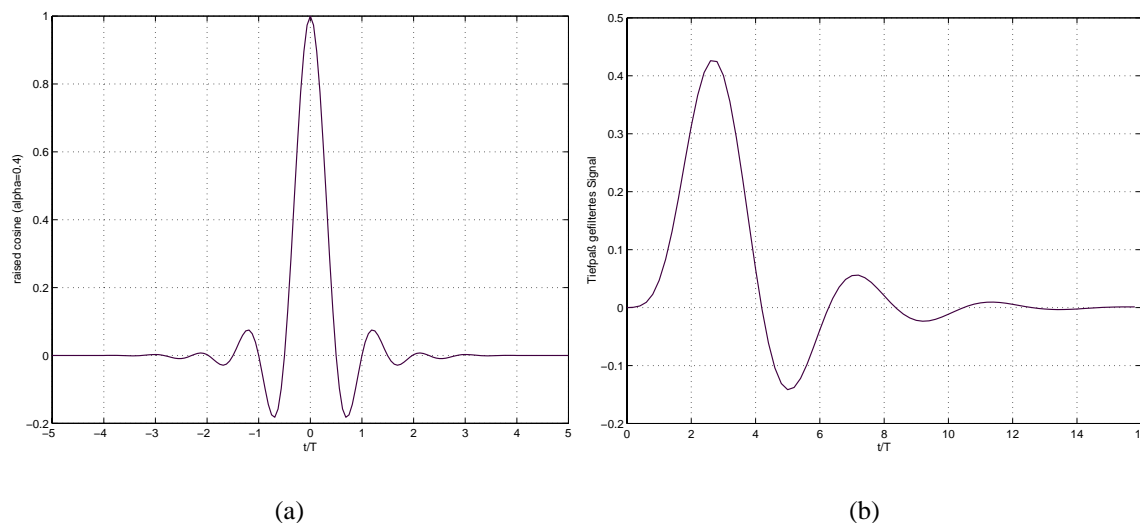


Abbildung 2.2: (a) idealer Kanal (b) nicht idealer Kanal

Ein Kanal gilt dann als ideal, wenn $A(f)$ und $\tau(f)$ konstant sind. Wenn der Kanal jedoch nicht diese idealen Eigenschaften besitzt, verzerrt er das Signal sowohl in der Amplitude als auch in der Phase.

In Bild 2.2 ist die Auswirkung des Kanals auf einen Empfangsimpuls zu sehen. Der Empfangsimpuls hat bei idealem Kanal periodische Nullstellen bei $\pm k \cdot T$ mit $k \neq 0$. Überträgt man solch eine Pulsfolge mit $f = 1/T$, so würde im Abtastzeitpunkt jeweils nur ein Impuls zum Abtastwert beitragen und es käme so zu keinen Überlagerungen benachbarter Signale. An der Kanalantwort kann man jedoch sehen, daß die Nullstellen nun nicht mehr periodisch angeordnet sind und es daher zu Überlagerungen von benachbarten Pulsen kommt. Die Folge ist, daß die Pulse an den Abtastzeitpunkten nicht mehr eindeutig voneinander zu unterscheiden sind.

Dieses Problem bei der Datenübertragung nennt man *Intersymbol-Interferenz* oder auch kurz *ISI*.

Desweiteren addiert sich zu dem Signal noch thermisches, durch Übersprechen oder elektromagnetische Einstreuung hervorgerufenes Rauschen. Wie später noch gezeigt wird, liegt ein Augenmerk im Empfänger darauf, das Signal-Rauschverhältnis zu optimieren.

Um eine Größenvorstellung von Intersymbol-Interferenz zu bekommen, ist in Abb. 2.3 die Amplitudenantwort und Gruppenlaufzeit eines üblichen Telefonkanals in Abhängigkeit von der Frequenz dargestellt. Man erkennt die starken Amplituden und Laufzeitverzerrungen bei tiefen und hohen Frequenzen. Abb. 2.4 zeigt die Impulsantwort eines solchen Kanals. Es ist zu sehen, daß erst nach ca. 10ms die Impulsantwort völlig abgeklungen ist. Angenommen es werden Daten mit einer Symbolrate von 2500 Symbolen/s über einen solchen Kanal übertragen, so erstreckt sich die Intersymbol-Interferenz über 20-30 Symbole.

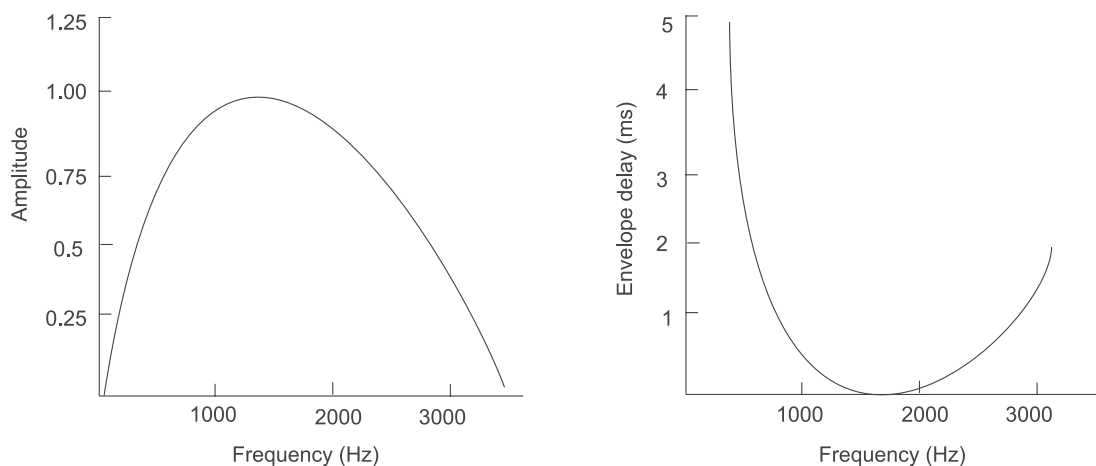


Abbildung 2.3: Amplitudenantwort und Gruppenlaufzeit eines Telefonkanals

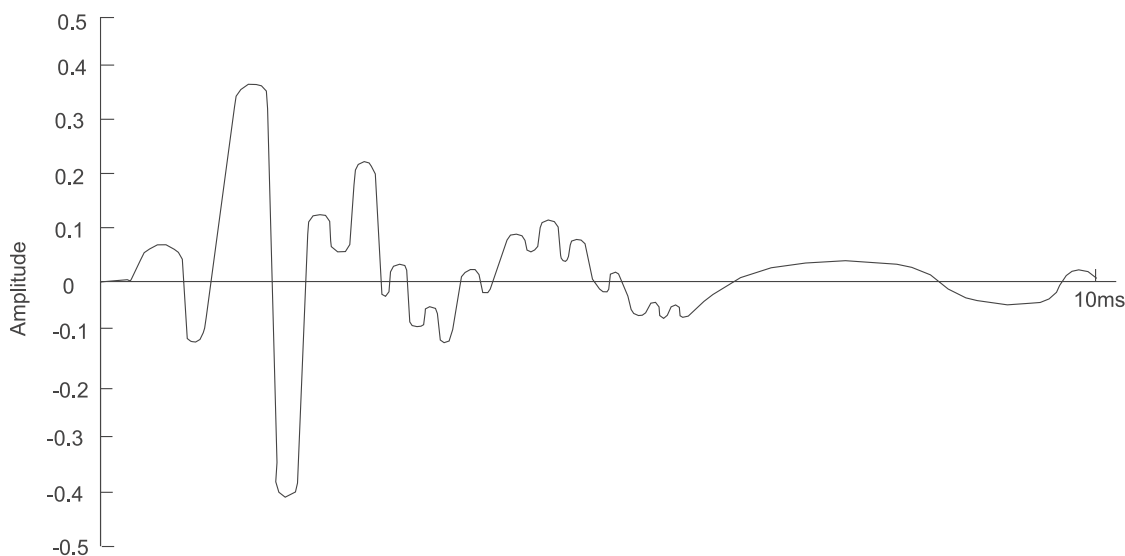


Abbildung 2.4: Impulsantwort eines Telefonkanals

2.3 Intersymbol-Interferenz

In Abschnitt 2.2 wurde auf anschauliche Weise das Entstehen und die Auswirkungen von Intersymbol-Interferenz dargestellt. Hier soll nun Intersymbol-Interferenz mathematisch beschrieben und definiert werden.

Am Eingang der Strecke liegt die zeitdiskrete Wertefolge I_n . Wird diese Wertefolge über ein Sendefilter mit der Impulsantwort $g(t)$ geschickt, so erhält man:

$$v(t) = \sum_{n=0}^{\infty} I_n g(t - nT) \quad (2.3)$$

Nach Durchlaufen des Kanals ist das Signal am Empfänger

$$r(t) = \sum_{n=0}^{\infty} I_n h(t - nT) + z(t) \quad (2.4)$$

wobei $h(t)$ die Impulsantwort aus Sender und Kanal darstellt.

$$h(t) = \int_{-\infty}^{\infty} g(\tau) c(t - \tau) d\tau \quad (2.5)$$

$z(t)$ steht für das additiv hinzugekommene weiße gauß'sche Rauschen.

Wie bereits angedeutet, ist es für das weitere Vorgehen wichtig, das S/N-Verhältnis zu optimieren. Um im Empfänger ein optimales Signal/Rausch-Verhältnis zu erhalten, setzt man an den Anfang ein sogenanntes Matched-Filter. Wie der Name schon sagt, handelt es sich hierbei um ein signalangepaßtes Filter. In diesem Fall ist es auf die Sende-Kanal-Impulsantwort $h(t)$ angepaßt und besitzt die Übertragungsfunktion $h^*(-t)$.

Damit wird der Ausgang des Matchedfilters zu

$$y(t) = \sum_{n=0}^{\infty} I_n x(t - nT) + \nu(t) \quad (2.6)$$

wobei $x(t)$ die Antwort des Matchedfilters auf den Eingangsimpuls $h(t)$ darstellt. $\nu(t)$ ist die Antwort des Filters auf das Eingangsrauschen $z(t)$.

Das Signal wird jetzt zu den Zeiten $t = k \cdot T$ abgetastet.

$$y(kT) = y_k = \sum_{n=0}^{\infty} I_n x(kT - nT) + \nu(kT) \quad k = 0, 1, \dots \quad (2.7)$$

oder

$$y_k = \sum_{n=0}^{\infty} I_n x_{k-n} + \nu(k) \quad k = 0, 1, \dots \quad (2.8)$$

Zieht man aus der Summe ($x_0 \cdot I_k$) heraus, so erhält man

$$y(k) = x_0 \left(I_k + \frac{1}{x_0} \sum_{n=0, n \neq k}^{\infty} I_n x_{k-n} \right) + \nu_k \quad (2.9)$$

Wenn wir x_0 zu eins setzen, ergibt sich für das abgetastete Ausgangssignal

$$y(k) = I_k + \sum_{n=0, n \neq k}^{\infty} I_n x_{k-n} + \nu_k \quad (2.10)$$

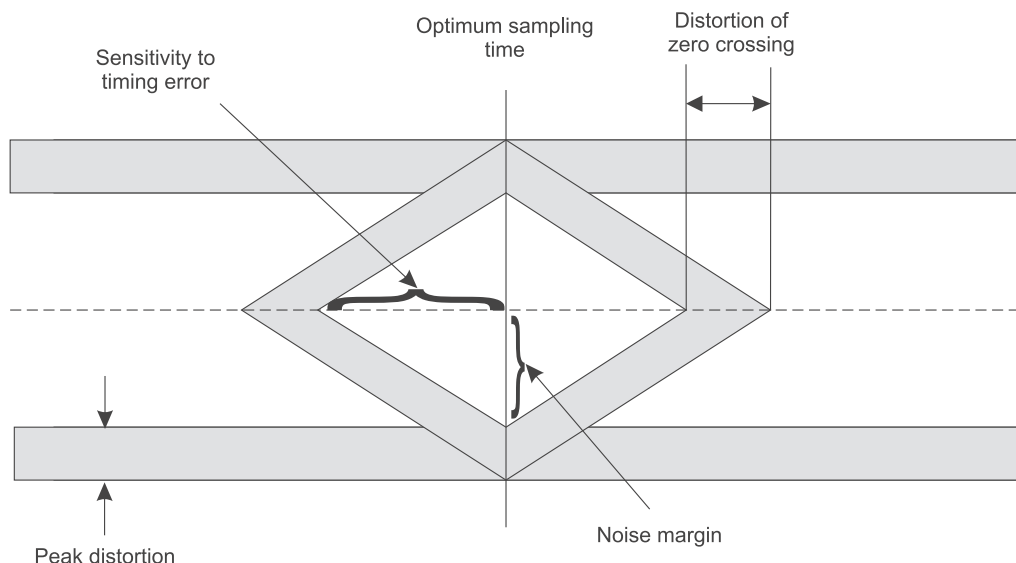


Abbildung 2.5: Augendiagramm

Hierbei stellt I_k das gewünschte Symbol am k -ten Abtastzeitpunkt dar, während die Summe

$$\sum_{n=0, n \neq k}^{\infty} I_n x_{k-n} + \nu_k \quad (2.11)$$

für die Intersymbol-Interferenz steht. ν_k steht für das additive gauß'sche Rauschen. Die Auswirkungen von ISI und additivem Rauschen lassen sich anhand von sogenannten Augendiagrammen auf dem Oszilloskop darstellen. Stärkere Intersymbol-Interferenz und Rauschen drückt sich dadurch aus, daß sich das *Auge* immer weiter schließt und somit eine eindeutige Trennung der Pulse nicht mehr möglich ist. Abb 2.5 zeigt die schematische Darstellung eines solchen Augendiagramms.

2.4 Pulsformung

Es soll untersucht werden, welche maximale Übertragungsrate über einen Kanal mit der Bandbreite W möglich ist, **ohne** das Auftreten von Intersymbol-Interferenz.

Nyquist hat sich genau mit dieser Thematik schon vor ca. 75 Jahren befaßt. Er wollte eine Pulsform $X(f)$ finden, mit $X(f) = G(f)C(f)R(f)$, bei der zu den Abtastzeitpunkten $t = k \cdot T$ keine ISI auftritt, wobei $G(f)$, $C(f)$ und $R(f)$ jeweils die Frequenzantworten von Sender, Kanal und Empfangsfilter darstellen.

Das Ausgangssignal des Matched-Filters ist gegeben durch

$$y(k) = I_k + \sum_{n=0, n \neq k}^{\infty} I_n x_{k-n} + \nu_k \quad (2.12)$$

Wird ISI-Freiheit gefordert, so muß die Summe, welche die Intersymbol-Interferenz darstellt, Null ergeben. Daraus folgt die Bedingung

$$x(nT) = x_k = \begin{cases} 1 & (n = 0) \\ 0 & (n \neq 0) \end{cases} \quad (2.13)$$

Für die Fouriertransformierte von $x(t)$ muß dann gelten

$$\sum_{m=-\infty}^{\infty} X(f + \frac{m}{T}) = T \quad (2.14)$$

Nyquist hat gezeigt, daß mit einer rechteckigen Übertragungsfunktion $X(f)$, wie in Abb. 2.6b zu sehen ist, die maximale Übertragungsrate von $2W = 1/T = R_s \text{ symbol/s}$ ohne ISI möglich ist. Diese Frequenz wird auch *Nyquistfrequenz* genannt.

Für $x(t)$ ergibt sich in diesem Fall (Abb. 2.6a)

$$x(t) = \frac{\sin(\pi t/T)}{\pi t/T} = \text{sinc}\left(\frac{\pi t}{T}\right) \quad (2.15)$$

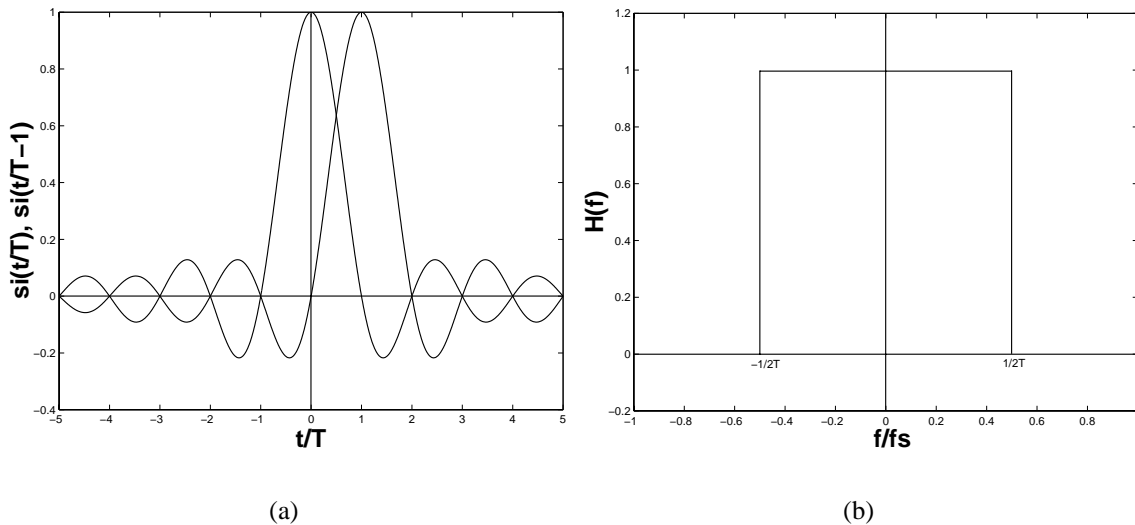


Abbildung 2.6: (a) *si-Funktion* (b) *Frequenzspektrum*

Man erkennt, daß zu den Abtastzeitpunkten $t = k \cdot T$ die Symbole eindeutig unterscheidbar sind, da in den Abtastzeitpunkten $k \cdot T$ immer nur ein Puls zum Abtastwert beiträgt und die anderen Pulse dort ihre Nullstellen besitzen.

Ziel ist es nun, die benötigte Bandbreite eines Systems so weit wie möglich zu reduzieren, wobei die Nyquistfrequenz eine untere Grenze darstellt. Arbeitet man mit kleineren Bandbreiten als Nyquist vorschreibt, kommt es zu Fehlern bei der Übertragung, hervorgerufen durch

Intersymbol-Interferenz.

Die Nyquistbedingung für die zu empfangene Pulsform $x(t) = \text{sinc}(\pi t/T)$ ist aber physikalisch nicht realisierbar, da Filter mit solcher Frequenzcharakteristik nicht möglich sind. Deshalb mußten andere Pulsformen gefunden werden, die ähnliche Eigenschaften haben, wie die des *Nyquistimpulses*.

Eine Pulsform, mit einem Spektrum ähnlich des des Nyquistimpulses und $T > 1/2W$, welche in der Praxis oft Anwendung findet, ist der *raised-cosine-Impuls*.

Er ist definiert durch

$$H(f) = \begin{cases} \sqrt{\frac{E}{T}} & \text{für } 0 < f < \frac{(1-\alpha)}{2T} \\ \sqrt{\frac{E}{T}} \cos^2\left(\frac{\pi T}{2\alpha}\left(f - \frac{(1-\alpha)}{2T}\right)\right) & \text{für } \frac{(1-\alpha)}{2T} \leq f \leq \frac{(1+\alpha)}{2T} \\ 0 & \text{für } f > \frac{(1+\alpha)}{2T} \end{cases} \quad (2.16)$$

wobei α der sogenannte *Roll-off-Faktor* ist, dessen Werte zwischen 0 und 1 liegen können. Für $\alpha = 0$ ergibt sich die bekannte rechteckige Frequenzantwort. Abb. 2.7 zeigt den *raised-cosine-Impuls* im Zeit- und Frequenzbereich für verschiedene Werte von α .

Für den Fall $\alpha = 0$ wird zwar die geringste Bandbreite benötigt, aber man sieht, daß dieser Fall eine größere Zeitsensivität bzgl. des Abtastzeitpunktes mit sich bringt als bei Werten von $\alpha > 0$. Dies liegt daran, daß bei $\alpha = 0$ $x(t)$ nur mit $1/t$ abfällt. Bei $\alpha > 0$ geschieht dies mit $1/t^3$. Da, wie gesagt, der *Nyquistimpuls* physikalisch nicht realisierbar ist, reduziert sich auch damit die max. Übertragungsrate ohne das Auftreten von ISI.

Sie kann jetzt mit Hilfe des *Roll-off-Faktors* und der Bandbreite bestimmt werden zu

$$R_s = \frac{2W}{1 + \alpha} \quad (2.17)$$

Für $\alpha = 0$ erhält man wieder die *Nyquistfrequenz*.

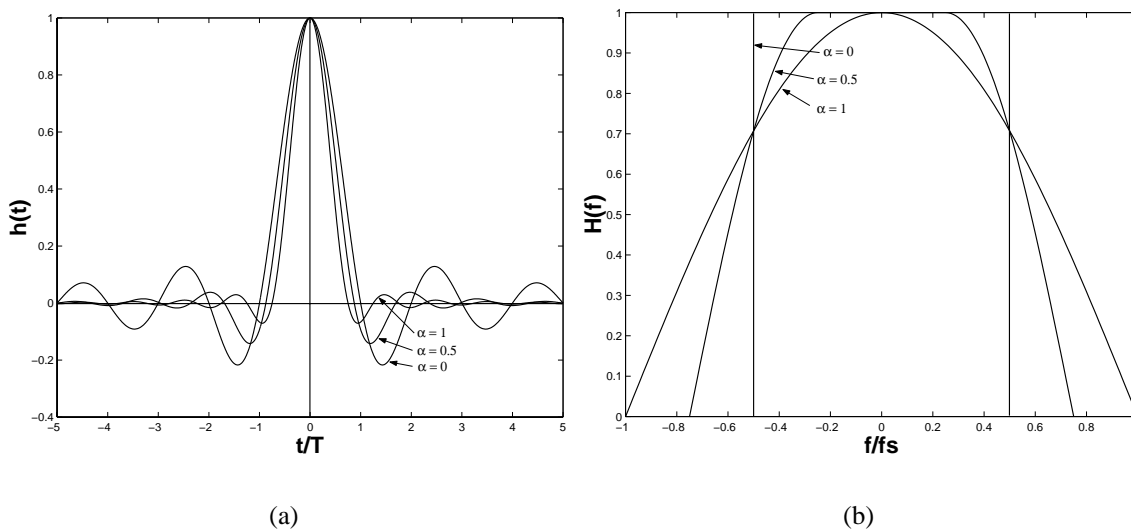


Abbildung 2.7: (a) RC-Funktion (b) Frequenzspektrum

Beispiel zur Abschätzung der benötigten Bandbreite zur Übertragung von Sprache:

Es soll Sprache mit Frequenzanteilen bis ca. 3kHz über eine Telefonleitung übertragen werden. Einmal sollen die Sprachsignale direkt als analoges Signal, zum Anderen als digitalisiertes Signal übertragen werden.

Dazu wird das Signal mit 8kHz abgetastet und anschließend quantisiert (8-Bit Quantisierung). Für die benötigte Bandbreite zur Übertragung ohne ISI gilt:

$$W \geq \frac{R_s}{2} \quad (2.18)$$

Für den Fall des abgetasteten Signals ergibt sich die benötigte Bandbreite:

$$W \geq \frac{(8\text{bit/s}) * (8000\text{Symbol s/s})}{2} \geq 32\text{kHz} \quad (2.19)$$

Für die reine analoge Übertragung benötigt man in etwa 4kHz (3kHz + einem gewissen Sicherheitsabstand zu benachbarten Kanälen). Die digitale Übertragung der Sprache erfordert also in diesem Fall eine um den Faktor 8 größere Bandbreite als die analoge Übertragung (bei binärer Übertragung und ohne Datenkompression).

2.4.1 Filterbestimmung

Anhand der bisher erlangten Erkenntnisse ist es nun möglich praktikable Filter zu bestimmen. Gehen wir zunächst von dem Fall des idealen Kanals mit $C(f) = 1, |f| \leq W$ aus.

Daraus folgt

$$X(f) = G_T(f)G_R(f) \quad (2.20)$$

wobei $X(f)$ die gewünschte Frequenzantwort, für *Null-ISI* darstellt. Im Fall des idealen Kanals ist $G_R(f) = G_T(f) = |G_T(f)|^2$.

Damit läßt sich die Aussage über das Sendefilter $G_T(f)$ herleiten zu

$$G_T(f) = \sqrt{|X(f)|} e^{-j2\pi ft} \quad (2.21)$$

Nun wird die Bedingung eines idealen Kanals fallen gelassen und eine Bestimmungsgleichung der Filter für diesen Fall bestimmt. Danach ändert sich die Ausgangsgleichung zu

$$X(f) = G_T(f)C(f)G_R(f) \quad (2.22)$$

Als Bestimmungsgleichung für $G_T(f)$ und $G_R(f)$ erhält man für den Fall von *Null-ISI (raised-cosine-Spektrum)*

$$G_R(f) = K_1 \frac{|X_{RC}(f)|^{1/2}}{|C(f)|^{1/2}} \quad |f| \leq W, \quad |C(f)| > 0 \quad (2.23)$$

$$G_T(f) = K_2 \frac{|X_{RC}(f)|^{1/2}}{|C(f)|^{1/2}} \quad |f| \leq W, \quad |C(f)| > 0 \quad (2.24)$$

wobei K_1 und K_2 beliebige Skalierfaktoren sind.

Es ist noch zu beachten, daß in diesem Fall $G_R(f)$ das auf $G_T(f)$ angepaßte Filter ist.

3 Entzerrer

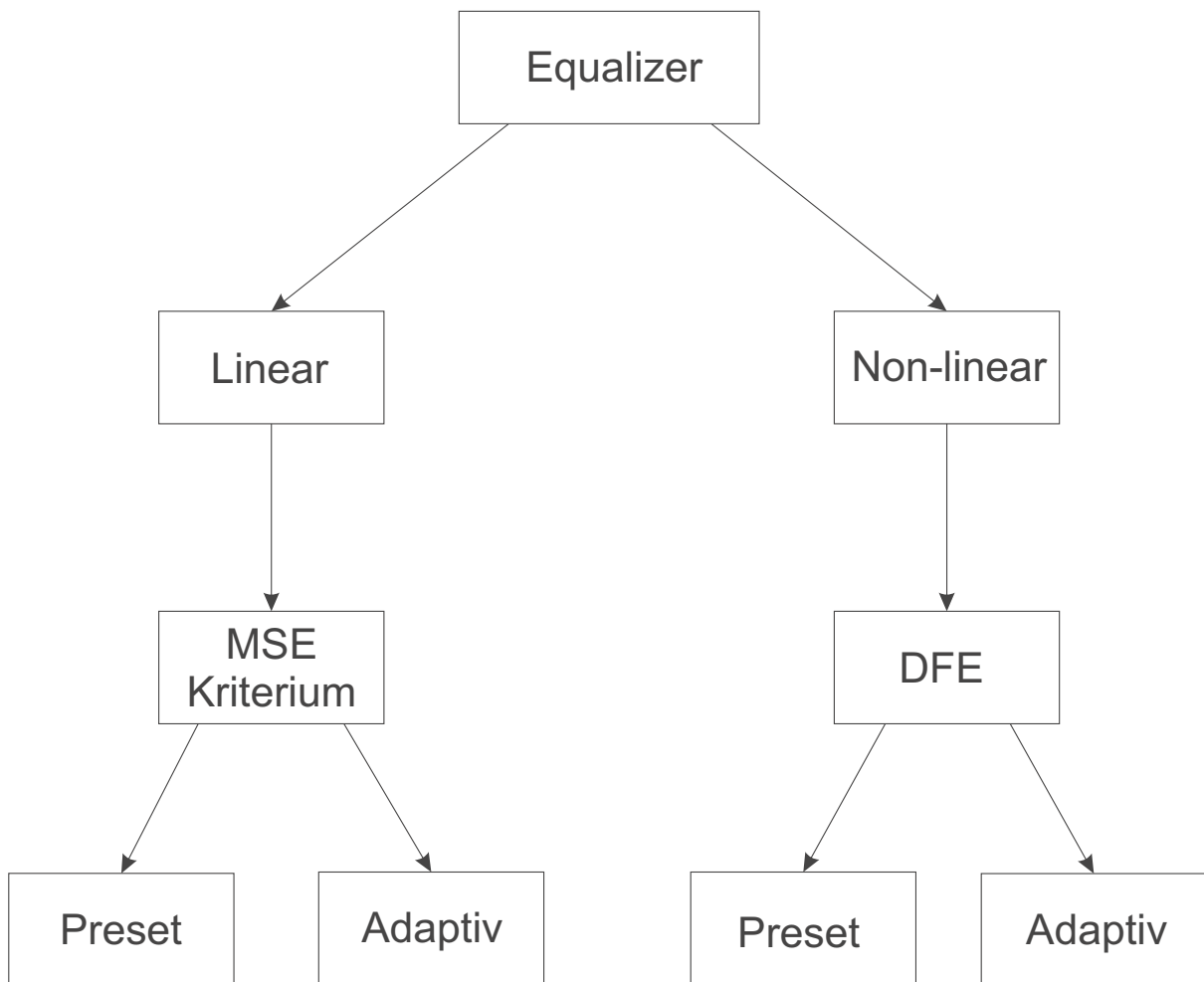


Abbildung 3.1: Entzerrerauswahl

Bei der bisherigen Betrachtung und Herleitung der Bestimmungsgleichung für Sende- und Empfangsfilter wurde immer angenommen, daß der Kanal mit seiner Frequenzantwort $C(f)$ bekannt ist. Die Regel ist aber, daß der Kanal und damit auch seine Frequenzantwort nicht ausreichend genau bekannt ist, so daß man die Filter nach obigen Prinzip nicht bestimmen kann.

Hier soll nun dargestellt werden, wie ein Empfangsfilter bestimmt werden kann, der die durch Kanaleinflüsse hervorgerufene Intersymbol-Interferenz kompensiert. Solch ein Filter nennt man *Entzerrer* oder auch *Equalizer*.

Equalizer werden in zwei große Gruppen, die linearen und die nichtlinearen Equalizer, unterschieden. Hier sollen jeweils einer jeder Kategorie beschrieben und dimensioniert werden. Bild 3.1 zeigt die Spezifizierung der einzelnen Entzerrer.

Bei der Koeffizientenbestimmung der Filter unterscheidet man noch zwei verschiedene Methoden. Zum Einen werden die Koeffizienten einmal bestimmt und danach nicht mehr geändert. Solche Entzerrer nennt man *preset Equalizer*. Sie kommen dort zum Einsatz, wo sich der Übertragungskanal nicht zwischen den einzelnen Datenübertragungen verändert.

Die andere Methode zur Koeffizientenbestimmung nennt man *adaptiv*. Dort passen sich die Koeffizienten den ständig wechselnden Kanaleigenschaften automatisch an. Dieses Verfahren ist überall dort nötig, wo der Kanal lineares zeitvariantes Verhalten hat, wie es z. B. bei der

Telefonie vorkommt. Der Weg, den die Signale von einem zum anderen Teilnehmer nehmen, kann hierbei ständig variieren. Die beiden Verfahren werden noch bei der expliziten Bestimmung der Koeffizienten genauer dargestellt.

3.1 Zeitdiskretes Filtermodell

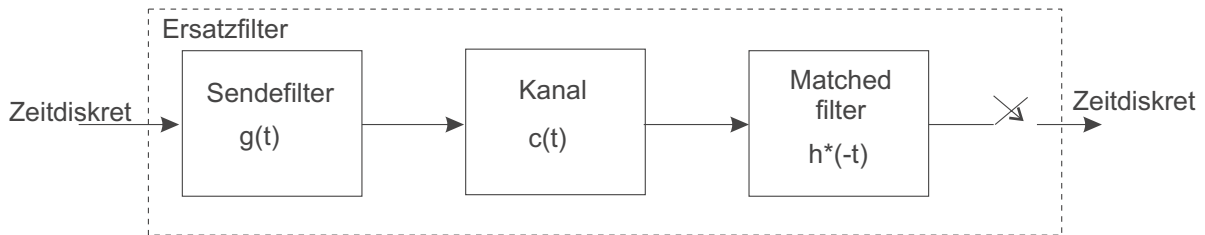


Abbildung 3.2: Blockschema eines Kanalmodells

Man bedient sich nun eines Hilfsmittels, um die Koeffizienten des Entzerrers berechnen zu können. Es wird ein sogenanntes *zeitdiskretes Filter- oder auch Kanalmodell* bestimmt. Dabei bildet man aus Sendefilter, Kanal und Empfangsfiler (Matched-Filter) mit anschließender Abtastung ein Ersatzfilter mit Koeffizienten x_k mit $|k| \geq L$.

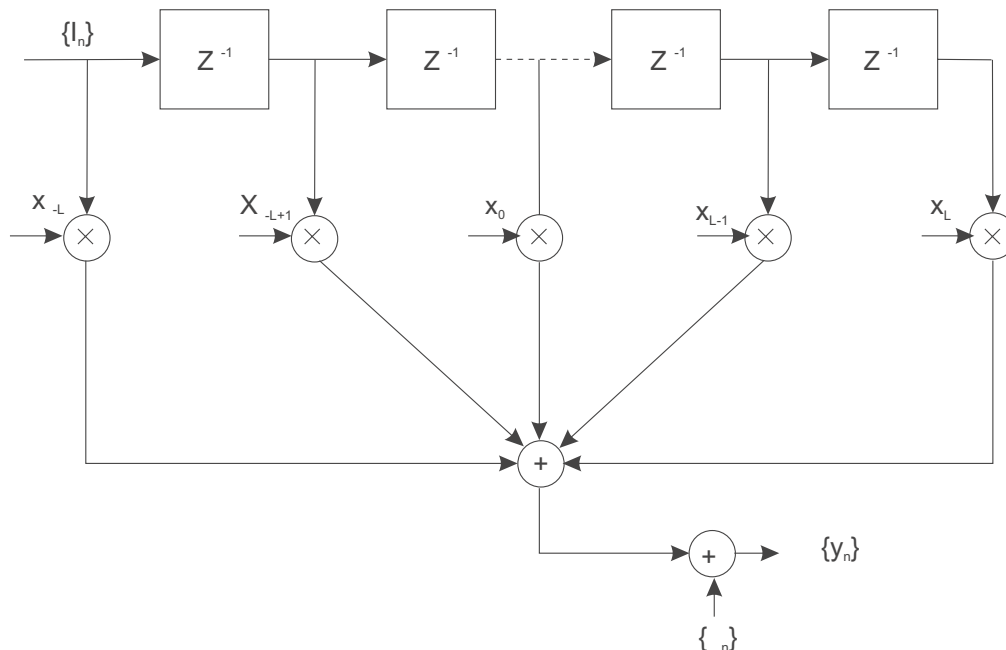


Abbildung 3.3: Kanalmodell

Bild 3.3 zeigt ein zeitdiskretes Filtermodell eines Kanals mit Intersymbol-Interferenz. Den Eingang bildet die Informationssequenz I_k und der Ausgang ist gegeben durch das abgetastete Ausgangssignal des Matchedfilters (2.8).

Mit Hilfe dieses Modells kann man nun die Berechnung der Koeffizienten durchführen. Es gibt aber noch eine Problematik zu beachten, die mit dem Rauschen und Matchedfilter zusammenhängt. Wie schon beschrieben, handelt es sich bei dem Kanalrauschen um weißes gauß'sches

Rauschen. Nach Durchlaufen des Matchedfilters hat das Rauschen diese Eigenschaft nicht mehr. Es ist nun farbiges Rauschen, d. h. es ist correlliert, benachbarte Rauschwerte sind nicht mehr unabhängig. Dieses würde sich, wenn nicht geeignete Maßnahmen getroffen würden, in einer Performanceverschlechterung des Equalizers ausdrücken. Allerdings hält sich diese Beeinträchtigung in Grenzen. Ist sie aber dennoch inakzeptabel, so kann das Problem mit einem sogenannten *Noise-Whitening-Filter* beseitigt werden. Wie der Name schon sagt, sorgt dieses Filter dafür, daß das farbige wieder in weißes Rauschen gewandelt wird. Man kommt schließlich zu einem etwas anderem Kanalmodell, wie das Blockschema in Abb. 3.4 zeigt.

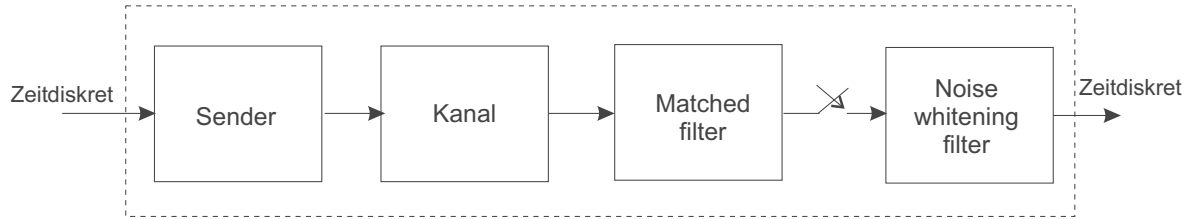


Abbildung 3.4: Blockschema mit Noise-Whitening-Filter

Das Noise-Whitening-Filter kann folgendermaßen bestimmt werden:
Sei $X(z)$ die zweiseitige Z-transformierte der abgetasteten Autocorrelationsfunktion x_k .

$$X(z) = \sum_{k=-L}^L x_k z^{-k} \quad (3.25)$$

Da $x_k = x_{-k}^*$ gilt (Autokorrelationsfunktion), besitzt $X(z)$ $2L$ Nullstellen, die die Symmetrie aufweisen, daß wenn p eine Nullstelle ist, auch $1/p^*$ einen Nullstelle darstellt. Damit kann nun $X(z)$ beschrieben werden mit

$$X(z) = F(z)F^*(z^{-1}) \quad (3.26)$$

wobei $F(z)$ ein Polynom in L mit den Nullstellen p_1, p_2, \dots, p_L und $F^*(z^{-1})$ ein Polynom in L mit Nullstellen $1/p_1^*, 1/p_2^*, \dots, 1/p_L^*$ darstellt.

Nun läßt sich ein Noise-Whitening-Filter beschreiben durch seine Z-transformierte $1/F^*(z^{-1})$. Um an die Koeffizienten zu kommen, muß man sich noch um die Sortierung der Nullstellen kümmern. Es existieren 2^L Möglichkeiten für die Nullstellen von $F^*(z^{-1})$. Ein Stabilitätskriterium für Filter ist nun, daß sie ihre Polstellen im Einheitskreis haben. Auf diesem Hintergrund wählen wir die Nullstellen von $F^*(z^{-1})$ so, daß sie alle im Einheitskreis liegen. So besitzt die Funktion $1/F^*(z^{-1})$, wie gewollt, ihre Polstellen im Einheitskreis.

Durchläuft nun die bekannte Sequenz y_k (abgetastete Sequenz des Matchedfilterausgangs) das Noise-Whiteningfilter $1/F^*(z^{-1})$, erhält man eine neue Sequenz v_k

$$v_k = \sum_{n=0}^L f_n I_{k-n} + \eta_k \quad (3.27)$$

wobei η_k wieder eine weiße gauß'sche Rauschsequenz und f_k die Filterkoeffizienten des neuen diskreten Filtermodells mit der Übertragungsfunktion $F(z)$ darstellen.

Abb. 3.5 zeigt das zeitdiskrete Ersatzfilter mit Noise-Whitening-Filter.

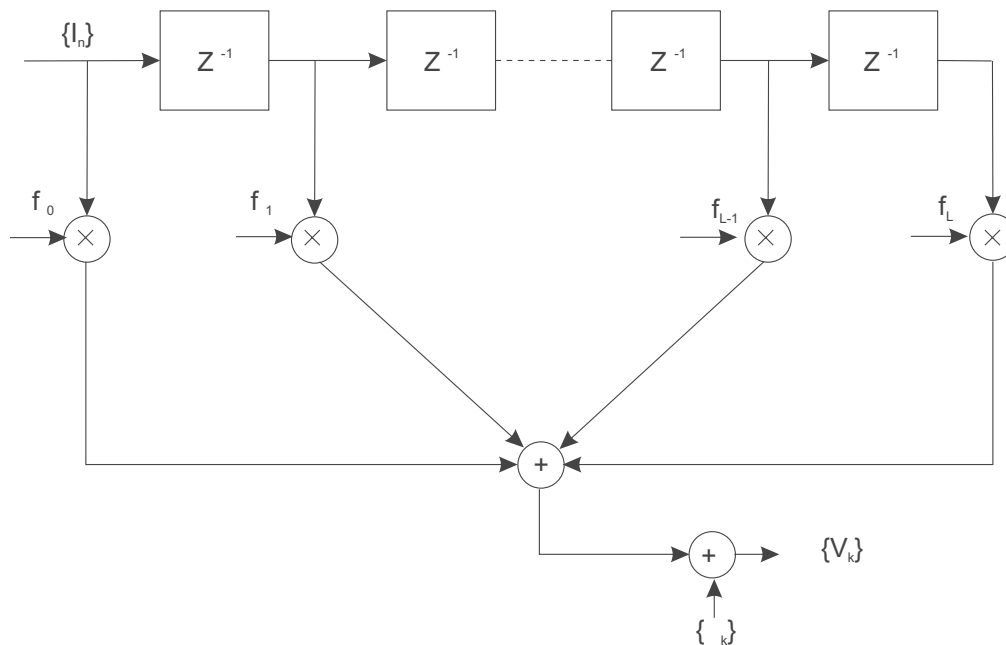


Abbildung 3.5: Ersatzfilter mit Noise-Whitening-Filter

3.2 Lineare Entzerrer

Nach dem bisherigen Vorgehen haben wir Erkenntnisse über die Ersatzfiltermodelle, sowohl des einfachen Ersatzfilters mit Koeffizienten x_k als auch über das Ersatzfilter mit NW-Filter und Koeffizienten f_k gewonnen. Nun soll daraus ein Equalizer als lineares transversales Filter beschrieben und seine Koeffizienten berechnet werden. Die Struktur eines solchen linearen Filters ist in Abb. 3.6 zu sehen.

Den Eingang bildet die Sequenz, gegeben durch (3.36). Der Ausgang läßt sich beschreiben durch

$$\hat{I}_k = \sum_{j=-K}^K c_j v_{k-j} \quad (3.28)$$

wobei c_k die $2K + 1$ Koeffizienten des Equalizers sind. Man wählt $2K + 1 \geq L$ mit $L = \text{Ersatzfilterlänge}$.

Es gibt nun zwei Verfahren, welche mit verschiedenen Ansätzen versuchen, die optimalen Filterkoeffizienten c_k zu finden. Es handelt sich dabei um das Verfahren des *peak-distortion-Kriteriums* sowie das *Mean-square-error-Kriterium*.

3.2.1 Peak-distortion-Kriterium

Dieser Ansatz geht von der größt möglich auftretenden Intersymbol-Interferenz am Ausgang des Equalizers aus. Die Aufgabe besteht darin, ISI in diesem *worst-case*-Fall zu minimieren.

Um dies zu erreichen, bildet man zuerst aus dem diskreten Ersatzfilter mit Koeffizienten $\{f_k\}$ und dem Equalizer mit Koeffizienten $\{c_k\}$ wiederum ein Ersatzfilter, das nun die Gesamtimpulsantwort beschreibt.

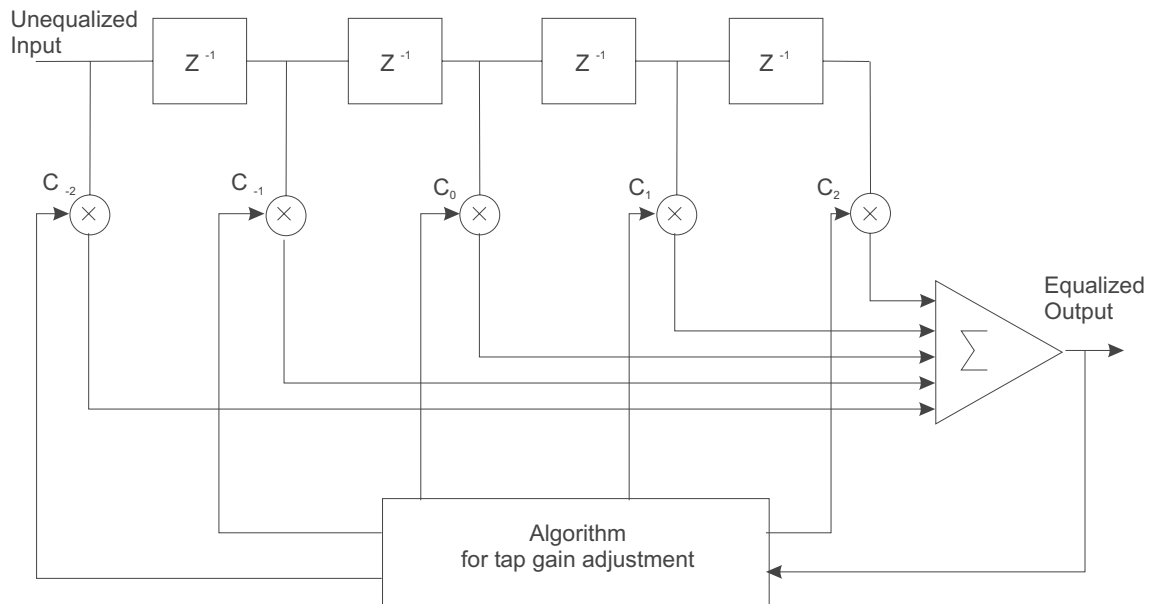


Abbildung 3.6: Lineares transversales Filter

$$q_n = \sum_{j=-\infty}^{\infty} c_j f_{n-j} \quad (3.29)$$

Damit kann nun der Ausgang des Equalizers beschrieben werden mit

$$\hat{I}_k = q_0 I_k + \sum_{n \neq k} I_n q_{k-n} + \sum_{j=-\infty}^{\infty} c_j \eta_{k-j} \quad (3.30)$$

Der erste Term steht für das gewünschte Symbol, wenn man q_0 zu 1 macht. Der zweite Term repräsentiert die Intersymbol-Interferenz. Soll diese zu Null werden, so müssen alle q_n bis auf q_0 zu Null werden. Darum werden solche Equalizer auch *zero-forcing equalizer* genannt.

$$q_n = \sum_{j=-\infty}^{\infty} c_j f_{n-j} = \begin{cases} 1 & (n = 0) \\ 0 & (n \neq 0) \end{cases} \quad (3.31)$$

Nehmen wir nun die Z-transformierte

$$Q(z) = C(z)F(z) = 1 \quad (3.32)$$

so folgt durch Umformen

$$C(z) = \frac{1}{F(z)} \quad (3.33)$$

Man sieht, daß in diesem Fall der Equalizer einfach das inverse Filter zu dem Filtermodell $F(z)$ ist.

Bei der Realisierung bezieht man das NW-Filter in den Equalizer mit ein. Ein NW-Filter wird also nicht explizit entwickelt. Dadurch kommt man nun zur endgültigen Vorschrift zur Bestimmung der Filterkoeffizienten

$$C'(z) = \frac{1}{F(z)F^*(z^{-1})} = \frac{1}{X(z)} \quad (3.34)$$

Abb. 3.7 zeigt das Blockschema eines solchen Equalizers.

Anhand dieser Formel kann man jedoch bereits einen Nachteil bei dieser Methode zur Bestimmung der Filterkoeffizienten erkennen. Für kleine Werte von $X(z)$ wird $C'(z)$ sehr groß und somit wird auch das Rauschen extrem gesteigert. Das S/N -Verhältnis geht dort gegen Null. Dadurch kommt es zu Fehlern bei der Symbolrückerkennung.

Solch ein Entzerrer kann somit überall dort eingesetzt werden, wo der Rauschanteil relativ gering ist. Eine Verbesserung hinsichtlich des Rauschens stellt die Ermittlung der Koeffizienten nach dem *mean-square-error*-Kriterium dar.

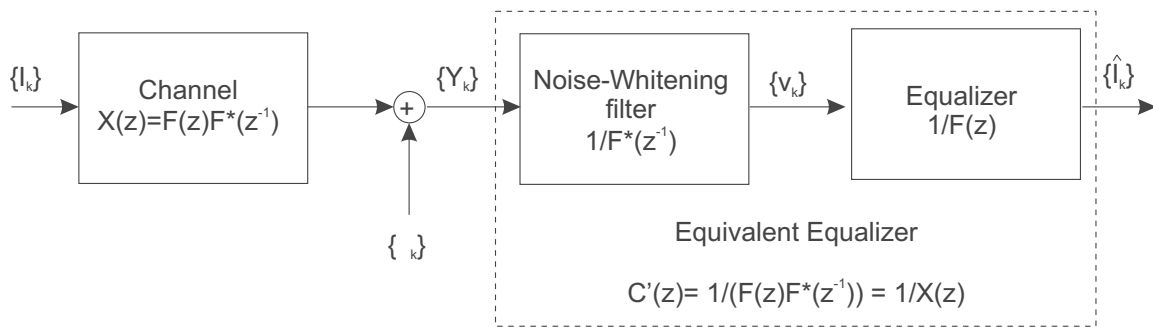


Abbildung 3.7: Blockschema eines Kanals mit anschließendem zero-forcing equalizer

3.2.2 MSE-Kriterium

Beim MSE-Kriterium werden die Koeffizienten des Equalizers so bestimmt, daß der Fehler

$$J = E\{|I_k - \hat{I}_k|^2\} \quad (3.35)$$

minimal wird. Es gilt also, die Differenz des zum k -ten Zeitpunkt übertragenen Symbols und des Symbols am Equalizerausgang, gegeben durch (3.37), möglichst klein zu machen.

Der Ausgang des Equalizers ist gegeben durch

$$\hat{I}_k = \sum_{j=-K}^K c_j v_{k-j} \quad (3.36)$$

Setzt man (3.45) in (3.44) ein, so erhält man

$$J(K) = E\{|I_k - \hat{I}_k|^2\} = E\{|I_k - \sum_{j=-K}^K c_j v_{k-j}|^2\} \quad (3.37)$$

Die Minimierung von \mathbf{J} führt zu einem linearen Gleichungssystem, mit dem sich nun die Koeffizienten bestimmen lassen. Es hat folgende Form

$$\sum_{j=-K}^K c_j \Gamma_{lj} = \xi_l \quad l = -K, \dots, -1, 0, 1, \dots, K \quad (3.38)$$

Die Matrix Γ_{lj} ist gegeben durch

$$\Gamma_{lj} = \begin{cases} x_{l-j} + N_0 \delta_{lj} & (|l-j| \leq L) \\ 0 & (\text{sonst}) \end{cases} \quad (3.39)$$

und

$$\xi_l = \begin{cases} f_{-l}^* & (l \leq l \leq 0) \\ 0 & (\text{sonst}) \end{cases} \quad (3.40)$$

Drückt man die Gleichung in Matrixform aus, so erhält man

$$\mathbf{\Gamma} \mathbf{C} = \xi \quad (3.41)$$

wobei nun \mathbf{C} einen $2K + 1$ Zeilenvektor der Filterkoeffizienten, $\mathbf{\Gamma}$ eine $(2K + 1) \times (2K + 1)$ Matrix mit Elementen Γ_{lj} und ξ einen $2K + 1$ Zeilenvektor mit Elementen ξ_l darstellen. Die Lösung für die Filterkoeffizienten lautet demnach

$$\mathbf{C}_{\text{opt}} = \mathbf{\Gamma}^{-1} \xi \quad (3.42)$$

Abb. 3.8 zeigt das Signal vor und nach einem Equalizer.

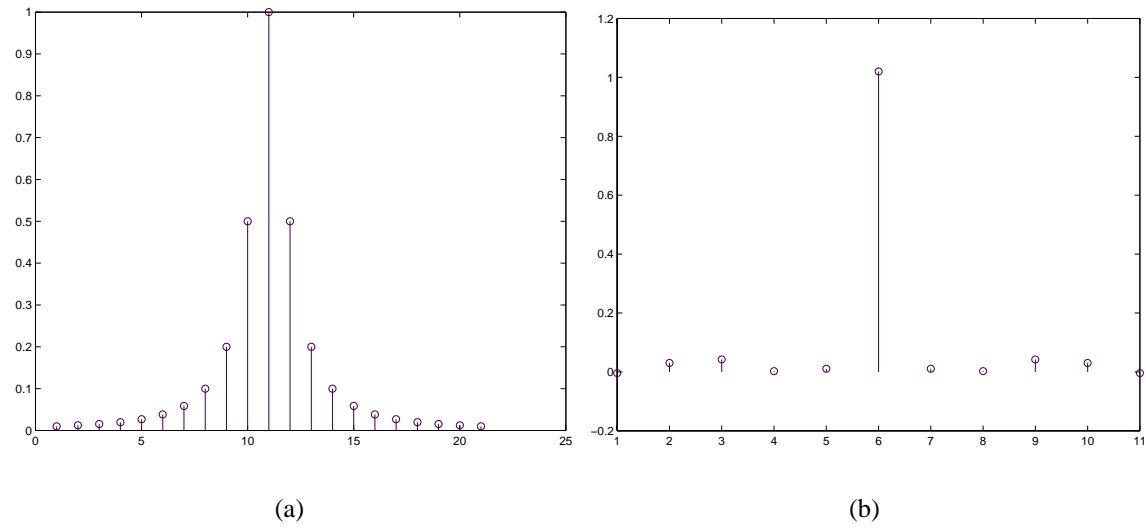


Abbildung 3.8: (a) *Puls vor Equalizer* (b) *Equalized Puls*

3.2.3 Performance von MSE-Entzerrern

MSE-Entzerrer besitzen, wie bereits erwähnt, eine bessere Performance als *zero-forcing* Entzerrer. Dennoch sind auch diese Equalizer anfällig gegenüber sehr kleinen Werten im Spektrum der **Kanäle** (Zusammenfassung von Sender, Kanal und Empfänger), was zu einem starken Anstieg von *ISI* und damit zu höheren Bitfehlerraten führt. Dies läßt sich am besten anhand von verschiedenen Kanalmodellen aufzeigen, welche unterschiedliche Spektren besitzen. Abb. 3.9 zeigt Charakteristika drei verschiedener Kanalmodelle. Die dazugehörigen Spektren sind in Abb. 3.10 zu sehen. Während in Abb. 3.10(a) ein relativ konstanter Verlauf über den gesamten Bereich zu sehen ist, zeigen die anderen Kanäle verschieden große Nullstellenbereiche. Das läßt vermuten, daß die Performance bei Kanal (a) am besten und bei Kanal (c) am schlechtesten ist. Genau dieses Verhalten zeigt Abb. 3.11, in der die Fehlerwahrscheinlichkeit über das S/N -Verhältnis dargestellt ist.

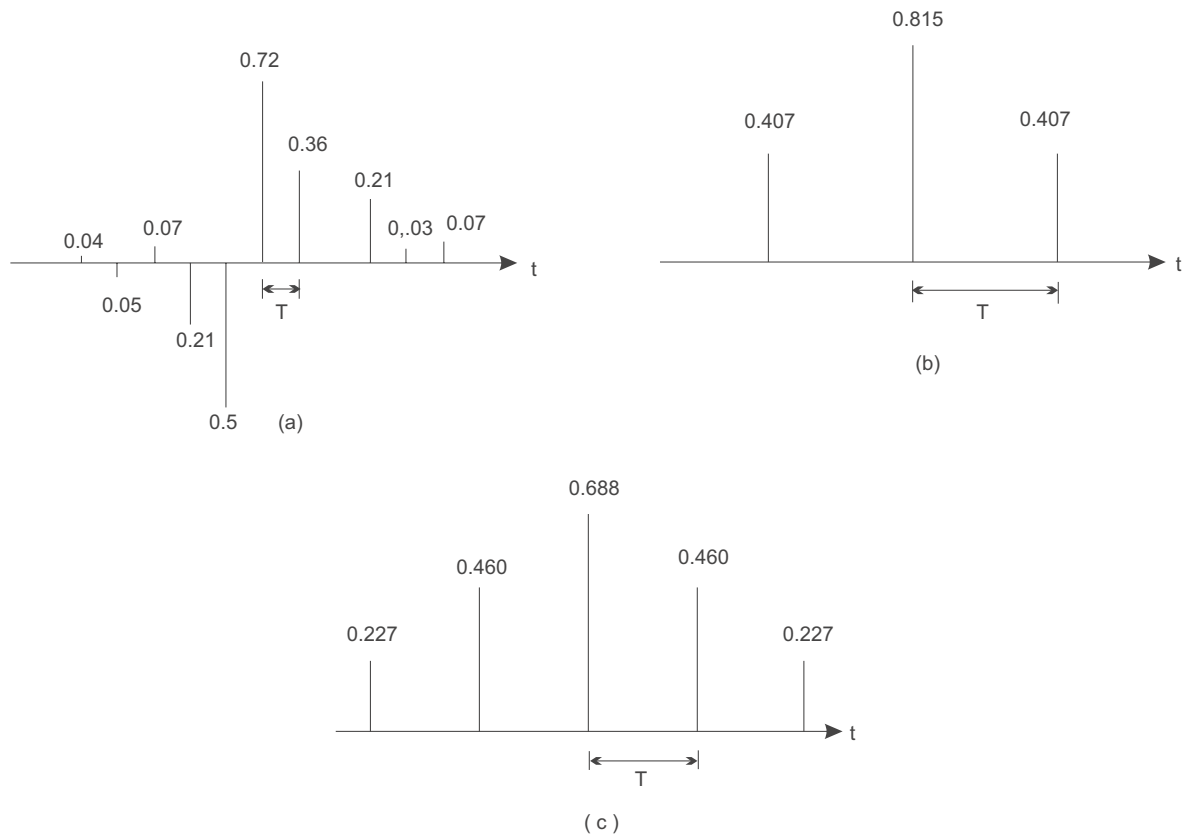


Abbildung 3.9: Drei verschiedene Kanalmodelle aus Proakis

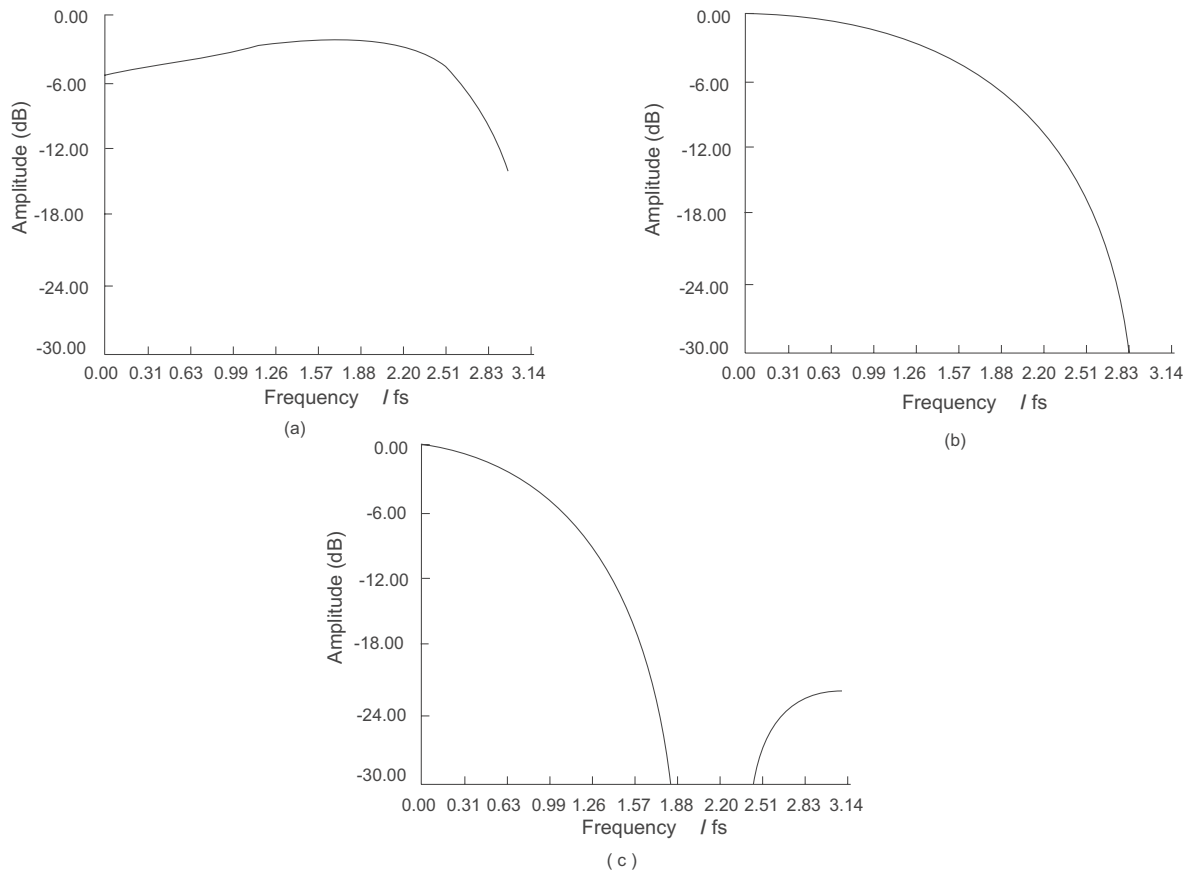


Abbildung 3.10: Spektren der drei Kanäle

Man erkennt die extreme Performanceverschlechterung bei den Kanälen mit spektralen Nullstellen. Solch ein MSE-Equalizer kann z. B. gut für Telefonkanäle, die ein ähnliches Spektrum wie Kanal (a) besitzen, eingesetzt werden.

Für andere Kanäle muß eine andere Entzerrerrösung gefunden werden. Eine solche Lösung stellt ein *decision-feedback-Equalizer* dar.

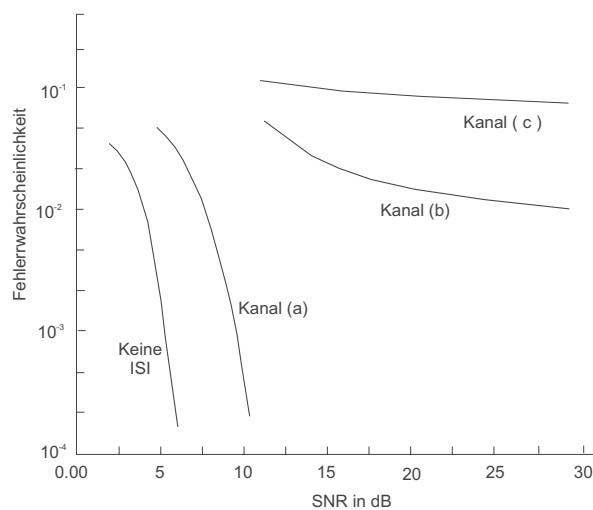


Abbildung 3.11: Fehlerwahrscheinlichkeit

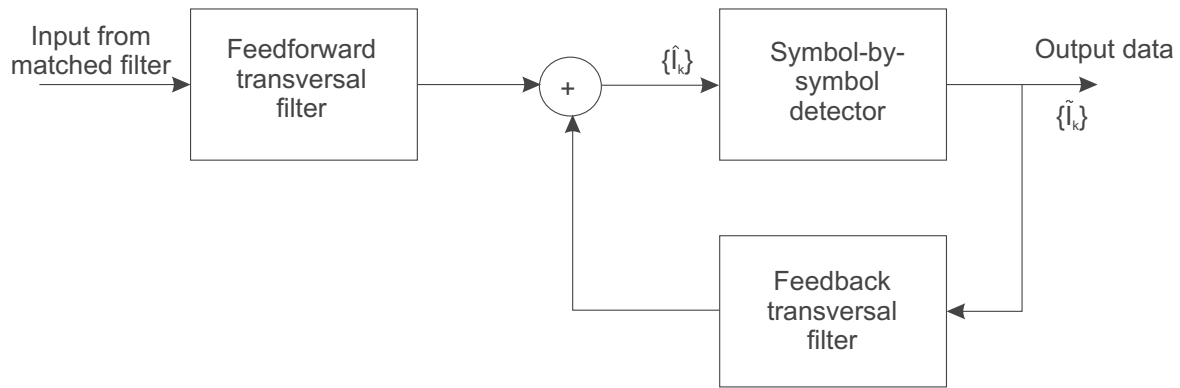


Abbildung 3.12: Blockschema eines DFE

3.3 Decision-Feedback Equalizer

Ein *decision-feedback Equalizer* ist ein nicht-linearer Entzerrer. Das Symbol I_{k-1} wird über das FB-Filter zurückgeführt und trägt zur Bestimmung des Symbols I_k bei. Dies führt zu einer Performanceverbesserung bzgl. der Intersymbol-Interferenz. Abb. 3.12 zeigt das Blockschema eines *decision-feedback Equalizers* oder auch kurz *DFE* genannt. Ein DFE besteht aus zwei Teilen, einem *feedforward* und einem *feedback* Teil. Beide Bestandteile sind lineare transversale Filter, wie sie vorher schon besprochen wurden.

Das *feedforward* Filter beseitigt die Vorläufer, das *feedback* Filter die Nachläufer wie in Abb. 3.13 zu sehen ist.

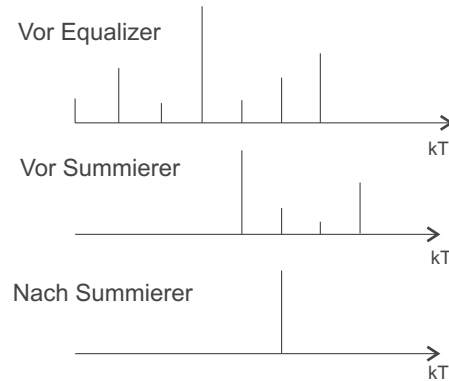


Abbildung 3.13: Funktion der einzelnen Filter des DFE

Das Ausgangssignal des DFE läßt sich aus den bisherigen Erkenntnissen beschreiben als

$$\hat{I}_k = \sum_{j=-K_1}^0 c_j v_{k-j} + \sum_{j=1}^{K_2} c_j \tilde{I}_{k-j} \quad (3.43)$$

wobei c_j die Filterkoeffizienten, \tilde{I}_k die vorher entschiedene Symbole und v_k den Equalizereingang darstellen. Das *feedforward* Filter hat $K_1 + 1 \geq L$ und das *feedback* Filter K_2 Koeffizienten. K_2 wird so gewählt, daß alle "Nachläufer", welche das aktuelle Symbol stören, erfaßt werden. Es gilt $K_2 = L - 1$ ($L =$ Länge der Kanalimpulsantwort).

Zur Bestimmung der Koeffizienten wird das bekannte *MSE*-Kriterium angewendet. Es gilt also folgendes zu minimieren

$$J(K_1, K_2) = E\{|I_k - \hat{I}_k|^2\} \quad (3.44)$$

Dies führt wieder zu einem Gleichungssystem zur Bestimmung der *feedforward Koeffizienten*

$$\sum_{j=-K_1}^0 \psi_{lj} c_j = f_{-l}^* \quad l = -K_1, \dots, -1, 0 \quad (3.45)$$

wobei

$$\psi_{lj} = \sum_{m=0}^{-L} f_m^* f_{m+l-j} + N_0 \delta_{lj} \quad l, j = -K_1, \dots, -1, 0 \quad (3.46)$$

Die Koeffizienten des *feedback* Filters lassen sich berechnen durch

$$c_k = - \sum_{j=-K_1}^0 c_j f_{k-j} \quad k = 1, 2, \dots, K_2 \quad (3.47)$$

3.3.1 Performance von DFE-Equalizern

Abb. 3.14 zeigt die Fehlerwahrscheinlichkeit eines DFE-Equalizers für die beiden Kanäle (b) und (c) aus Abb. 3.9. Vergleicht man dazu die Performance eines linearen Equalizers, dargestellt in Abb. 3.11, so sieht man den starken Performancegewinn bei den DFE-Entzerrern.

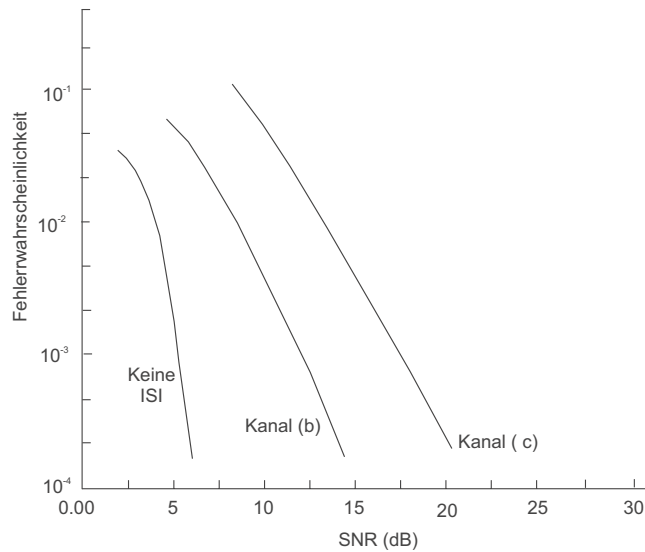


Abbildung 3.14: Fehlerwahrscheinlichkeit bei DFE-Equalizern

3.4 Adaptive Entzerrer

Bisher wurde immer davon ausgegangen, daß die Kanäle **zeitinvariantes** Verhalten besitzen. Dies trifft aber nur für einen Teil der Kanäle zu. Weisen Übertragungskanäle **zeitvariantes** Verhalten auf, (d.h. ihre Eigenschaften ändern sich mit der Zeit), kommen sogenannte *adaptive*

Equalizer zum Einsatz. Solche Equalizer haben die Eigenschaft, sich an die wechselnden Kanaleigenschaften anzupassen.

Es soll mit Hilfe eines adaptiven Algorithmus die Koeffizientengewinnung sowohl für einen linearen- als auch für einen DFE-Equalizer beschrieben werden.

3.4.1 LMS-Algorithmus

Der *Least-Mean-Square*-Algorithmus arbeitet nach dem MSE-Kriterium. Er stellt eine iterative Prozedur zur Gewinnung der Filterkoeffizienten dar. Dabei wird anfangs willkürlich ein Startvektor C_0 vorgegeben und anschließend mit der iterativen Prozedur des *steilsten Abstiegs* (*steepest descent*) immer weiter an C_{opt} angenähert. C_{opt} würde man durch Lösung des bekannten Gleichungssystems

$$\Gamma C = \xi \quad (3.48)$$

erhalten.

Diese Prozedur führt schließlich zu folgendem rekursiven Algorithmus

$$\hat{C}_{k+1} = \hat{C}_k + \Delta \epsilon_k V_k^* \quad (3.49)$$

wobei C_k der Koeffizientenvektor zum Zeitpunkt $k \cdot T$ ist. ϵ_k ist der Fehler, definiert durch

$$\epsilon_k = I_k - \hat{I}_k \quad (3.50)$$

und V_k ist ein Vektor von Equalizereingangswerten, welche zum Erhalt von \hat{I}_k beitragen, z. B. $V_k = (v_{k+K} \dots v_k \dots v_{k-K})$.

Das Δ ist eine beliebige positive Zahl, die aber so klein gewählt werden muß, damit diese iterative Prozedur konvergiert. Von ihrer Größe hängt die Geschwindigkeit, mit der die Prozedur konvergiert, ab.

Wie in (3.50) zu sehen ist, benötigt man für die Bestimmung von ϵ_k eine bekannte Sequenz I_k . Dies kann dadurch erreicht werden, indem vor der eigentlichen Datenübertragung eine sogenannte Trainingssequenz zur ersten Bestimmung der Filterkoeffizienten benutzt wird. Diese liefert nun die benötigte, dem Empfänger bekannte, Sequenz I_k .

Später, bei der eigentlichen Datenübertragung, wird die Koeffizientenanpassung weitergeführt und der Fehler ϵ_k wird berechnet aus $\tilde{\epsilon}_k = \tilde{I}_k - \hat{I}_k$, wobei \tilde{I}_k das aus \hat{I}_k entschiedene Symbol darstellt. Dies wird als *decision-directed mode of adaptation* bezeichnet.

Abb. 3.15 verdeutlicht den Vorgang zur adaptiven Koeffizientengewinnung.

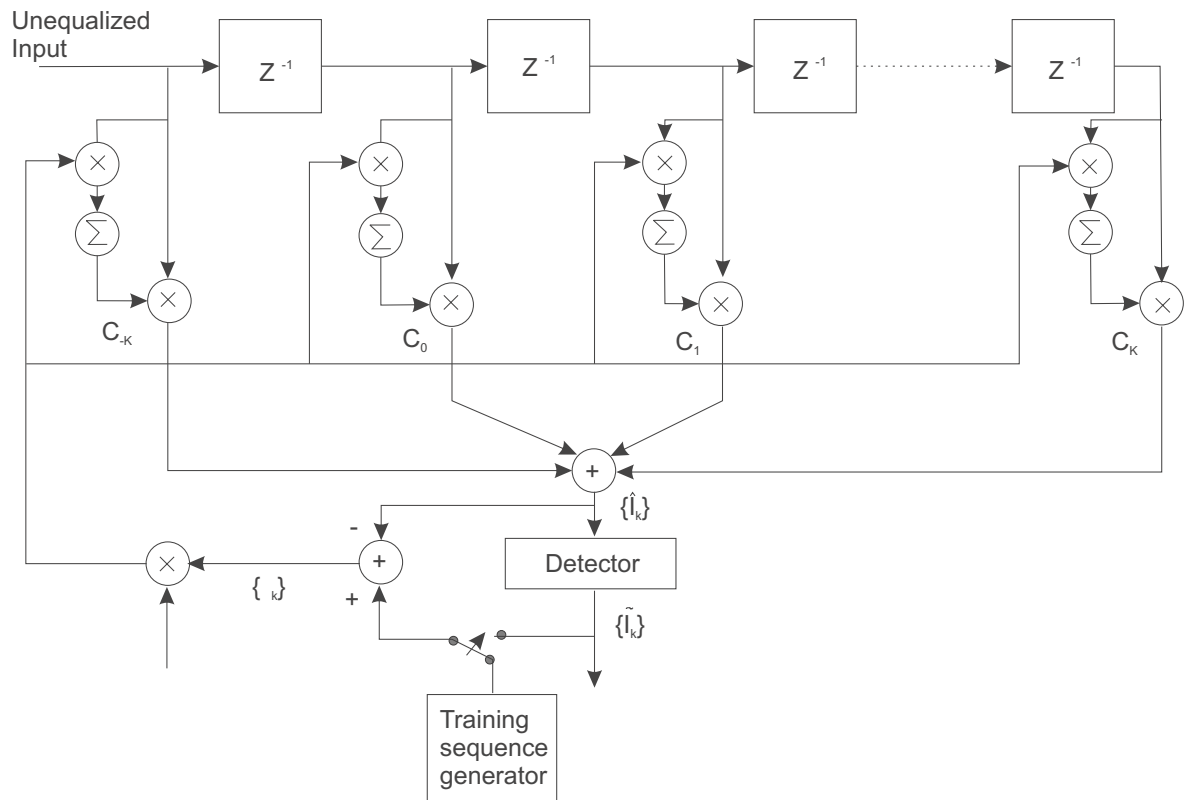


Abbildung 3.15: Adaptiver MSE-Equalizer

3.5 Adaptiver DFE-Equalizer

Die Koeffizientengewinnung bei einem DFE-Equalizer läuft im Prinzip genauso, wie bei einem MSE-Equalizer. Es wird der gleiche Algorithmus angewendet.

$$\tilde{C}_{k+1} = \tilde{C}_k + \Delta \tilde{\epsilon}_k V_k^* \quad (3.51)$$

wobei $\tilde{\epsilon}_k = \tilde{I}_k - \hat{I}_k$ und $V_k = (v_{k+K_1} \dots v_k, \tilde{I}_{k-1} \dots \tilde{I}_{k-K_2})$.

Auch hier werden mit Hilfe einer Trainingssequenz die ersten Koeffizientenwerte des Equalizers bestimmt. Bild 3.16 zeigt einen adaptiven DFE-Equalizer.

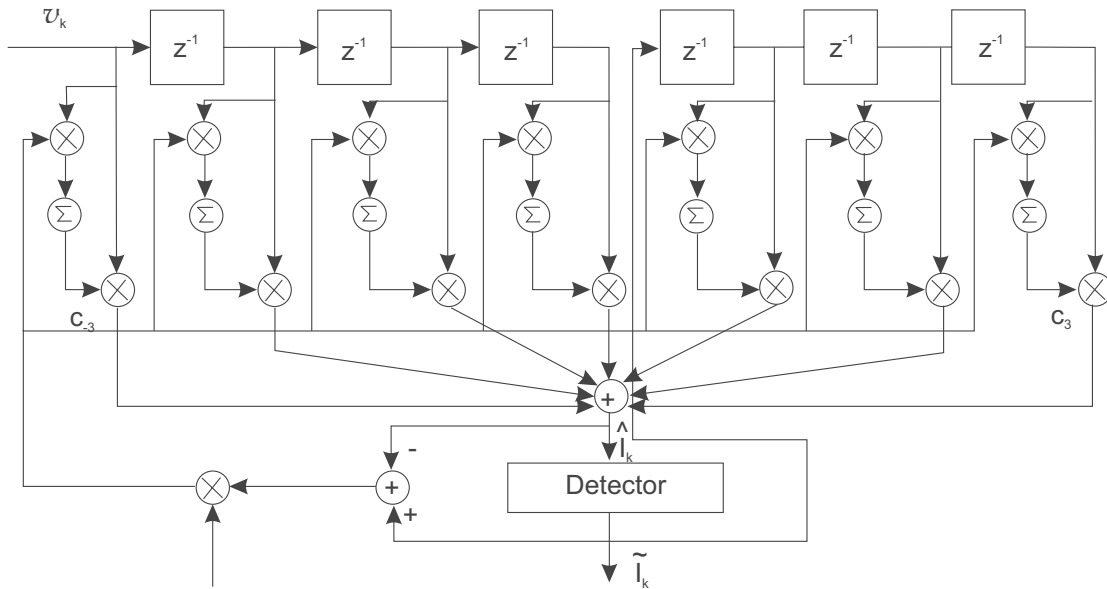


Abbildung 3.16: Adaptiver DFE-Equalizer

4 Zusammenfassung

Für die Auswahl des richtigen Equalizerstyps sind die Eigenschaften des Übertragungskanals entscheidend. Weist das Kanalmodell in seinem Amplitudenspektrum keine Nullstellenbereiche auf und ist es zeitinvariant, dann kann dort ein **linearer preset-Entzerrer** eingesetzt werden, wie z. B. ein MSE-Equalizer. Ändern sich hingegen die Kanaleigenschaften mit der Zeit, so ist die **adaptive** Methode zur Koeffizientenanpassung notwendig.

Die folgende Tabelle zeigt eine mögliche Entzerrerauswahl in Abhängigkeit verschiedener Kanaleigenschaften.

Kanaleigenschaften	Equalizertyp
Keine Nullstellenbereiche im Amplitudenspektrum, zeitinvariant	Linearer Equalizer preset-Methode
Keine Nullstellenbereiche im Amplitudenspektrum, zeitvariant	Linearer Equalizer adaptive Methode
Nullstellenbereiche im Amplitudenspektrum, zeitinvariant	DFE-Equalizer preset-Methode
Nullstellenbereiche im Amplitudenspektrum, zeitvariant	DFE-Equalizer adaptive-Methode

Abbildung 4.1: Entzerrerauswahl

5 Umsetzung

5.1 In Matlab

5.1.1 MSE-Equalizer, mse.m

Das Programm *mse.m* liest die Kanalnummer bzw. einen benutzerdefinierten Kanal und das S/N -Verhältnis ein. Es werden die Koeffizienten des MSE-Equalizers und eine Grafik mit Kanal, Amplitudenspektrum und dem Signal nach dem Equalizer ausgegeben.

Abb. 5.1 und 5.2 zeigen die vier verschiedenen Kanäle und deren Spektren. Abb. 5.3 zeigt die Ausgabe für *mse(1,0,20)*.

Im Folgenden die wichtigsten Programmsequenzen.

- Umsetzung der Formel (3.51) zur Berechnung der Koeffizienten

```
%Berechnung von Copt
% Aus diesen Werten wird die Matrix T(lj) erstellt
x=xcorr(f);
x=x/x((length(x)+1)/2);% x(0)=1;

d=length(f);%Erstellung der Matrix T(lj) nach (3.48)
r=d-1;
m=zeros(length(f),length(f));
for i=1:d
    r=r+1;
    a=r;
    for l=1:d
        m(i,l)=x(a);
        if(i==l)
            %Auf Hauptdiagonalen wird N0 addiert
            m(i,l)=m(i,l)+10^(-SNR/10);
        end
        a=a-1;
    end
end
f1=fliplr(conj(f));% Vektor f*(L)-f*(0)
copt=inv(m)*f1.'; %Berechnete Koeffizienten nach (3.51)
```

- Die Erzeugung der gestörten Datensequenz nach (3.36)

```
%Erzeugung von gestörten Daten
data1=conv(info,f);
var=0.5*10^(-SNR/10);
AWG1=randn(1,size(data1,2))*sqrt(var);
AWG2=AWG1;
AWG=AWG1+j*AWG2;
data=data1+AWG;
```

- Berechnung Equalizerausgang nach (3.37)

```
%Berechnung Equalizerausgang
for k=1:length(info) %Bestimmung von I(k)=summe [c(j)*v(k-j)] j=-
K...K (Proakis Seite 602)
    v1=fliplr(data(1,k:(k+length(copt)-1))); %Sequenz v(k-j)
    I1(k)=copt.'*v1.';
end
```

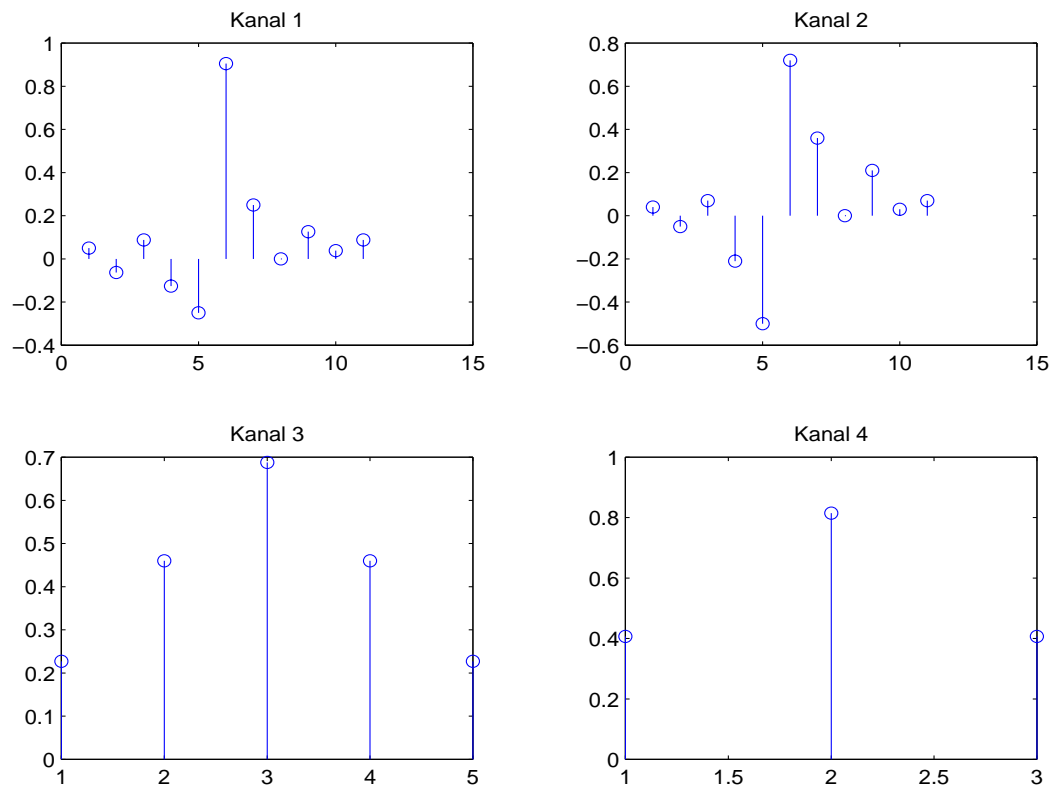


Abbildung 5.1: Kanäle

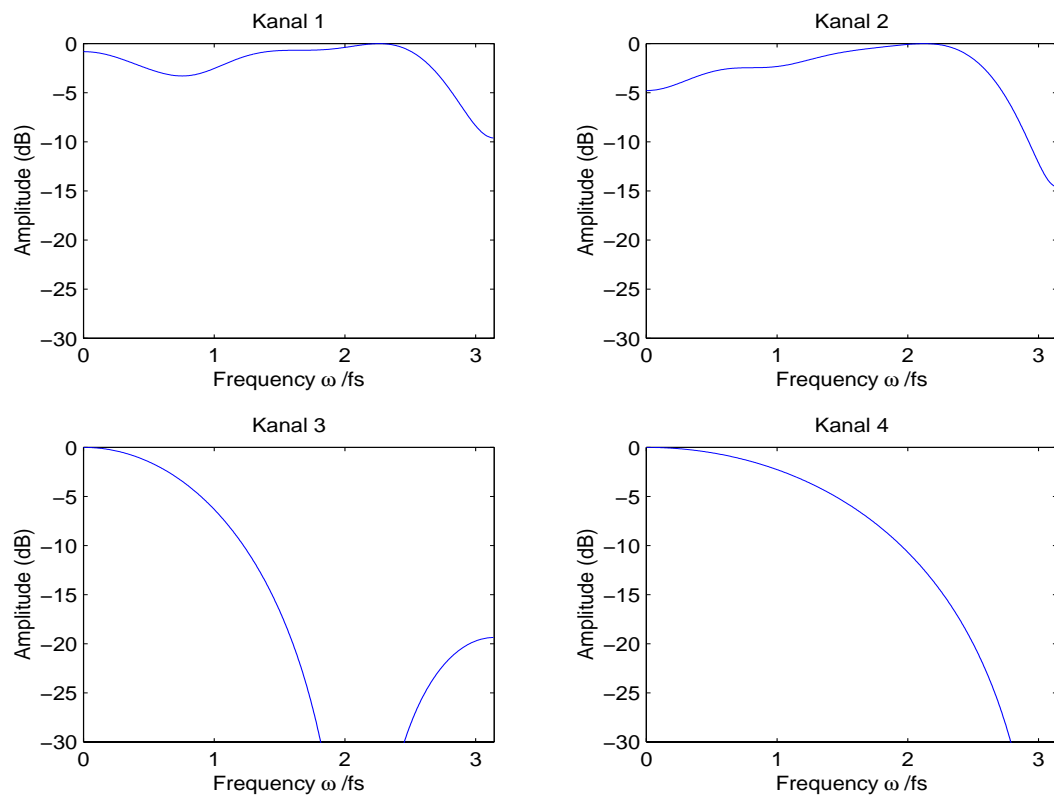


Abbildung 5.2: Amplitudenspektren der Kanäle

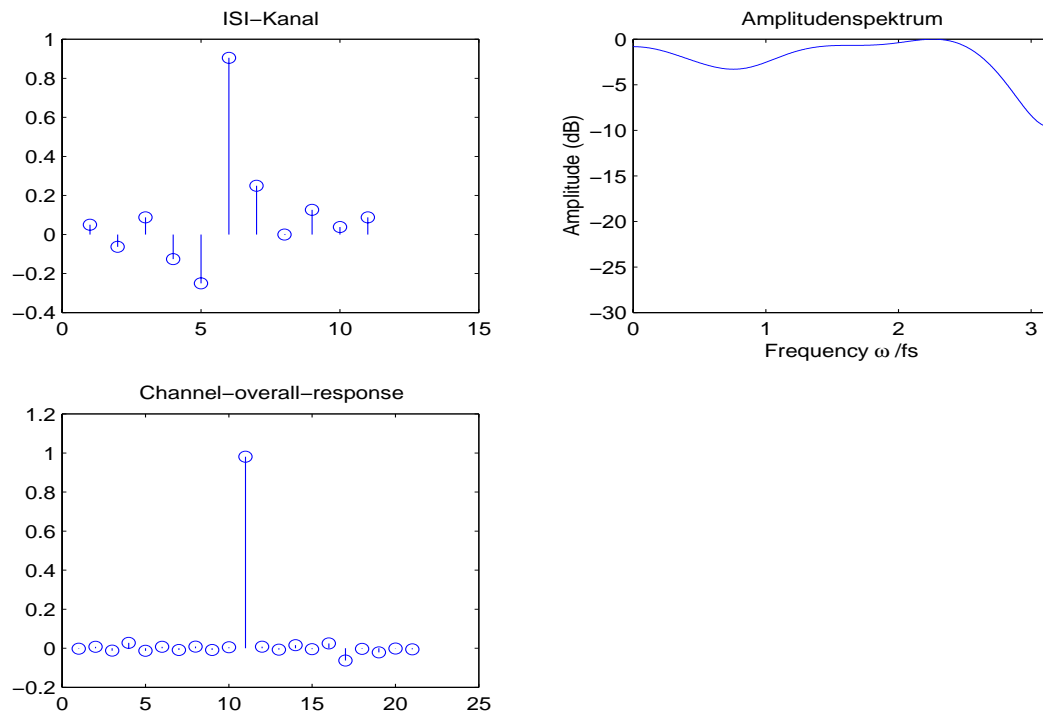


Abbildung 5.3: Ausgabe für $mse(1,0,20)$

5.1.2 DFE-Equalizer, dfe.m

Dieses Programm arbeitet nach demselben Prinzip wie beim MSE-Equalizer. Ausgabe ist das Signal vor dem Equalizer, nach dem feedforward-Filter und nach der Additionsstelle. Die Programmsequenz zur Berechnung der Koeffizienten nach (3.55) ist:

```
%Bestimmung der psi-matrix
psi = zeros(Kl+1,Kl+1);
for k=-Kl:0
    for jo=-Kl:0
        for i=0:-k
            if ( ((i+1+k-jo)>0) & ((i+1+k-jo)<L+1) & (i<L))
                psi(k+Kl+1,jo+Kl+1)=psi(k+Kl+1,jo+Kl+1)+(conj(f(i+1))...
                ...* f(i+1+k-jo));
            end
        end
    end
end

for k=-Kl:0
    psi(k+Kl+1,k+Kl+1) = psi(k+Kl+1,k+Kl+1) + 10^(-SNRdfe/10);
end

%Koeffizienten des FF-Filters
cDFE = (psi \ fliplr(f(1:Kl+1)))';
```

```

%Koeffizienten des FB-Filters
bDFE=zeros(1,K2);
for k = 1:K2
    for jo=-K1:0
        if( (k-jo+1) <= L )
            bDFE(k) = bDFE(k) - cDFE(jo+K1+1) * f(k-jo+1);
        end
    end
end
end

```

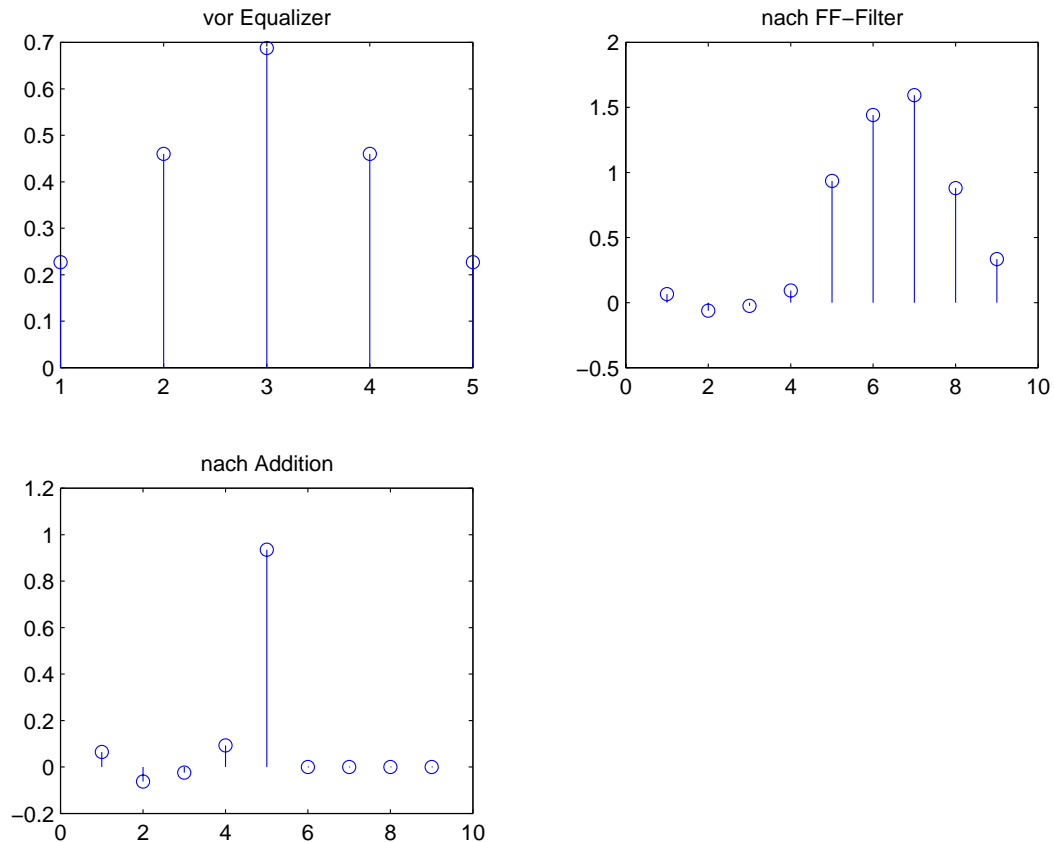


Abbildung 5.4: Ausgabe für $dfe(3,0,20)$

5.1.3 Ersatzfiltermodell, kanalmodell.m

Will man ein eigenes Ersatzfilter bestimmen, so kann dies mit Hilfe des Programms *kanalmodell.m* geschehen. Es wird dabei mit einer achtfachen Überabtastung gearbeitet. Aus Sender, einem Kanal und dem Matchedfilter mit anschließendem Abtaster wird das Ersatzfiltermodell gewonnen. Als Sendefilter wird ein *root-raised-cosine* gewählt. Der Kanal wird von der Funktion *Fetsichan* geliefert und soll zwei Symbole stören (bei achtfacher Überabtastung entspricht dies ca. 16 Kanalkoeffizienten). Das Matchedfilter schließlich ist auf *Sender + Kanal* gematched. Das Programm liefert durch Aufruf $a=kanalmodell$ die Koeffizienten des Ersatzfiltermodells. Dieses kann nun z. B. in die Funktion *mse.m* mit $mse(0, a, 20)$ eingelesen werden.

5.1.4 Bitfehlerrate, msetest.m

Mit diesem Programm kann man die Bitfehlerrate eines MSE-Equalizers ermitteln. Als Parameter werden bis zu zwei verschiedene Ersatzfiltermodelle eingegeben und können somit verglichen werden. Man hat die Auswahl zwischen den vorgegebenen Kanälen nach Abb. 5.1 oder eigenen Kanälen, z. B. erzeugt mit *kanalmodell.m*. Desweiteren wird noch die Länge der Testsequenz eingegeben. Diese sollte im Praktikum min. 10000 und max. 30000 betragen, da sonst die Rechenzeit zu lang wird. Allerdings ergeben sich für höhere Werte auch genauere Ergebnisse. Der genaue Aufruf der Funktion lautet *msetest(k1,kan1,kan2,N)*. Im Matlab Kommandofenster werden jeweils die aktuellen S/N -Werte mit dazugehörigen Bitfehlerraten angezeigt. Die erzeugte Grafik zeigt das Ersatzfiltermodell (ISI-Kanal), dessen Amplitudenspektrum, ein entzerrtes Bit und die Bitfehlerwahrscheinlichkeit in Abhängigkeit vom S/N -Verhältnis. Abb. 5.5 zeigt ein Beispiel.

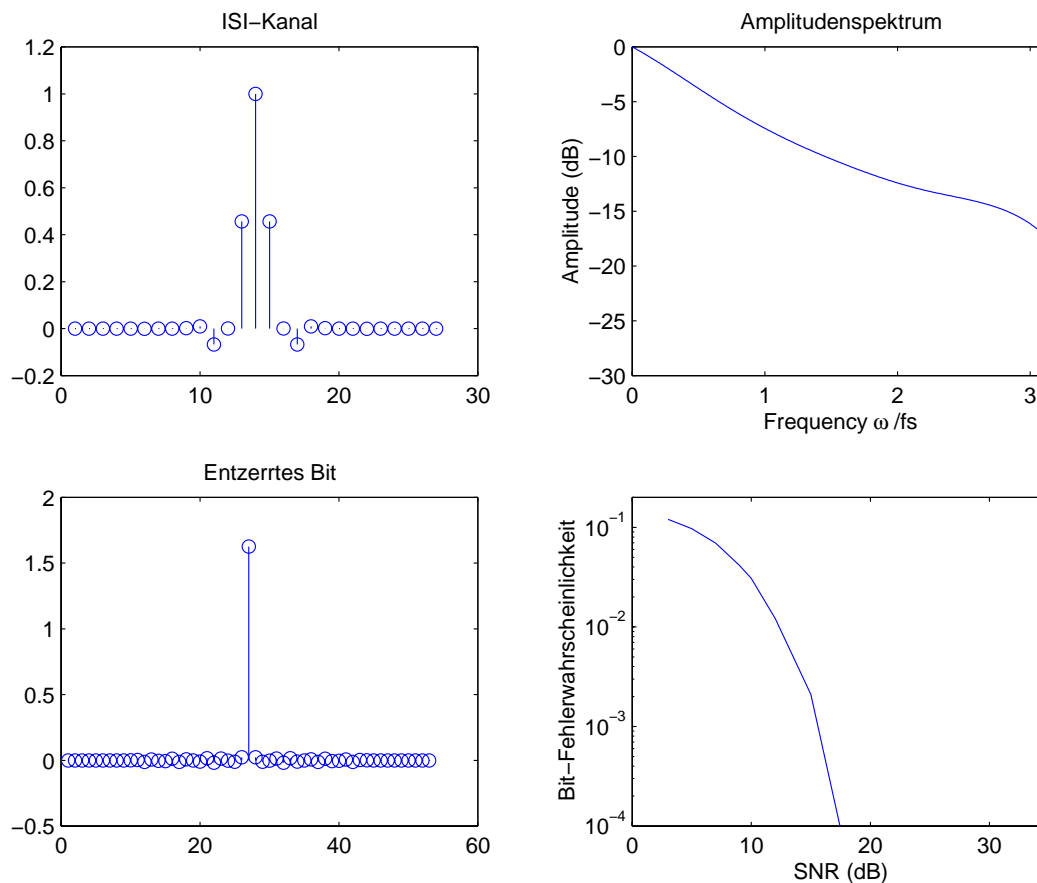


Abbildung 5.5: Ausgabe *msetest*

5.1.5 Bitfehlerrate, dfetest.m

Diese Funktion arbeitet nach gleichem Prinzip wie *msetest.m* aber nun für einen DFE-Equalizer. Es gelten dieselben Parameter. Ausgabe hier ist das Signal vor dem Equalizer, nach dem Feedforward-Filter und nach der Additionsstelle und die Bitfehlerwahrscheinlichkeit. Abb. 5.6 zeigt ein Beispiel.

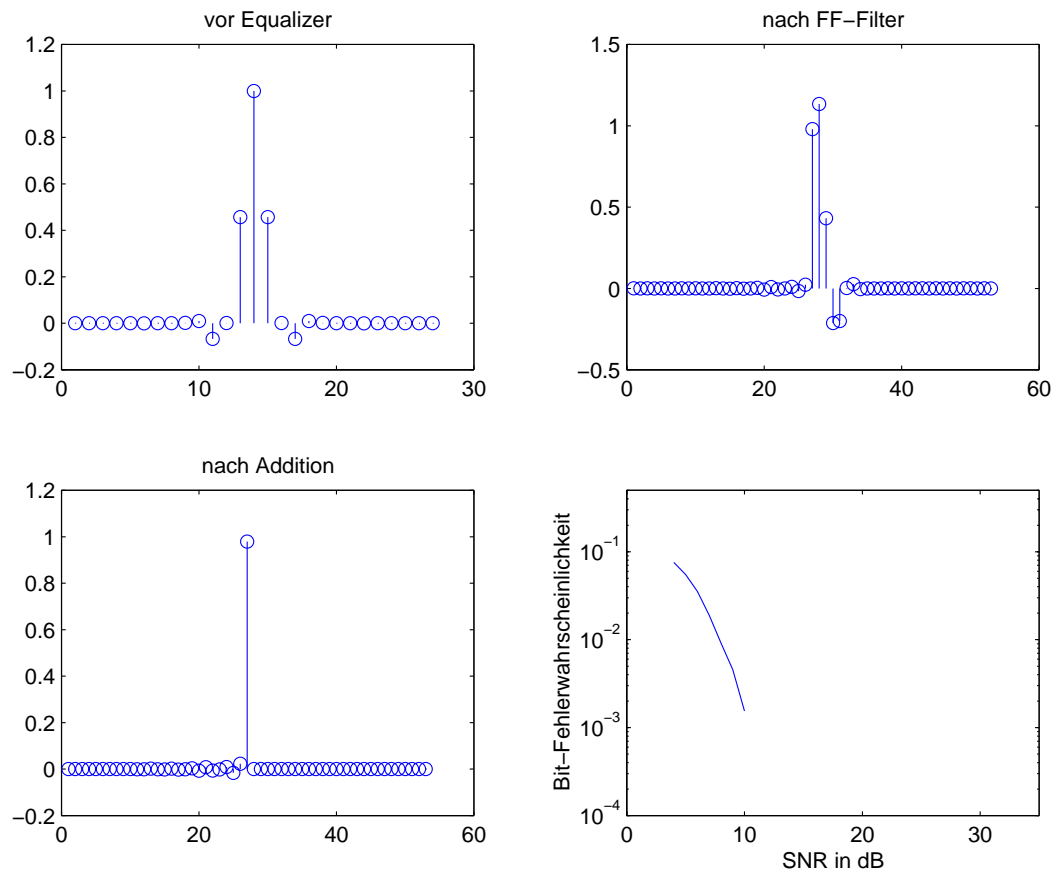


Abbildung 5.6: Ausgabe dfetest

5.1.6 Vergleich MSE zu DFE, msedfe.m

Die Funktion $msedfe(k,kan,N)$ vergleicht die Performance der zwei Equalizertypen. Es kann wieder zwischen vorgegebenen und selbst bestimmten Ersatzfiltermodellen gewählt werden. Es wird jeweils eine Grafik für den MSE- bzw. DFE-Equalizer ausgegeben. Die Bitfehlerraten erscheinen in einem Diagramm.

Beispiel:

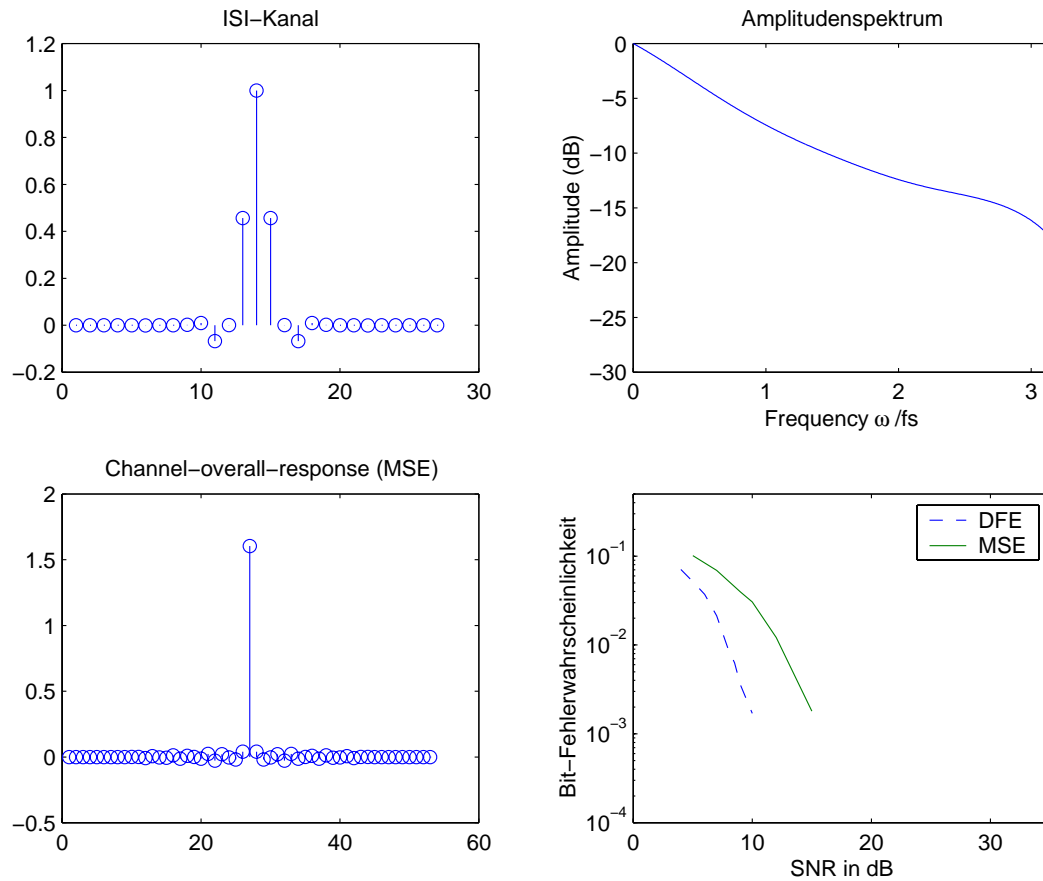


Abbildung 5.7: Ausgabe $msedfe$

5.2 In C

Als Grundlage zur Implementierung der Equalizer dient das Programm *nrrz.c* aus [2]. Dort wurde aus einer PCM-codierten Zahl ein überabgetastetes NRZ-Signal (never-return to-zero) erzeugt und auf ein Sendefilter gegeben.

Auf das Ausgangssignal wurde noch Rauschen additiv hinzugegeben und passierte anschließend ein Matchedfilter. Dieses Programm mußte nun noch durch weitere Filter (Kanal, Equalizer) erweitert werden.

Ein Problem ergab sich noch dadurch, daß die vorhandene Filterfunktion *fir()* nicht für komplexe Zahlen ausgelegt ist. Deswegen mußte eine eigene Filterfunktion erstellt werden, die diese Eigenschaft besitzt.

Die komplexe Filterfunktion *fir1()* sieht folgendermaßen aus:

```

complex_float fir1(complex_float input,float pm coeffs_re[],
float pm coeffs_im[],
float dm state_re[],float dm state_im[],int taps)
{
temp.re=0.0;
temp.im=0.0;

state_re[0]=input.re;
state_im[0]=input.im;

for(i=0;i<taps;i++)
{
temp.re+=(coeffs_re[i]*state_re[i])-(coeffs_im[i]*state_im[i]);
temp.im+=coeffs_im[i]*state_re[i]+coeffs_re[i]*state_im[i];
}

for(j=taps-1;j>=0;j--)
{
state_re[j+1]=state_re[j];
state_im[j+1]=state_im[j];
}
return temp;
}

```

Nachteil dieser Funktion ist, daß sie um einiges langsamer ist als die originale Filterfunktion *fir()*. Um in etwa die gleiche Ausführungsgeschwindigkeit zu erhalten, müßte *fir1()* wie *fir()* direkt in Assembler programmiert werden. Dies wurde aber im Rahmen dieser Diplomarbeit nicht durchgeführt.

Um aber an Geschwindigkeit zu gewinnen, wurde in den neuen Programmen die Sequenz der PCM-Codierung weggelassen und durch eine einfachere Erzeugung von zu übertragenen Daten ersetzt. Desweiteren wird mit einer achtfachen anstatt 20-fachen Überabtastung gearbeitet.

Die Ermittlung der Koeffizienten von *Sendefilter*, *Sendefilter u. Kanal*, *Machedfilter* und *Ersatzfiltermodell* erfolgt mit Matlab durch Aufruf der Funktion *[sende,sendekan,mf,kanal]=kanalmodell*. Die Koeffizienten der Equalizer erhält man durch Aufruf der Funktion *[c]=mse(0,kanal,20)* oder *[ff,fb]=dfe(0,kanal,20)*. Die Funktionen sind unter 5.1 beschrieben.

Um diese Koeffizienten in C zu verarbeiten, müssen sie getrennt nach Real- bzw. Imaginärteil abgespeichert werden. Solche Koeffizientendateien sind z. B. *sendere.h*, *mfm.h* usw. Diese Koeffizienten werden am Anfang des Programms mit

```
//Sendefilterkoeffizienten real
float pm filterRE[TAPS]=
{
    #include "sendere.h"
}
```

in Arrays eingelesen.

Die Timerfunktion steuert die Erzeugung der zu übertragenen Daten. Bei jedem Durchlauf wird zuerst eine -1 bzw. 1 (repräsentiert durch einen äquivalenten Spannungspegel an den *DA-Ausgängen* von -1 bzw. $1V$) erzeugt. Je nach eingesetztem Filter, gesteuert durch den Hardwareinterrupt (Taster), wird die Überabtastung durch Anhängen von Nullen realisiert.

```
//Erzeugung einer Zufallszahl und abhängig davon eine 1 bzw. -1
void timer_hi_prior(int sig_num)
{
    int aus=0;
    sig_num=sig_num;
    // os = OverSampling
    if(os==0)
    {
        // Takt = high
        SetIOP(dac_7,dac_high);

        // Die Zufallszahl wird erzeugt.
        if(rand(<1073741824)
        {
            level=-PEGEL;
        }
        else
        {
            level=PEGEL;
        }
    }

    // ZA-1 mal werden Nullen erzeugt (Überabtastung)
    else
    {
        if(r_count==1 || r_count==2 || r_count==3) //Welche Filter?
        {
            level=dac_low;
            // Takt = low
            SetIOP(dac_7,dac_low);
        }
    }
}
```

```

    }
}

```

Der Hardwareinterrupt inkrementiert eine Zählervariable, nach der die Filterauswahl erfolgt, und setzt verschiedene S/N -Werte.

```

// Interruptfunktion für IRQ1
// Mit dem Interrupt wird der Rauschabstand ausgewählt.
void press_button(int sig_num)
{
sig_num=sig_num;
output2.re=0.0;
output2.im=0.0;

r_count++;
if(r_count==2)
{
snrdb=23;
}
if(r_count==3)
{
snrdb=15;
}
if(r_count==4)
{
snrdb=100;
}
if(r_count==5)
{
r_count=0;
}
}

```

Je nach Wert der Zählervariablen erfolgt die Berechnung der verschiedenen Filterausgänge und Ausgabe der Werte über die D/A -Wandler (Auszug aus `dfe.c`).

```

// Werte werden auf das Filter gegeben.
input.re=(float)level;

if(r_count==1 || r_count==2 || r_count==3)
{
//Sendefilter
output=fir1(input,filterRE,filterIM,states_re,states_im,TAPS);
//Sendefilter+Kanal
output1=fir1(input,filter1RE,filter1IM,states1_re,states1_im,TAPS1);
//Rauschen

```

```
input1.re=(float)(int)output1.re+awgn(en,PEGEL,snrdb);
input1.im=(float)(int)output1.im+awgn(en,PEGEL,snrdb);
aus=(int)input1.re;
//Ausgabe
SetIOP(dac_2,(int)output.re+dac_zero);
SetIOP(dac_3,aus+dac_zero);
}
else .....
```

5.2.1 Oszilloskopausgabe MSE

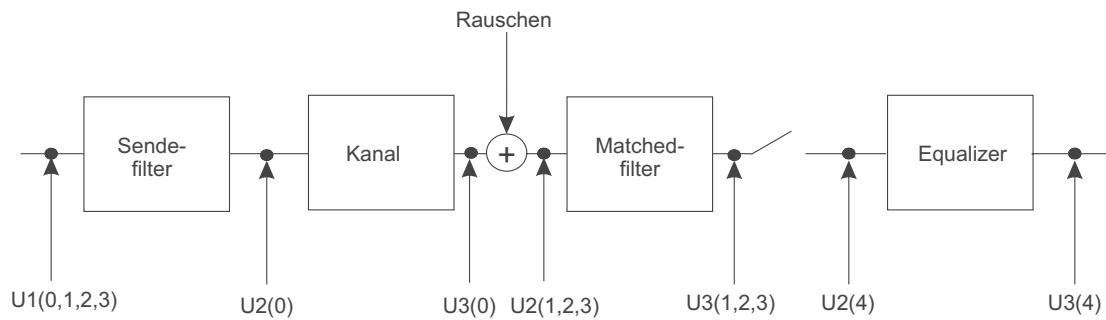
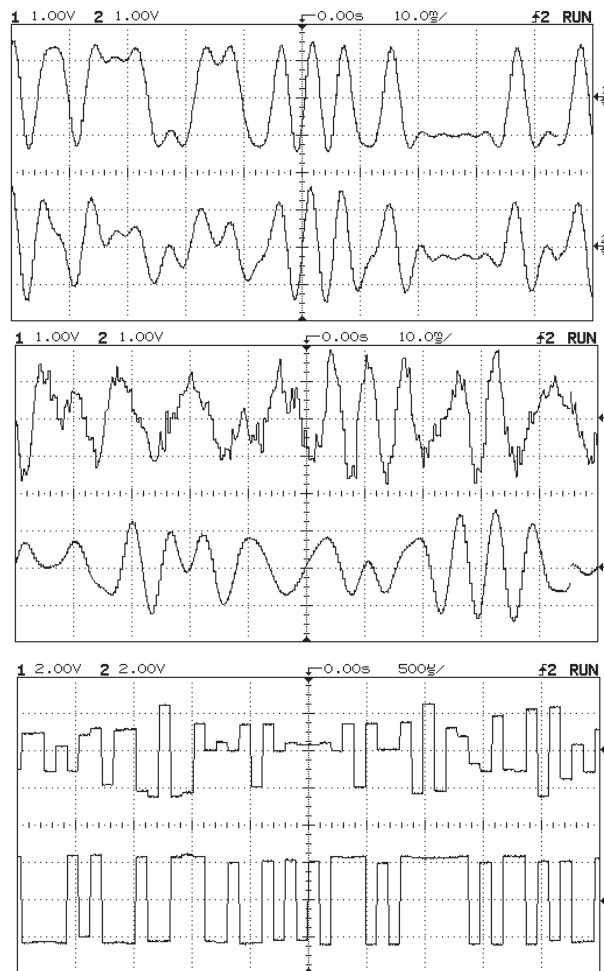


Abbildung 5.8: Meßpunkte MSE



Die Signale von oben nach unten:

1. Signal nach Sendefilter
2. Signal nach Sendefilter+Kanal
3. Signal 2+Rauschen
4. Signal nach Matchedfilter
5. Signal nach Abtaster
6. Signal nach Equalizer

Abbildung 5.9: Ausgabe mse.c

5.2.2 Oszilloskopausgabe DFE

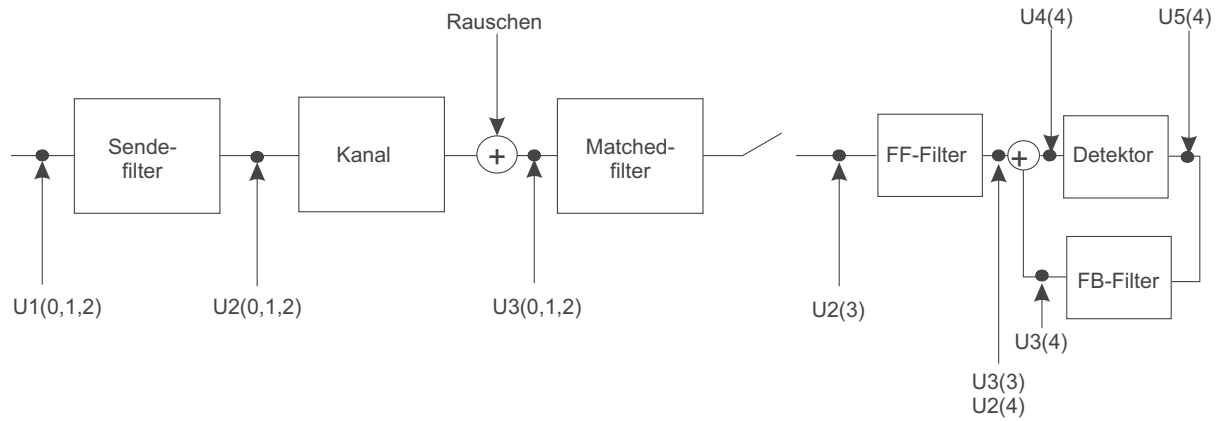
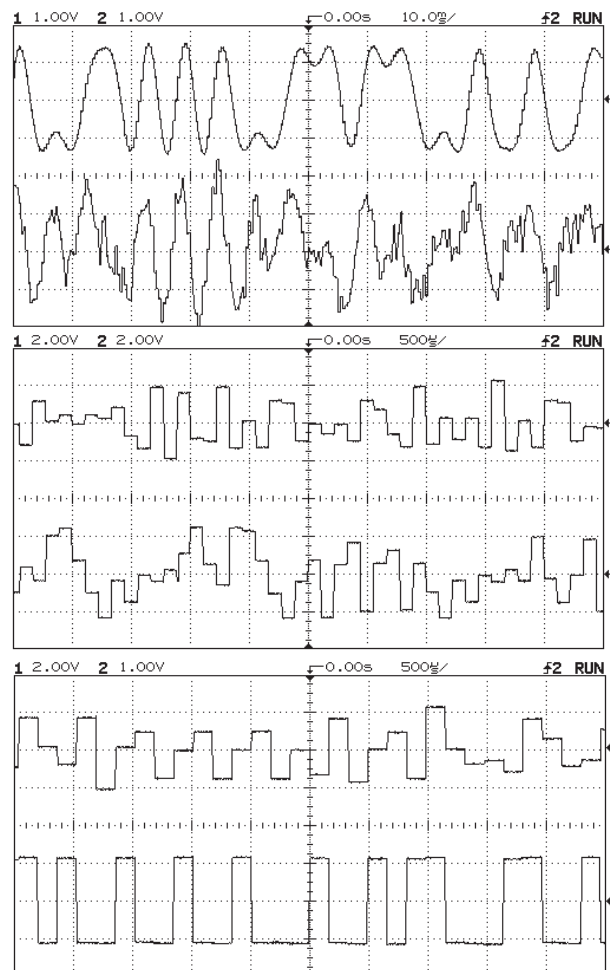


Abbildung 5.10: Meßpunkte DFE



Signale von oben nach unten:
 1. Signal nach Sendefilter
 2. Signal nach Sendefilter+Kanal+Rauschen
 3. Signal nach Abtaster
 4. Signal nach FF-Filter
 5. Signal nach FB-Filter
 6. Signal nach Additionsstelle

Abbildung 5.11: Ausgabe dfe.c

6 Hard- und Software

6.1 Praktikumsaufbau

Als Plattform zur Demonstration der geschriebenen Programme dient ein Praktikumsaufbau einer vorherigen Diplomarbeit. In dem Praktikumsaufbau ist das Evaluationboard *EZ – KitLite* von *AnalogDevices* mit dem Digitalen Signalprozessor *DSP21061* integriert. Der DSP 21061 kann 32 und 40 Bit Gleitkommazahlen und 32 Bit Festkommazahlen verarbeiten. Er wird mit einer Frequenz von 40 MHz getaktet. Der Prozessor hat zusätzlich noch einen I/O-Bus, an den externe Einheiten angeschlossen werden können. Diese externen Einheiten bilden in dem Praktikumsaufbau sechs 8-Bit Digital-Analog-Wandler und zwei 12-Bit Analog-Digitalwandler.

Über die DA-Wandler können verschiedene Zwischensignale zur Anschauung bzw. Weiterverarbeitung ausgegeben werden. Die AD-Wandler bieten die Möglichkeit, mehrere Praktikumsaufbauten miteinander zu verbinden, um evtl. eine komplette Digital-Übertragungsstrecke darzustellen. Abbildung 6.1 zeigt die Architektur des *DSP21061* und Bild 6.2 das *EZ-Kit lite*.

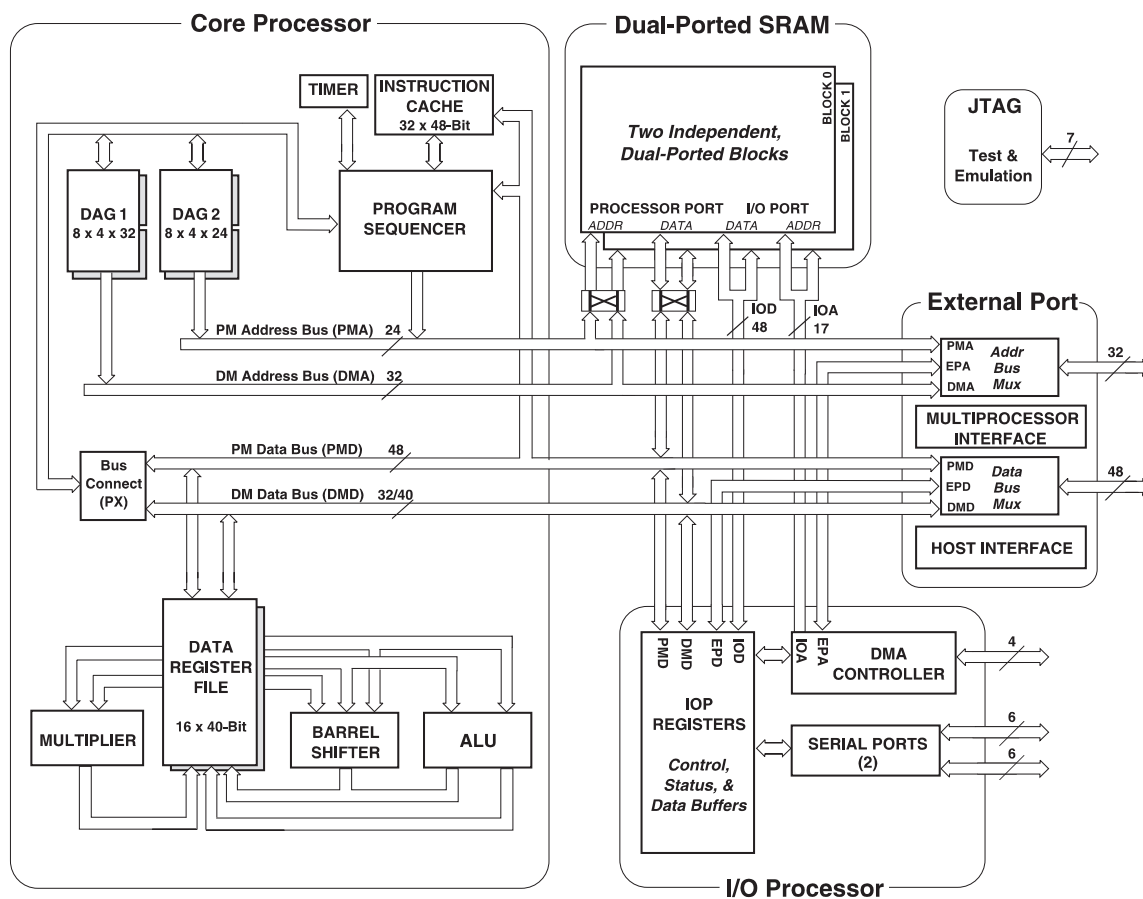


Abbildung 6.1: Schematischer Aufbau des ADSP 21061.

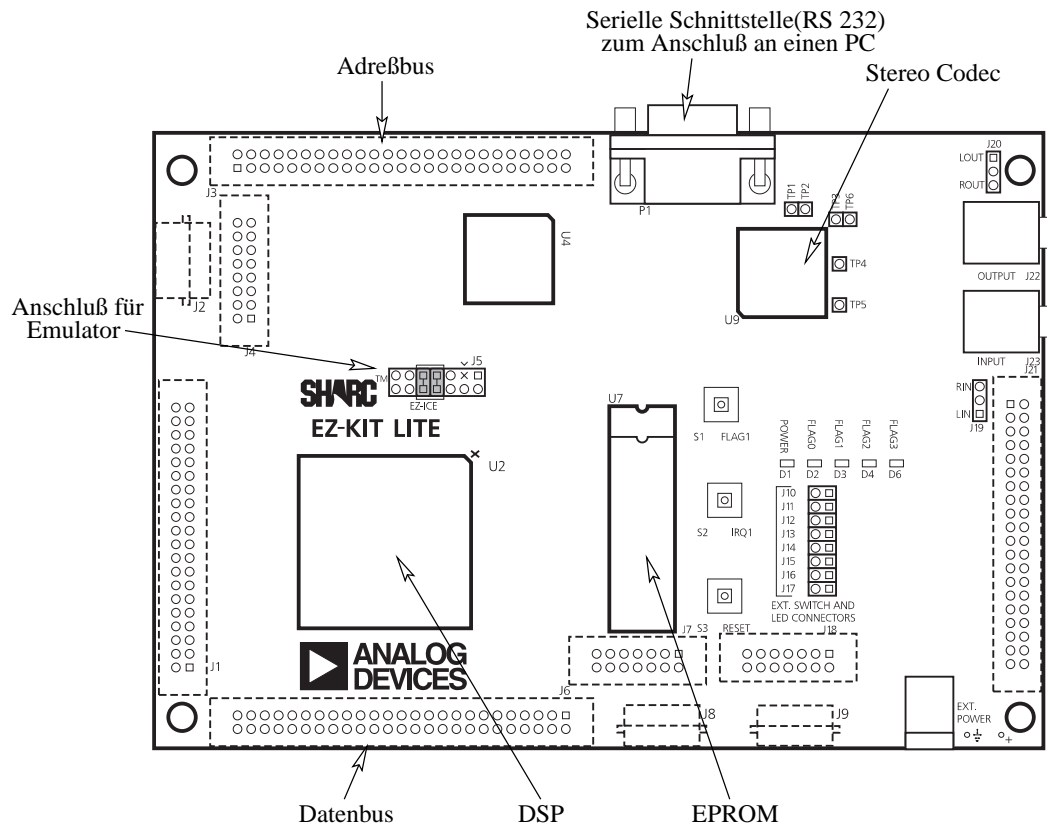


Abbildung 6.2: Layout EZ-KIT Lite.

Für weitergehende Informationen sei an dieser Stelle auf [1] [2] verwiesen.

6.2 AD-Wandler

Wie schon erwähnt, kommen in dem Praktikumsaufbau zwei 12-bit A/D-Wandler zum Einsatz. Diese konnten aber bisher nicht in Betrieb genommen werden, da der Wandler Störungen auf dem Datenbus verursachte.

6.2.1 Fehlersuche

Bei der Überprüfung von Schaltung und Layout des AD-Wandlers wurden folgende Fehler bzw. Verbesserungsmöglichkeiten gefunden:

- Wandler stört das Datenbussignal
- Beim Verbinden eines DA-Ausgangs mit dem AD-Eingang bricht die Spannung ein
- Der AD-Wandlerbaustein AD9221 benötigt eine CLK-Time von min. 360 ns. (Monoflopschaltung erforderlich)
- Das gewandelte Signal erscheint genau invertiert am Ausgang
- Der bisherige Operationsverstärker schafft nicht den erforderlichen Eingangsspannungsbereich von 0 - 5V für den AD-Wandler

- Timingproblem bei Erzeugung des RD (read)- und WR (write)-Signals zur Ansteuerung der Wandler.

6.2.2 Fehlerbehebung

Da die einzig vorhandene bestückte Platine in einem schlechten Zustand war, konnte die Ursache der Datenbusstörung zunächst nicht genauer lokalisiert werden und wurde zurückgestellt. Das Problem des Spannungseinbruchs lag an einem 50Ω Widerstand am Eingang der Schaltung. Der Fehler konnte mit Entfernen dieses Widerstandes behoben werden.

Der bisherige AD-Wandlerbaustein AD9221 benötigt laut Datenblatt eine Pulsdauer am Clk-Eingang von min. 330 ns. Das aus den RD-, WR- und Adreßsignalen (Lese- und Schreibvorgang) des EZ-Kit Lite erzeugte *Chipselect* Signal ist aber nur etwa 100 ns lang. Daher wurde ein Timerbaustein auf der Schaltung integriert, der dieses Signal auf ca. 500ns verlängert.

Der AD-Wandler AD9220 der gleichen Baureihe benötigt aber laut Datenblatt nur 45 ns Pulsdauer am Clk-Eingang. Daher wurde in der modifizierten AD-Wandlerschaltung der AD9221 gegen den AD9220 ausgetauscht. Damit kann jetzt auch die komplette Timerschaltung entfallen.

Desweiteren wurde festgestellt, daß das Signal am Ausgang der Schaltung invertiert erscheint. Bei max. Eingangsspannung (+5V) am AD9221 waren die Bits am Ausgang alle auf Null und umgekehrt bei min. Eingangsspannung (0V) waren alle Bits eins. Ursache dafür war, daß der Operationsverstärker zur Anpassung des Spannungspegels der DA-Wandler ($\pm 2,5V$) auf den Eingangsbereich des AD9221 (0 - 5V), als invertierender Verstärker geschaltet ist. Einfache Abhilfe schafft das Vertauschen der Analogeingänge *VINA* und *VINB*.

Der dazu eingesetzte Operationsverstärker hatte aber den Nachteil, daß seine max. Ausgangsspannung (bei $\pm 5V$ Versorgungsspannung) nicht ausreicht, um den Eingangsspannungsbereich von 0- 5V des AD922x zu gewährleisten. Das Diagramm 6.3 zeigt unter anderem auch den starken Spannungseinbruch bei Frequenzen höher ca. 80 kHz.

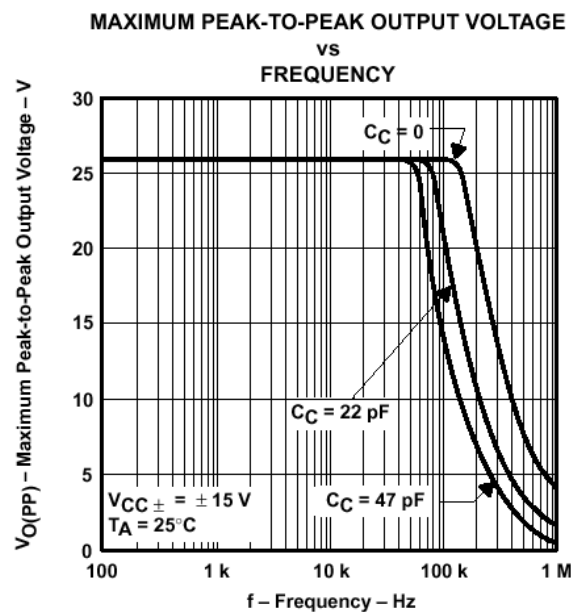


Abbildung 6.3: OPV NE5534

Anstelle des Ne5534 wurde in der neuen Schaltung ein *Rail-to-Rail*-Operationsverstärker von Analog Devices eingesetzt. Diese OPV haben die Eigenschaft, nahezu die Versorgungsspannung an den Ausgang zu bringen, wie der Datenblattauszug zeigt.

OUTPUT CHARACTERISTICS			
Output Voltage Swing	$R_L = 10\text{ k}$ to 2.5 V	0.03 to 4.97	V
	$R_L = 1\text{ k}$ to 2.5 V	0.05 to 4.95	V

Abbildung 6.4: Auszug aus Datenblatt AD8042 (Versorgungsspannung +5V)

Da sich in einem Dip8-Gehäuse zwei AD8042 befinden, ergibt sich als weiterer Vorteil, daß auf der Platine ein 8-poliger Sockel entfällt, der vorher nötig war, da es den NE5534 nur als *Single*– und nicht als *Dual*-Typ gibt (es werden zwei OPV pro Platine benötigt).

Letztendlich existiert noch ein Timingproblem bei der Ansteuerung der AD-Wandlerplatine und zwar im Zusammenhang mit dem RD- bzw. WD-Signal des EZ-Kit lite und dem Chipselektsignal der einzelnen Platinen. Dieses Problem trat schon in der vorherigen Diplomarbeit [2] auf, jedoch im Zusammenhang mit den DA-Wandlern. Bei den DA-Wandlern ist es so, daß eine gewisse Zeit **bevor** der DA-Wandler ein CS-Signal erhält, um die Daten zu wandeln, diese Daten durch ein WD-Signal auf den Bus gelegt werden müssen. Dieses Timing wurde daraufhin auch so eingestellt.

Nun verhält es sich bei den AD-Wandlern bzgl. des Timings genau umgekehrt. Hier muß zuerst der Wandler durch ein CS-Signal aufgefordert werden, die analoge Spannung zu wandeln. Erst dann darf ein RD-Signal folgen, um diese Daten in den Speicher zu lesen. Da aber sowohl RD- als auch WR-Signale durch die gleiche Schaltung erzeugt werden, existiert kein unterschiedliches Timing für DA- bzw. AD-Wandler. Die Folge ist, daß der zuerst eingelesene Wert bei einer AD-Wandlung nicht korrekt ist. Dieser ist der letzte, vor Beginn der Wandlung, auf dem Datenbus anliegende binäre Wert.

Dieses Problem wurde nun hardwaretechnisch nicht behoben, da eine Layoutänderung der Hauptplatine nötig gewesen wäre. Dieses muß auf der Softwareseite berücksichtigt werden.

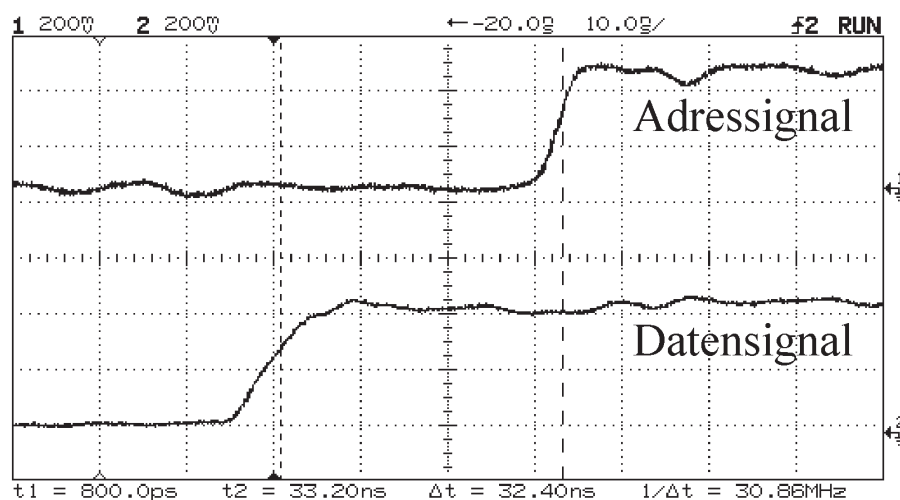


Abbildung 6.5: Timing (richtig für DA-, falsch für AD-Wandler)

Nach abgeschlossener Fehlersuche wurde der Wandler zu Testzwecken zunächst auf Lochraster aufgebaut. Nachdem dieser Test erfolgreich verlaufen ist, wurden die nötigen Layoutände-

nungen vorgenommen.

Die vorgenommenen Änderungen in der AD-Schaltung sind in Bild 6.6 zu sehen.

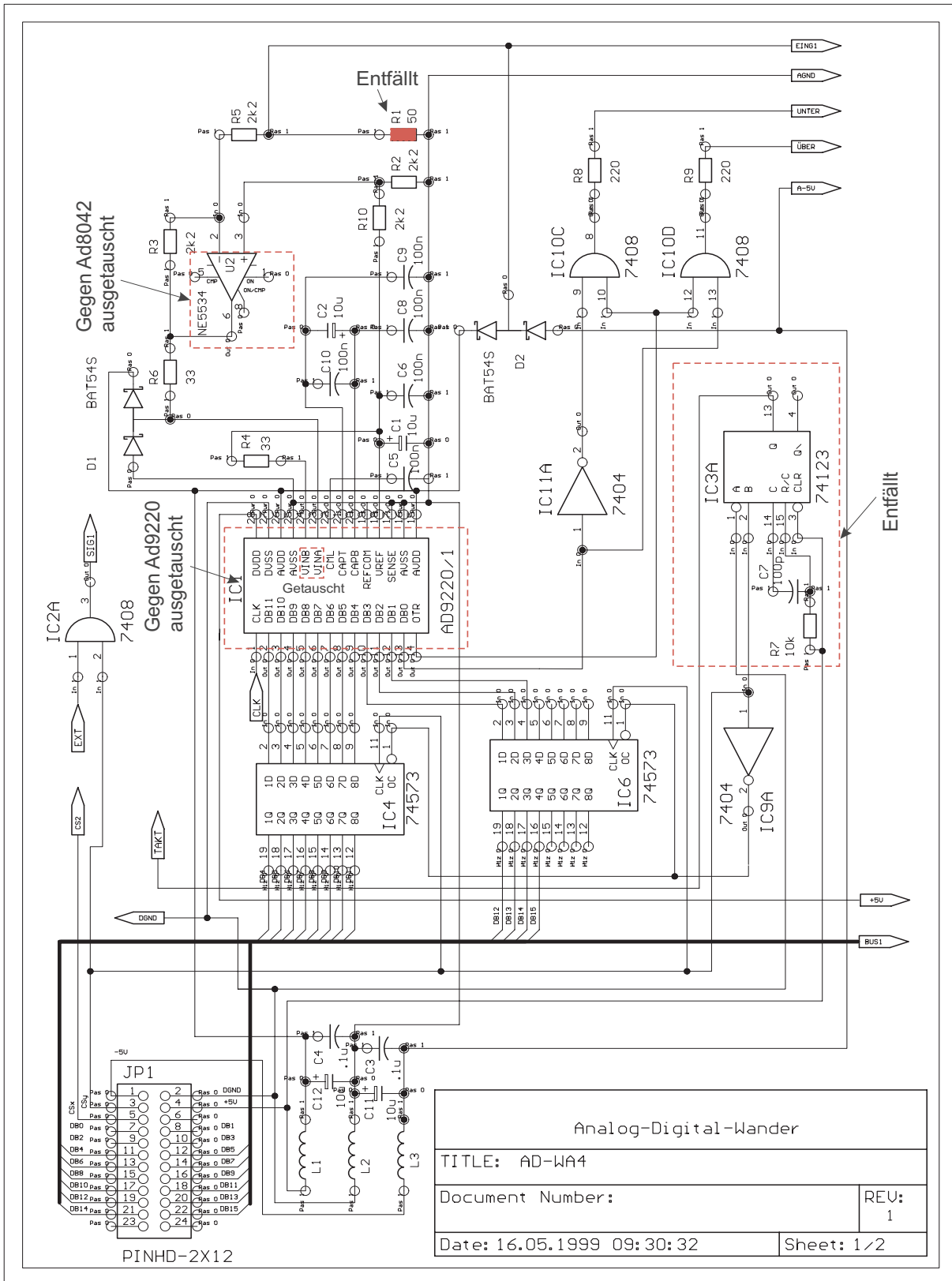


Abbildung 6.6: Schaltplan AD-Wandler mit Änderungen

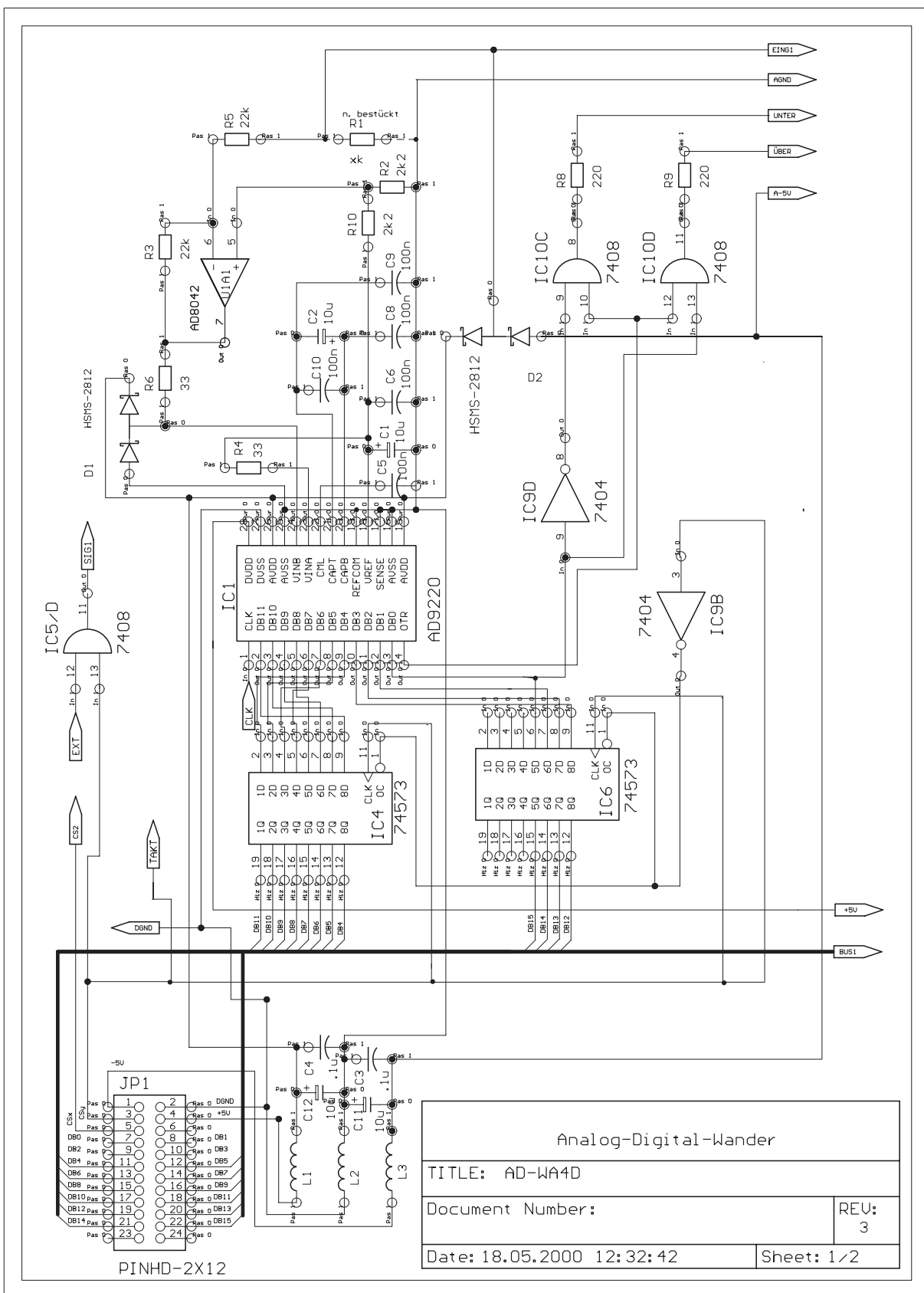


Abbildung 6.7: Schaltplan AD-Wandler

6.3 Software

Als Software kommt hier das Entwicklungstool *Visual-DSP* von *Analog Devices* zum Einsatz. Es beinhaltet einen Editor, einen Compiler und einen Debugger.

Die Programme können mit dieser Entwicklungsumgebung sehr komfortabel bearbeitet und in den DSP geladen werden. Da dieses Tool im Praktikum nicht zur Verfügung steht, müssen die Programme noch mit dem Compiler des *EZ-Kit lite* übersetzt und mit dem Programm *Win95Downloader* in den DSP geladen werden.

Weitergehende Informationen zur Software findet man unter [2].

Literatur

- [1] *Diplomarbeit Jens Berger.*
Inbetriebnahme und Anpassung eines Evaluation-Kit mit Gleitkomma DSP für den Einsatz im Praktikum.
Fachhochschule Köln 1999

- [2] *Diplomarbeit Stefan Lütz.*
Inbetriebnahme und Programmierung eines DSP-basierten Praktikumsaufbau
Fachhochschule Köln 2000

- [3] *John G. Proakis.*
Digital communications. McGraw-Hill, New York

- [4] *J.P. Morton.*
Adaptive Equalization for Indoor Channels. <http://scholar.lib.vt.edu/theses/available/etd-7798-135711/>

- [5] *Simon Haykin.*
Digital communication. Wiley, New York

- [6] *K.D. Kammeyer.*
Nachrichtenübertragung. B.G. Teubner, Stuttgart

A m.-files

A.1 mse.m

```

1  %%%%%%%%%%%%%%%%%%%%%%%%%%%%%%%%%%%%%%%%%%%%%%%%%%%%%%%%%%%%%%%%%%%%%%%%%
% Funktion a=mse(k,kan,SN);
%
% Zeigt einen Ersatzkanal, dessen Spektrum und die Channel-overall-response
% (Kanal+Equalizer). Es werden die Koeffizienten eines linearen MSE-Equalizers
% berechnet.
%
% Es stehen vier Kanäle zur Auswahl, welche
% unterschiedliche Amplitudenspektren aufweisen.
10 %
% Input Parameter: k - Auswahl des Kanals (0-4; 0= eigener Kanal)
%                  kan - eigener Kanal sonst 0
%                  SN - S/N-Ratio (0-35 dB)
% Ausgabe: a=Koeffizienten des Entzerrers
%          Im Matlab-Kommando-Fenster wird die Bitfehlerrate für 1*10^4 Bits
%          angezeigt.
%          Abbildung zeigt ISI-Kanal, Amplitudenspektrum und COR.
%%%%%%%%%%%%%%%%%%%%%%%%%%%%%%%%%%%%%%%%%%%%%%%%%%%%%%%%%%%%%%%%%%%%%%%%

20 function copt = mse(k,kan,SN)

    echo off

    SNR=SN;

    N=10000;
    for g=1:N % Erzeugung einer Infosequenz mit 1 bzw. -1
        if(rand<0.5),
30             info(g)=-1;
            else
                info(g)=1;
            end;
        end;
    end;

    % verschiedene Kanalmodelle
    if(k==0)
40         f=kan;
            elseif(k==1)
                % ISI-Kanal aus Matlab S.270
                f=[.05 -.063 .088 -.126 -.25 .9047 .25 0 .126 .038 .088];
            elseif(k==2)
                f=[.04 -.05 .07 -.21 -.5 .72 .36 0 .21 .03 .07];%ISI-Kanäle aus Proakis S. 616
            elseif(k==3)
                f=[.227 .460 .688 .460 .227];%Proakis
            else
50                 f=[.407 .815 .407];%Proakis
            end

    %Berechnung von Copt
    % Aus diesen Werten wird die Matrix T(lj) erstellt (Autocorrelationfunktion)
    x=xcorr(f);
    x=x/x((length(x)+1)/2);% x(0)=1;

    d=length(f);%Erstellung der Matrix Xlj
    r=d-1;
60    m=zeros(length(f),length(f));
        for i=1:d
            r=r+1;
            a=r;
            for l=1:d
                m(i,l)=x(a);
                if(i==1)

```

```

        m(i,1)=m(i,1)+10^(-SNR/10); %Auf Hauptdiagonalen wird N0 addiert
    end
    a=a-1;
70   end
    end
    fl=fliplr(conj(f));% Vektor f*(L)-f*(0)
    copt=inv(m)*fl. '; %Berechnete Koeffizienten

    eq=conv(f,copt);% Channel-overall-response für Koeffizienten aus Berechnung

    %Erzeugung von gestörten Daten
80   data1=conv(info,f);
    var=0.5*10^(-SNR/10);
    AWG1=randn(1,size(data1,2))*sqrt(var);
    AWG2=AWG1;
    AWG=AWG1+j*AWG2;
    data=data1+AWG;

    %Bestimmung von I(k)=summe [c(j)*v(k-j)] j=-K...K (Proakis Seite 602)
    for k=1:length(info)
        v1=fliplr(data(1,k:(k+length(copt)-1))); %Sequenz v(k-j)
90     I1(k)=copt.'*v1. ';
    end

    err=0;
    for i=1:length(I1)
        if real(I1(i))>=0
            bit(i)=1;
            if(bit(i)~=info(i))
                err=err+1;
100        end
        else
            bit(i)=-1;
            if(bit(i)~=info(i))
                err=err+1;
            end
        end
    end

    Bitfehler=err
110

    %Frequenzantwort des Kanals
    [G_T,W]=freqz(f,1);
    G_t=20*log10(abs(G_T)/max(abs(G_T)));

    subplot(2,2,3)
    stem(abs(eq))
    title('Channel-overall-response')
120   subplot(2,2,2)
    plot(W,G_t)
    axis([0 pi -30 0])
    ylabel('Amplitude (dB)')
    xlabel('Frequency \omega')
    title('Amplitudenspektrum')
    subplot(2,2,1)
    stem(real(f))
    title('ISI-Kanal')
130   set(1,'Name','Übersicht')

```

A.2 dfe.m

```

1  %%%%%%%%%%%%%%%%%%%%%%%%%%%%%%%%%%%%%%%%%%%%%%%%%%%%%%%%%%%%%%%%%%%%%%%%%
% Funktion [a,b]=dfe(k,kan,SN);
%
% Zeigt für einen Ersatzkanal die Signale vor dem Equalizer, nach dem FF-Filter
% und nach dem Summierer. Es werden die Koeffizienten der Filter (FF- und FB-Filter)
% berechnet.
%
% Es stehen vier Kanäle zur Auswahl, welche unterschiedliche Amplitudenspektren
% aufweisen.
10 %
% Input Parameter: k - Auswahl des Kanals (0-4; 0 = eigener Kanal)
%                 kan - eigener Kanal sonst 0
%                 SN - S/N-Ratio (0-35 dB)
% Ausgabe: a=Koeffizienten des FF-Filters
%          b=Koeffizientem des FB-Filters
%          Im Matlab-Kommando-Fenster wird die Bitfehlerrate für 1*10^4 Bits
%          angezeigt.
%
% %%%%%%%%%%%%%%%%%%%%%%%%%%%%%%%%%%%%%%%%%%%%%%%%%%%%%%%%%%%%%%%%%%%%%%%%%
20 %

function [cDFE,bDFE] = dfe(k,kan,SN);

echo off
%verschiedene Ersatzkanalmodelle
if(k==0)
    f=kan;
elseif(k==1)
    % ISI-Kanal aus Matlab S.270
30    f=[.05 -.063 .088 -.126 -.25 .9047 .25 0 .126 .038 .088];
elseif(k==2)
    f=[.04 -.05 .07 -.21 -.5 .72 .36 0 .21 .03 .07];%ISI-Kanal aus Proakis
elseif(k==3)
    f=[.227 .460 .688 .460 .227];
elseif(k==4)
    f=[.407 .815 .407];
end

L=length(f);
40 K1=L-1; %K1+1=Anzahl der FF-Koeffizienten
K2=L-1; %K2=Anzahl FB-Koeffizienten
SNRdfe=SN;
err=0;

N=10000;
for g=1:N % Erzeugung einer Infosequenz mit 1 bzw. -1
    if(rand<0.5),
        info(g)=-1;
    else
50        info(g)=1;
    end;
end;

%Berechnung der Koeffizienten
%Bestimmung der psi-matrix
psi = zeros(K1+1,K1+1);
for k=-K1:0
    for jo=-K1:0
        for i=0:-k
60            if ( ((i+1+k-jo)>0) & ((i+1+k-jo)<L+1) & (i<L))
                psi(k+K1+1,jo+K1+1)=psi(k+K1+1,jo+K1+1)+(conj(f(i+1))*f(i+1+k-jo))
            end
        end
    end
end

for k=-K1:0
    psi(k+K1+1,k+K1+1) = psi(k+K1+1,k+K1+1) + 10^(-SNRdfe/10);
70 end
end

```

```

%Koeffizienten des FF-Filters
cDFE = (psi \ fliplr(f(1:K1+1))').';

%Koeffizienten des FB-Filters
bDFE=zeros(1,K2);
for k = 1:K2
    for jo=-K1:0
        if( (k-jo+1) <= L )
            bDFE(k) = bDFE(k) - cDFE(jo+K1+1) * f(k-jo+1);
80         end
    end
end

%gestörte Datensequenz
data1=conv(info,f);
var=0.5*10^(-SNRdfe/10);
AWG1=randn(1,size(data1,2))*sqrt(var);
AWG2=AWG1;
AWG=AWG1+j*AWG2;
90 v=data1+AWG;

fff = zeros(1,L);
fbf = zeros(1,L-1);

for i = 1:length(info)

    %nach FF-Filter
    fff = fliplr(v(1,i:(i+K1)));
100 I1(i)=sum(cDFE.*fff);

    %nach FB-Filter
    I2(i)=sum(bDFE.*fbf);

    % Summe von FF + FB
    d_hat(i)=I1(i)+I2(i);

    %Bitentscheidung
    if real(d_hat(i)) >=0
110     d_bar(i) = 1;
        if(d_bar(i)~=info(i))
            err=err+1;
        end
    else
        d_bar(i) = -1;
        if(d_bar(i)~=info(i))
            err=err+1;
        end
    end
end
120

% Anpassen des FB_Filters
fbf(1,2:K2)=fbf(1,1:(K2-1));
fbf(1,1)=d_bar(i) ;

end

%Ausgabe Bitfehler
Bitfehler=err

130 %Grafiken
t=conv(1,f);%Signal vor Equalizer
p=conv(t,cDFE);%Signal nach FF-Filter
pl=p;
r=conv(1,bDFE);%Signal nach FB-Filter

%Signal nach Addition
for i=1:length(r)
    p(length(f)+i)=p(length(f)+i)+r(i);
end
140 subplot(2,2,1)
stem(real(t))

```

```
title('vor Equalizer')
subplot(2,2,2)
stem(real(p1))
title('nach FF-Filter')
subplot(2,2,3)
stem(real(p))
title('nach Addition')
150 set(1,'Name','Koeffizienten berechnet')
```

A.3 kanalmodell.m

```

1  %%%%%%%%%%%%%%%%%%%%%%%%%%%%%%%%%%%%%%%%%%%%%%%%%%%%%%%%%%%%%%%%%%%%%%%%%
%
% Funktion [a,b,c,d]=kanalmodell;
%
% Das Programm dient zur Ermittlung von Filterkoeffizienten.
% Es werden die Koeffizienten des Sendefilters 'tran' (root raised cosine), des
% Filters aus der Zusammenfassung aus Sneder und Kanal (sendekan), des
% Matchedfilters 'mf' und des Ersatzkanalmodells 'Kanal' (Sender+Kanal+MF)
% ausgegeben. Es wird mit einer achtfachen Überabtastung gearbeitet.
10 % Das Downsampeln der Gesamtimpulsantwort zur Ermittlung der Ersatzfilter-
% koeffizienten richtet sich nach der max. Signalenergie, die erreicht werden kann.
%
% Ausgabe: a=Koeffizienten Sendefilter
%          b=      "      Sendefilter+Kanal
%          c=      "      Matchedfilter
%          d=      "      Ersatzkanalmodell
%
%          Grafiken zeigen das Sendefilter, Sendefilter+Kanal+MF,
%          Ersatzkanalmodell und dessen Amplitudenspektrum.
20 %
%%%%%%%%%%%%%%%%%%%%%%%%%%%%%%%%%%%%%%%%%%%%%%%%%%%%%%%%%%%%%%%%%%%%%%%%

function [tran,sendekan,mf,kanal]=kanalmodell()

%Ermittlung des Übertragungskanal
%Fetsichan(taps,delay_spread/ns,1,fs/MHz)
%Störung über zwei Symbole-> ~16 Taps; taps=7*delay_spread/Ts -> Ts=1/fs=20ns
%-> taps~17
30 kan=Fetsichan(16,50,1,50);

%Transmitter
% achtfache Überabtastung bedeutet 8 Koeffizienten zwischen 0 und T
% -> Schrittweite 0.125
t=-5:0.125:5;
tran=rrcn(0.5,t)      ; %Transmitterfilter Root-Raised-Cosine (Stefan Lütz)

sendekan=conv(tran,kan);%Faltung Transmitterfilter und Kanal
z1=conj(sendekan);% z*
40 mf=fliplr(z1);%z*(-t) Matchedfilter
f=conv(sendekan,mf); % Faltung Matchedfilter-(Transmitter+Kanal)
f=f/max(abs(f));

%%%      Gewinnung der Koeffizienten f(k) des Ersatzkanalmodells %%%

%Abtasten 8-fach Oversampling -> jeder achte Wert

e=zeros(1,length(f));%max. Energie der Impulsantwort finden
for a=1:length(f)
50   for i=a:8:(length(f)) %1,9,17..Abtastwert; 2,10,18..Abtastwert usw.
       e(a)=e(a)+(abs(f(i))^2); %Energie
     end
     a=a+1;
end

r=max(e);%max. Energie

for i=1:length(e);
   if(e(i)==r)
60     k=i;% erster Abtastwert
       if(k>8)
           k=k-8;
       end
     end
end

d=fix((length(f)-k)/8);
kanal=zeros(1,d+1);
70 g=1;

```

```
for i=k:8:length(f) %Abtastung der Kanalimpulsantwort mit k*T
    kanal(g)=f(i); %Ersatzfiltermodell!!!
    g=g+1;
end

%Frequenzantwort des Kanals
[G_T,W]=freqz(kanal,1);
80 G_t=20*log10(abs(G_T)/max(abs(G_T)));

subplot(2,2,1)
stem(t,tran)
title('Sendefilter')
subplot(2,2,4)
stem(real(kanal))
title('Ersatzfilter')
subplot(2,2,2)
90 stem(abs(kan))
title('Kanal')
subplot(2,2,3)
stem(real(f))
title('Transmitter+Kanal+Matchedfilter')

figure(2)
plot(W,G_t)
axis([0 pi -30 0])
ylabel('Amplitude (dB)')
xlabel('Frequency \omega')
100 title('Amplitudenspektrum Ersatzkanal')
```

A.4 msetest.m

```

1  %%%%%%%%%%%%%%%%%%%%%%%%%%%%%%%%%%%%%%%%%%%%%%%%%%%%%%%%%%%%%%%%%%%%%%%%%
% Funktion msetest(k1,kan1,kan2,N);
%
% Zeigt für einen Kanal die Bitfehlerwahrscheinlichkeit
% in Abhängigkeit vom S/N-Verhältnis. Es stehen vier Kanäle zur Auswahl, welche
% unterschiedliche Amplitudenspektren aufweisen.
%
% Input Parameter: k1 - Auswahl des Kanäle (0-4; 0 = eigener Kanal)
%                  kan1,kan2 - eigene Kanäle
10 %                  N - Länge der Testsequenz (min. 10000, max. 30000)
%                   (größere Werte verlangen zu viel Rechenzeit)
% Ausgabe: Im Matlab-Kommando-Fenster werden jeweils die aktuellen S/N-Werte
%          und die Bitfehlerrate angezeigt.
%          Die Grafiken zeigen den Ersatzkanal, dessen Amplitudenspektrum,
%          ein entzerrtes Bit und die Bitfehlerrate.
%%%%%%%%%%%%%%%%%%%%%%%%%%%%%%%%%%%%%%%%%%%%%%%%%%%%%%%%%%%%%%%%%%%%%%%%

20 function mse = msetest(k1,kan1,kan2,N);
echo off

N1=N;
for g=1:N1 % Erzeugung einer Infosequenz mit 1 bzw. -1
    if(rand<0.5),
        info(g)=-1;
    else
        info(g)=1;
30 end
end

%erster Kanal

% verschiedene Kanalmodelle
if(k1==0)
    f=kan1;
    SN1=[3 5 7 9 10 12 15 18 20 22 25 27 30 33 ];
elseif(k1==1)
40 % ISI-Kanal aus Matlab S.270
    f=[.05 -.063 .088 -.126 -.25 .9047 .25 0 .126 .038 .088];
    SN1=[4 5 6 7 8 9 10 11];
elseif(k1==2)
    %ISI-Kanäle aus Proakis S. 616
    f=[.04 -.05 .07 -.21 -.5 .72 .36 0 .21 .03 .07];
    SN1=[5 6 7 8 9 10 11];
elseif(k1==3)
50 f=[.227 .460 .688 .460 .227];%Proakis
    SN1=[10 12 15 18 20 22 25 27 30 33 ];
else
    f=[.407 .815 .407];%Proakis
    SN1=[10 12 15 18 20 22 25 27 30 33 ];
end

%Berechnung von Copt
% Aus diesen Werten wird die Matrix T(lj) erstellt (Autocorrelationfunktion)
x=xcorr(f);
x=x/x((length(x)+1)/2);% x(0)=1;

60 fehler=zeros(1,length(SN1));

for h=1:length(SN1)%Berechnung der Bitfehlerraten
    err1=0;

    %Berechnung der Equalizerkoeffizienten
    d=length(f);%Erstellung der Matrix Xlj
    r=d-1;
70 m=zeros(length(f),length(f));

```

```

    for i=1:d
        r=r+1;
        a=r;
        for l=1:d
            m(i,l)=x(a);
            if(i==1)
                m(i,l)=m(i,l)+10^(-SN1(h)/10); %Auf Hauptdiagonalen wird N0 addiert
            end
            a=a-1;
80         end
        end

    fl=fliplr(conj(f)); % Vektor f*(L)-f*(0)
    copt=inv(m)*fl.'; %Berechnete Koeffizienten

    eq1=conv(1,f);
    eq=conv(eq1,copt); % Channel-overall-response für Koeffizienten aus Berechnung

90
    datal=conv(info,f); %Erzeugung von gestörten Daten
    var=0.5*10^(-SN1(h)/10);
    AWG1=randn(1,size(datal,2))*sqrt(var);
    AWG2=AWG1;
    AWG=AWG1+j*AWG2;
    data=datal+AWG;

    %Berechnung Equalizerausgang
    for k=1:length(info) %Bestimmung von I(k)=summe [c(j)*v(k-j)] j=-K...K
100     v1=fliplr(data(1,k:(k+length(copt)-1))); %Sequenz v(k-j)
        I1(k)=copt.'*v1.';
    end

    %Bitentscheidung
    for i=1:length(I1)
        if real(I1(i))>=0
            bit(i)=1;
            if(bit(i)~=info(i))
110                 err1=err1+1;
            end
        else
            bit(i)=-1;
            if(bit(i)~=info(i))
                err1=err1+1;
            end
        end
    end
end

120 fehler(h)=err1/N1;
    aktSN=SN1(h)
    Bitfehler=fehler(h)

end

    Bitfehler=fehler

    %Frequenzantwort des Kanals
    [G_T,W]=freqz(f,1);
130 G_t=20*log10(abs(G_T)/max(abs(G_T)));

    %Grafik
    subplot(2,2,3)
    stem(real(eq))
    title('Entzerrtes Bit')
    subplot(2,2,2)
    plot(W,G_t)
    axis([0 pi -30 0])
    ylabel('Amplitude (dB)')
140 xlabel('Frequency \omega')
    title('Amplitudenspektrum')
    subplot(2,2,1)

```

```

stem(real(f))
title('ISI-Kanal')
subplot(2,2,4)
semilogy(SN1,fehler)
axis([0 35 0.0001 0.2])
xlabel('SN')
ylabel('Bit-Fehlerwahrscheinlichkeit')
150 set(1,'Name','Kanal 1')

%zweiter Kanal

% verschiedene Kanalmodelle
if(kl==0 & kan2~=0)
    f=kan2;
    SN=[3 5 7 9 10 12 15 18 20 22 25 27 30 33 ];
160

%Berechnung von Copt
% Aus diesen Werten wird die Matrix T(lj) erstellt (Autocorrelationfunktion)
x=xcorr(f);
x=x/x((length(x)+1)/2);% x(0)=1;

fehler1=zeros(1,length(SN));

for h=1:length(SN)%Berechnung der Bitfehlerraten
170 err1=0;

%Berechnung der Equalizerkoeffizienten
d=length(f);%Erstellung der Matrix Xlj
r=d-1;
m=zeros(length(f),length(f));
for i=1:d
    r=r+1;
    a=r;
    for l=1:d
180 m(i,l)=x(a);
        if(i==1)
            m(i,l)=m(i,l)+10^(-SN(h)/10); %Auf Hauptdiagonalen wird N0 addiert
        end
        a=a-1;
    end
end

f1=fliplr(conj(f));% Vektor f*(L)-f*(0)
copt=inv(m)*f1.';%Berechnete Koeffizienten
190

eq1=conv(1,f);
eq=conv(eq1,copt);% Channel-overall-response für Koeffizienten aus Berechnung

datal=conv(info,f);%gestörte Datensequenz
var=0.5*10^(-SN(h)/10);
AWG1=randn(1,size(datal,2))*sqrt(var);
AWG2=AWG1;
AWG=AWG1+j*AWG2;%Rauschen
200 data=datal+AWG;

%Berechnung Equalizerausgang
for k=1:length(info) %Bestimmung von I(k)=summe [c(j)*v(k-j)] j=-K...K
    v1=fliplr(data(1,k:(k+length(copt)-1))); %Sequenz v(k-j)
    I1(k)=copt.*v1.';
end

210 %Bitentscheidung
for i=1:length(I1)
    if real(I1(i))>=0
        bit(i)=1;
    end
end

```

```

                if(bit(i)~=info(i))
                    errl=errl+1;
                end
            else
                bit(i)=-1;
220         if(bit(i)~=info(i))
                    errl=errl+1;
                end
            end
        end
    end

    fehlerl(h)=fehlerl(h)+errl/Nl;
    aktSN=SN(h)
    Bitfehlerl=fehlerl(h)

230 end

    errorl=fehlerl

    %Frequenzantwort des Kanals
    [G_T,W]=freqz(f,1);
    G_t=20*log10(abs(G_T)/max(abs(G_T)));

    %Grafik
    figure(2)
240 subplot(2,2,3)
        stem(abs(eq))
        title('Entzerrtes Bit')
        subplot(2,2,2)
        plot(W,G_t)
        axis([0 pi -30 0])
        ylabel('Amplitude (dB)')
        xlabel('Frequency \omega')
        title('Amplitudenspektrum')
        subplot(2,2,1)
250 stem(real(f))
        title('ISI-Kanal')
        subplot(2,2,4)
        semilogy(SN,fehlerl,SN1,fehler)
        axis([0 35 0.0001 0.2])
        xlabel('SN')
        ylabel('Bit-Fehlerwahrscheinlichkeit')
        legend('Kanal(2)', 'Kanal(1)')
        set(2,'Name','Kanal 2')

260 end

```

A.5 dfetest.m

```

1  %%%%%%%%%%%%%%%%%%%%%%%%%%%%%%%%%%%%%%%%%%%%%%%%%%%%%%%%%%%%%%%%%%%%%%%%%
%
% Funktion  dfetest(kl,kan1,kan2,N);
%
% Zeigt für einen Kanal die Bitfehlerwahrscheinlichkeit
% in Abhängigkeit von S/N-Verhältnis. Es stehen vier Kanäle zur Auswahl, welche
% unterschiedliche Amplitudenspektren aufweisen.
%
% Input Parameter: kl,k2 - Auswahl des Kanäle (0-5; 0 = eigener Kanal)
10 %          kan - eigener Kanal sonst 0
%          N - Länge der Testsequenz (min. 10000, max. 30000)
%          (größere Werte verlangen zu viel Rechenzeit)
% Ausgabe: Im Matlab-Kommando-Fenster werden jeweils die aktuellen S/N-Werte
%          und die Bitfehlerrate angezeigt.
%          Die Grafiken zeigen das Signal vor dem Equalizer, nach FF-Filter
%          und nach der Additionsstelle und die Bitfehlerrate.
%%%%%%%%%%%%%%%%%%%%%%%%%%%%%%%%%%%%%%%%%%%%%%%%%%%%%%%%%%%%%%%%%%%%%%%%

20
function dfe = dfetest(kl,kan1,kan2,N);

echo off

N1=N;
for g=1:N1 % Erzeugung einer Infosequenz mit 1 bzw. -1
30     if(rand<0.5),
        info(g)=-1;
        else
            info(g)=1;
        end
    end

%erster Kanal

% verschiedene Kanalmodelle
40     if(kl==0)
        f=kan1;
        SN=[4 5 6 7 8 9 10 12 14 16 18 20];
    elseif(kl==1)
        % ISI-Kanal aus Matlab S.270
        f=[.05 -.063 .088 -.126 -.25 .9047 .25 0 .126 .038 .088];
        SN=[4 5 5.5 6 7 8 10 ];
    elseif(kl==2)
        f=[.04 -.05 .07 -.21 -.5 .72 .36 0 .21 .03 .07];%ISI-Kanäle aus Proakis S. 616
        SN=[4 5 5.5 6 7 8 10 ];
50     elseif(kl==3)
        f=[.227 .460 .688 .460 .227];%Proakis
        SN=[4 6 8 10 12 15 17 20];
    else
        f=[.407 .815 .407];%Proakis
        SN=[4 6 8 10 12 15 17 20 ];
    end

L=length(f);
K1=L-1;
60 K2=L-1;

fehler=zeros(1,length(SN));

for h=1:length(SN)%Berechnung der Bitfehlerraten
    err1=0;

    %Berechnung der Filterkoeffizienten
    %psi-matrix
70     psi = zeros(K1+1,K1+1);

```

```

for k=-K1:0
  for jo=-K1:0
    for i=0:-k
      if ( ((i+1+k-jo)>0) & ((i+1+k-jo)<L+1) & (i<L))
        psi(k+K1+1,jo+K1+1) = psi(k+K1+1,jo+K1+1) + (conj(f(i+1))*f(i+1+k-jo));
      end
    end
  end
end
80
for k=-K1:0
  psi(k+K1+1,k+K1+1) = psi(k+K1+1,k+K1+1) + 10^(-SN(h)/10);
end

%FF-Koeffizienten
cDFE = (psi \ fliplr(f(1:K1+1)))';

%FB Koeffizienten
bDFE=zeros(1,K2);
90
for k = 1:K2
  for jo=-K1:0
    if( (k-jo+1) <= L )
      bDFE(k) = bDFE(k) - cDFE(jo+K1+1) * f(k-jo+1);
    end
  end
end
end

100 data1=conv(info,f); %gestörte Datensequenz
var=0.5*10^(-SN(h)/10);
AWG1=randn(1,size(data1,2))*sqrt(var);
AWG2=AWG1;
AWG=AWG1+j*AWG2;%Rauschen
v=data1+AWG;

%Berechnung Equalizerausgang
110 fff = zeros(1,L);
    fbf = zeros(1,L-1);

    for i = 1:length(info)

        %Nach FF-Filter
        fff = fliplr(v(1,i:(i+K1)));
        I1(i)=sum(cDFE.*fff);

120        %Nach FB-Filter
        I2(i)=sum(bDFE.*fbf);

        %Summe
        d_hat(i)=I1(i)+I2(i);

        %Bitentscheidung
        if real(d_hat(i)) >=0
            d_bar(i) = 1;
            if(d_bar(i)~=info(i))
130                err1=err1+1;
            end
        else
            d_bar(i) = -1;
            if(d_bar(i)~=info(i))
                err1=err1+1;
            end
        end
    end

140    %Anpassung FB-Filter
    fbf(1,2:K2)=fbf(1,1:(K2-1));
    fbf(1,1)=d_bar(i);

```

```

        end

        fehler(h)=err1/N1;

        aktSN=SN(h)
        Bitfehler=fehler(h)

150 end

        SN=SN
        Bitfehler=fehler

        %Frequenzantwort des Kanals
        [G_T,W]=freqz(f,1);
        G_t=20*log10(abs(G_T)/max(abs(G_T)));

160 t=conv(1,f);%gestörtes Bit
        p=conv(t,cDFE);%nach FF-Filter
        pl=p;
        r=conv(1,bDFE);%nach FB-Filter
        %nach Addition
        for i=1:length(r)
            p(length(f)+i)=p(length(f)+i)+r(i);
        end

        subplot(2,2,1)
170 stem(real(t))
        title('vor Equalizer')
        subplot(2,2,2)
        stem(real(pl))
        title('nach FF-Filter')
        subplot(2,2,3)
        stem(real(p))
        title('nach Addition')
        subplot(2,2,4)
        semilogy(SN,fehler)
180 axis([0 35 0.0001 0.5])
        xlabel('SN')
        ylabel('Bit-Fehlerwahrscheinlichkeit')
        set(1,'Name','Kanall1')

        %zweiter Kanal

        % verschiedene Kanalmodelle
        if(k1==0 & kan2~=0)
190     {
            f=kan2;
            SN1=[4 5 6 7 8 9 10 12 14 16 18 20];

            L=length(f);
            K1=L-1;
            K2=L-1;

            fehler2=zeros(1,length(SN1));
200

            for h=1:length(SN1)%Berechnung der Bitfehlerraten
                err1=0;

                %Berechnung der Filterkoeffizienten
                %psi-matrix
                psi = zeros(K1+1,K1+1);
                for k=-K1:0
                    for jo=-K1:0
210                        for i=0:-k
                            if ( ((i+1+k-jo)>0) & ((i+1+k-jo)<L+1) & (i<L))
                                psi(k+K1+1,jo+K1+1) = psi(k+K1+1,jo+K1+1) + (conj(f(i+1)) * f(i+1+k-jo));
                            end
                        end
                    end
                end
            end
        }
    }

```

```

end
end

for k=-K1:0
    psi(k+K1+1,k+K1+1) = psi(k+K1+1,k+K1+1) + 10^(-SN1(h)/10);
220 end

%FF-Koeffizienten
cDFE = (psi \ fliplr(f(1:K1+1)))'.';

%FB-Koeffizienten
bDFE=zeros(1,K2);
for k = 1:K2
    for jo=-K1:0
        if( (k-jo+1) <= L )
230             bDFE(k) = bDFE(k) - cDFE(jo+K1+1) * f(k-jo+1);
        end
    end
end
end

data1=conv(info,f); %gestörte Datensequenz
var=0.5*10^(-SN1(h)/10);
AWG1=randn(1,size(data1,2))*sqrt(var);
240 AWG2=AWG1;
AWG=AWG1+j*AWG2;
v=data1+AWG;

%Berechnung Equalizerausgang
fff = zeros(1,L);
fbf = zeros(1,L-1);

250 for i = 1:length(info)

    %Nach FF-Filter
    fff = fliplr(v(1,i:(i+K1)));
    I1(i)=sum(cDFE.*fff);

    %Nach FB-Filter
    I2(i)=sum(bDFE.*fbf);

260 %Summe
    d_hat(i)=I1(i)+I2(i);

    %Bitentscheidung
    if real(d_hat(i)) >=0
        d_bar(i) = 1;
        if(d_bar(i)~=info(i))
            err1=err1+1;
        end
    else
270         d_bar(i) = -1;
        if(d_bar(i)~=info(i))
            err1=err1+1;
        end
    end

    %Anapassung FB-Filter
    fbf(1,2:K2)=fbf(1,1:(K2-1));
    fbf(1,1)=d_bar(i) ;

280 end

fehler2(h)=err1/N1;
aktSN1=SN1(h)
Bitfehler1=fehler2(h)

end

```

```
    SN2=SN1
    Bitfehler1=fehler2
290 %Frequenzantwort des Kanals
    [G_T,W]=freqz(f,1);
    G_t=20*log10(abs(G_T)/max(abs(G_T)));

    t=conv(1,f);%gestörtes Bit
    p=conv(t,cDFE);%nach FF-Filter
    pl=p;
    r=conv(1,bDFE);%nach FB-Filter
300 %nach Addition
    for i=1:length(r)
        p(length(f)+i)=p(length(f)+i)+r(i);
    end

    figure(2)
    subplot(2,2,1)
    stem(real(t))
    title('vor Equalizer')
    subplot(2,2,2)
310 stem(real(pl))
    title('nach FF-Filter')
    subplot(2,2,3)
    stem(real(p))
    title('nach Addition')
    subplot(2,2,4)
    semilogy(SN,fehler,SN1,fehler2)
    axis([0 35 0.0001 0.5])
    xlabel('SN')
    ylabel('Bit-Fehlerwahrscheinlichkeit')
320 legend('Kanal1','Kanal2')
    set(2,'Name','Kanal2')

end
```

A.6 msedfe.m

```

1  %%%%%%%%%%%%%%%%%%%%%%%%%%%%%%%%%%%%%%%%%%%%%%%%%%%%%%%%%%%%%%%%%%%%%%%%%
% Funktion msedfe(k,kan,N)
%
% Vergleicht für einen Kanal die Bitfehlerwahrscheinlichkeit eines MSE- und DFE-
% Equalizers.
% in Abhängigkeit von S/N-Verhältnis. Es stehen vier Kanäle zur Auswahl, welche
% unterschiedliche Amplitudenspektren aufweisen.
%
% Input Parameter: k - Auswahl des Kanals (0-4; 0 = eigener Kanal)
10 % kan - eigener Kanal sonst 0
% N - Länge der Testsequenz (min. 10000, max. 30000)
% (größere Werte verlangen zu viel Rechenzeit)
%
% Ausgabe: Im Matlab-Kommando-Fenster werden jeweils die aktuellen S/N-Werte und die
% Bitfehlerrate angezeigt.
% In Abbildung 1 wird der DFE-Equalizer, in Abb. 2 der MSE-Equalizer angezeigt.
%
%%%%%%%%%%%%%%%%%%%%%%%%%%%%%%%%%%%%%%%%%%%%%%%%%%%%%%%%%%%%%%%%%%%%%%%%
20
function msedfe(k,kan,N);

echo off

k1=k;

N1=N;
for g=1:N1 % Erzeugung einer Infosequenz mit 1 bzw. -1
30 if(rand<0.5),
info(g)=-1;
else
info(g)=1;
end
end

%DFE-Berechnung

% verschiedene Kanalmodelle
if(k==0)
40 f=kan;
SN1=[4 5 6 7 8 9 10 12 15 17 20 25 30];
elseif(k==1)
% ISI-Kanal aus Matlab S.270
f=[.05 -.063 .088 -.126 -.25 .9047 .25 0 .126 .038 .088];
SN1=[4 4.5 5 5.5 6 6.5 7 7.5 8 8.5 9];
elseif(k==2)
%ISI-Kanäle aus Proakis S. 616
f=[.04 -.05 .07 -.21 -.5 .72 .36 0 .21 .03 .07];
50 SN1=[4 5 6 7 8 9];
elseif(k==3)
f=[.227 .460 .688 .460 .227];%Proakis
SN1=[4 6 8 10 12 15 17 20];
else
f=[.407 .815 .407];%Proakis
70 SN1=[4 6 8 10 12 15 17 20 ];
end

L=length(f);
K1=L-1;
60 K2=L-1;

fehler=zeros(1,length(SN1));

for h=1:length(SN1)%Berechnung Bitfehlerraten
err1=0;

%Berechnung der Filterkoeffizienten(DFE)
%psi-matrix

```

```

psi = zeros(K1+1,K1+1);
for k=-K1:0
    for jo=-K1:0
        for i=0:-k
            if ( ((i+1+k-jo)>0) & ((i+1+k-jo)<L+1) & (i<L))
                psi(k+K1+1,jo+K1+1)=psi(k+K1+1,jo+K1+1)+(conj(f(i+1))*f(i+1+k-jo));
            end
        end
    end
80 end

for k=-K1:0
    psi(k+K1+1,k+K1+1) = psi(k+K1+1,k+K1+1) + 10^(-SN1(h)/10);
end

%FF-Koeffizienten
cDFE = (psi \ fliplr(f(1:K1+1)))'.';

90 %FB-Koeffizienten
bDFE=zeros(1,K2);
for k = 1:K2
    for jo=-K1:0
        if( (k-jo+1) <= L )
            bDFE(k) = bDFE(k) - cDFE(jo+K1+1) * f(k-jo+1);
        end
    end
end

100
data1=conv(info,f); %gestörte Datensequenz
var=0.5*10^(-SN1(h)/10);
AWG1=randn(1,size(data1,2))*sqrt(var);
AWG2=AWG1;
AWG=AWG1+j*AWG2;%Rauschen
v=data1+AWG;

110 %Berechnung Equalizerausgang
fff = zeros(1,L);
fbf = zeros(1,L-1);

for i = 1:length(info)

    %Nach FF-Filter
    fff = fliplr(v(1,i:(i+K1)));
    I1(i)=sum(cDFE.*fff);

120 % Nach FB-Filter
    I2(i)=sum(bDFE.*fbf);

    % Summe FF+FB
    d_hat(i)=I1(i)+I2(i);

    %Bit Entscheidung
    if real(d_hat(i)) >=0
        d_bar(i) = 1;
130     if(d_bar(i)~=info(i))
            err1=err1+1;
        end
    else
        d_bar(i) = -1;
        if(d_bar(i)~=info(i))
            err1=err1+1;
        end
    end
end

140 % Anpassung FB-Filter
fbf(1,2:K2)=fbf(1,1:(K2-1));
fbf(1,1)=d_bar(i) ;

```

```

        end

fehler(h)=err1/N1;

aktSNRDFE=SN1(h)
BitfehlerDFE=fehler(h)
150 end

SNDFE=SN1
BitfehlerDFE=fehler

t=conv(1,f);%gestörtes Bit
p=conv(t,cDFE);%nach FF-Filter
pl=p;
r=conv(1,bDFE);%nach FB-Filter
160 %nach Addition
for i=1:length(r)
    p(length(f)+i)=p(length(f)+i)+r(i);
end

%Grafik
figure(1)
subplot(2,2,1)
stem(real(t))
170 title('vor Equalizer')
subplot(2,2,2)
stem(real(pl))
title('nach FF-Filter')
subplot(2,2,3)
stem(real(p))
title('nach Addition')
subplot(2,2,4)
semilogy(SN1,fehler)
axis([0 35 0.0001 0.5])
180 xlabel('SN')
ylabel('Bit-Fehlerwahrscheinlichkeit')
set(1,'Name','DFE')

%zweiter Kanal

% verschiedene Kanalmodelle
if(k1==0)
190 f=kan;
    SN=[5 7 9 10 12 15 20 25 30 35];
elseif(k1==1)
    % ISI-Kanal aus Matlab S.270
    f=[.05 -.063 .088 -.126 -.25 .9047 .25 0 .126 .038 .088];
    SN=[4 5 6 7 8 9 10 11];
elseif(k1==2)
    %ISI-Kanäle aus Proakis S. 616
    f=[.04 -.05 .07 -.21 -.5 .72 .36 0 .21 .03 .07];
    SN=[4 5 6 7 8 9 10 11];
200 elseif(k1==3)
    f=[.227 .460 .688 .460 .227];%Proakis
    SN=[10 12 15 17 20 25 30 33];
else
    f=[.407 .815 .407];%Proakis
    SN=[10 12 15 17 20 25 30 33];

end

%Berechnung von Copt
210 % Aus diesen Werten wird die Matrix T(lj) erstellt (Autocorrelationfunktion)
x=xcorr(f);
x=x/x((length(x)+1)/2);% x(0)=1;

fehler1=zeros(1,length(SN));

```

```

    for h=1:length(SN)%Berechnung Bitfehlerraten
        err1=0;
220    %Berechnung der Filterkoeffizienten(DFE)
        d=length(f);%Erstellung der Matrix Xlj
        r=d-1;
        m=zeros(length(f),length(f));
        for i=1:d
            r=r+1;
            a=r;
            for l=1:d
                m(i,l)=x(a);
230                if(i==1)
                    m(i,l)=m(i,l)+10^(-SN(h)/10); %Auf Hauptdiagonalen wird N0 addiert
                end
                a=a-1;
            end
        end

        fl=fliplr(conj(f));% Vektor f*(L)-f*(0)
        copt=inv(m)*fl.'; %Berechnete Koeffizienten

240    bit=conv(1,f);% Channel-overall-response für Koeffizienten aus Berechnung
        eq=conv(bit,copt);%nach Equalizer

        data1=conv(info,f); %gestörte Datensequenz
        var=0.5*10^(-SN(h)/10);
        AWG1=randn(1,size(data1,2))*sqrt(var);
        AWG2=AWG1;
        AWG=AWG1+j*AWG2;%Rauschen
250    data=data1+AWG;

        %Berechnung Equalizerausgang
        for k=1:length(info) %Bestimmung von I(k)=summe [c(j)*v(k-j)] j=-K...K
            v1=fliplr(data(1,k:(k+length(copt)-1))); %Sequenz v(k-j)
            I1(k)=copt.'*v1.';
        end

260    %Bitentscheidung
        for i=1:length(I1)
            if real(I1(i))>=0
                bit(i)=1;
                if(bit(i)~=info(i))
                    err1=err1+1;
                end
            else
                bit(i)=-1;
                if(bit(i)~=info(i))
270                    err1=err1+1;
                end
            end
        end

        fehler1(h)=err1/N1;

        aktSNRMSE=SN(h)
        BitfehlerMSE=fehler1(h)

280    end

    SNRMSE=SN
    BitfehlerMSE=fehler1

    %Frequenzantwort des Kanals
    [G_T,W]=freqz(f,1);

```

```
G_t=20*log10(abs(G_T)/max(abs(G_T)));

% Ausgabe
290 figure(2)
    subplot(2,2,3)
    stem(real(eq))
    title('Channel-overall-response (MSE)')
    subplot(2,2,2)
    plot(W,G_t)
    axis([0 pi -30 0])
    ylabel('Amplitude (dB)')
    xlabel('Frequency \omega')
    title('Amplitudenspektrum')
300 subplot(2,2,1)
    stem(real(f))
    title('ISI-Kanal')
    subplot(2,2,4)
    semilogy(SN1,fehler,SN,fehler1)
    axis([0 35 0.0001 0.5])
    xlabel('SN')
    ylabel('Bit-Fehlerwahrscheinlichkeit')
    legend('DFE','MSE')
    set(2,'Name','MSE')
```

B C-Code

B.1 mse.c

```

1  /*****

    mse.c

    05.09.2000

    Diplomarbeit DSP-Programmierung

10  Labor für Telekommunikation
    Institut für Hochfrequenz- und Übertragungstechnik
    Fachhochschule Köln

    Dieses Programm soll eine digitale Übertragungsstrecke mit Sendefilter,
    Kanal, Matchedfilter und MSE-Equalizer simulieren. Zuerst werden die
    Koeffizienten der einzelnen Filter eingelesen. Je nach Interrupt (Taster)
    werden verschiedenen Filter dargestellt.
    Den Eingang der Strecke bildet eine zufällig erzeugte Bitfolge aus "1" bzw.
    "-1". Die 8-fach Überabtastung wird realisiert durch Anhängen von jeweils
20  sieben Nullen an jedes Bit.

    Interrupt:
        1      Signal nach Sendefilter (RRC)                U2
              Signal nach Sendefilter+Kanal              U3
        2,3,4  Signal nach Sendefilter+Kanal+Rauschen (mit
              verschiedenen S/N-Verhältnissen)          U2
              Signal nach Matchedfilter                  U3
        5      Signal nach Abtaster                        U2
              Signal nach Equalizer                      U3

30  erzeugte Datensequenz (ständig)                       U1

    *****/

#include <def21060.h>
#include <21060.h>
#include <signal.h>
40 #include <macros.h>
#include <math.h>
#include <filters.h>
#include <complex.h>
#include "dac.h"

// Wert für die Überabtastung
#define ZA 8
// Ausgangspegel
50 #define PEGEL 15000
#define TAPS 81 //verschiedene Filterlängen
#define TAPS1 96
#define TAPS2 23
int os=0,i,j; // Schleifenzähler für die Überabtastung
int level; // Pegel

// Filter Ein- und Ausgangsvariablen
complex_float input,output,input1,output1,input2,output2;

60 // Arrays für Filtereingänge
float dm states_re[TAPS+1],states1_re[TAPS1+1],states_im[TAPS+1],states1_im[TAPS1+1];
float dm states2_re[TAPS1+1],states3_re[TAPS2+1],states2_im[TAPS1+1],states3_im[TAPS2+1];
float dm states4_re[TAPS2+1],states4_im[TAPS2+1];

complex_float rauschen,temp;// Verrauschtes Signal
int snrdb; // Rauschabstand

```

```

int r_count=0;      // Interruptzähler
int snrdb=100;     // Rauschabstand in dB
float en;          // Energie des Pulses zur Berechnung des Rauschens
70 // Variablen für gasdev
static int iset=0;
static float gset;

// Koeffizienten Sendefilter (real)
float pm filterRE[TAPS]=
{
  #include "sende2.h"
};
80 // Koeffizienten Sendefilter (imag.)
float pm filterIM[TAPS]=
{
  #include "sende2im.h"
};

// Koeffizienten Sendefilter+Kanal (real)
float pm filter1RE[TAPS1]=
90 {
  #include "sekan2re.h"
};

// Koeffizienten Sendefilter+Kanal (imag.)
float pm filter1IM[TAPS1]=
{
  #include "sekan2im.h"
};
100 // Koeffizienten Matchedfilter (real)
float pm filter2RE[TAPS1]=
{
  #include "mf2re.h"
};

// Koeffizienten Matchedfilter (imag.)
float pm filter2IM[TAPS1]=
110 {
  #include "mf2im.h"
};

// Koeffizienten Ersatzfilter (real)
float pm filter3RE[TAPS2]=
{
  #include "kanal2re.h"
};

120 // Koeffizienten Ersatzfilter (imag.)
float pm filter3IM[TAPS2]=
{
  #include "kanal2im.h"
};

// Koeffizienten Equalizer (real)
float pm filter4RE[TAPS2]=
{
  #include "mse2re.h"
};
130 };

// Koeffizienten Equalizer (imag.)
float pm filter4IM[TAPS2]=
{
  #include "mse2im.h"
};

```

```

140 // Prototypen
void init_2lk(void);
void timer_hi_prior(int);
void press_button(int);
void timer_l6speed(int);
float ran1(void);
void init_filter(void);
float gasdev(void);
int awgn(int,int,int);
150 complex_float fir1(complex_float,float pm [],float pm [],float dm [],float dm [],int);

// Hauptprogramm
void main (void)
{
    input.im=0;

    // Initialisierung des Filters
    init_filter();
160 // Initialisierung einiger SHARC-Register
    init_2lk();

    // Timer wird eingeschaltet
    timer_on();

    // Endlosschleife
    for(;;)
    {
170     };
    }

void init_2lk( void )
{
    // Timer Auschalten und Timer Initialisieren
    timer_off();
    timer_set(100,100);

180 // Einige Assembler-Befehle zur Initialisierung von Interrupts
asm( "#include <def21060.h>" );
asm( "bit set mode2 IRQ1E;" );
asm( "bit clr mode1 NESTM;" );

    // Timer-Interrupt wird initialisiert
    // Funktion: Wenn der Timer bis 0 runtergezählt hat,
    // wird die Funktion timer_hi_prior() aufgerufen.
    interruptf( SIG_TMZ0, timer_hi_prior );
190 // Hardware-Interrupt IRQ1 wird initialisiert
    interruptf(SIG_IRQ1,press_button);

    // Lampen ausschalten
    set_flag(SET_FLAG0, CLR_FLAG);
    set_flag(SET_FLAG1, CLR_FLAG);
    set_flag(SET_FLAG2, CLR_FLAG);
    set_flag(SET_FLAG3, CLR_FLAG);

200 r_count=1;
    snrdb=100;

    return;
}

// Interruptfunktion für IRQ1
// Mit dem Interrupt wird der Rauschabstand ausgewählt.
void press_button(int sig_num)
{
210 sig_num=sig_num;

```

```

    r_count++;
    if(r_count==2)
    {
        snrdb=100;
    }
    if(r_count==3)
    {
220     snrdb=23;
    }
    if(r_count==4)
    {
        snrdb=15;
    }
    if(r_count==5)
    {
        r_count=0;
    }
230 }

//Erzeugung einer Zufallszahl und abhängig davon eine 1 bzw. -1
void timer_hi_prior(int sig_num)
{
    int aus=0;
    sig_num=sig_num;
    // os = OverSampling
    if(os==0)
240     {
        // Takt = high
        SetIOP(dac_7,dac_high);

        // Die Zufallszahl wird erzeugt.
        if(rand(<1073741824)
        {
            level=-PEGEL;
        }
        else
250     {
            level=PEGEL;
        }
    }

    // ZA-1 mal werden Nullen erzeugt (Überabtastung)
    else
    {
        if(r_count==1||r_count==2||r_count==3||r_count==4)
260     {
            level=dac_low;
            // Takt = low
            SetIOP(dac_7,dac_low);
        }
    }

    // Werte werden auf das Filter gegeben.
    input.re=(float)level;
    SetIOP(dac_2,(int)input.re+dac_zero);

270     if(r_count==1) // Sendefilter u. Sendefilter+Kanal
    {
        output=fir1(input,filter_re,filter_im,states_re,states_im,TAPS);
        outputl=fir1(input,filterl_re,filterl_im,statesl_re,statesl_im,TAPS1);
        SetIOP(dac_3,(int)output.re+dac_zero);
        SetIOP(dac_4,(int)outputl.re+dac_zero);
    }
    else //Sendefilter+Kanal+Rauschen u. Matchedfilter
    if(r_count==2||r_count==3||r_count==4)
280     {
        output=fir1(input,filterl_re,filterl_im,statesl_re,statesl_im,TAPS1);
        inputl.re=(float)(int)output.re+awgn(en,PEGEL,snrdb);
    }
}

```

```

        input1.im=(float)(int)output.im+awgn(en,PEGEL,snrdb);
        aus=(int)input1.re;
        output1=fir1(input1,filter2_re,filter2_im,states2_re,states2_im,TAPS1);
        SetIOP(dac_3,aus+dac_zero);
        SetIOP(dac_4,(int)output1.re/7+dac_zero);
    }
290 else // Ersatzfiltermodell u. Equalizer
    {
        output=fir1(input,filter3_re,filter3_im,states3_re,states3_im,TAPS2);
        output1=fir1(output,filter4_re,filter4_im,states4_re,states4_im,TAPS2);
        SetIOP(dac_3,(int)output.re/4+dac_zero);
        SetIOP(dac_4,(int)output1.re/9.5+dac_zero);
    }

    // Zählerverwaltung
300 os++;
    if(os==ZA||r_count==0)
    {
        os=0;
    }

}

// Gleichverteiltes Rauschen zwischen 0 und 1
310 float ran1(void)
    {
        // gleichverteilte Zufallszahlen zwischen 0 und 1 zu erhalten,
        // wird die C-Zufallsfunktion auf 1 normiert
        return (float)rand()/2147483647;
    }

// Initialisierung der Filter
320 // Einlesen der Koeffizienten
void init_filter(void)
    {
        int i=0;
        en=0;

        for(i=0;i<TAPS1;i++)
        {
330         states_re[i]=0.0;
            states_im[i]=0.0;
        }

        for(i=0;i<TAPS1;i++)
        {
            // Energie des Sendeimpuls berechnen
            en+=pow(sqrt(pow(filter1RE[i],2)+pow(filter1IM[i],2)),2);
        }

340         for(i=0;i<TAPS1+1;i++)
            {
                states1_re[i]=0.0;
                states1_im[i]=0.0;
                states2_re[i]=0.0;
                states2_im[i]=0.0;
            }

350         for(i=0;i<TAPS2+1;i++)
            {
                states3_re[i]=0.0;
                states3_im[i]=0.0;
                states4_re[i]=0.0;
                states4_im[i]=0.0;
            }
    }

```

```

    }
}

// Erzeugung von normalverteilten, mittelwertfreien Zufallszahlen mit Varianz 1
360 // aus 'Numerical Recipes in C'
float gasdev(void)
{
    float fac,rsq,v1,v2;

    if(iset==0)
    {
        do
        {
            370     v1=2.0*ran1()-1.0;
                v2=2.0*ran1()-1.0;
                rsq=v1*v1+v2*v2;
        }while(rsq>=1.0 || rsq==0.0);

        fac=sqrt(-2.0*log(rsq)/rsq);
        gset=v1*fac;
        iset=1;
        return (float)(v2*fac);
    }
    380     else
    {
        iset=0;
        return (float)gset;
    }
}

// Erzeugung des Rauschsignals, die Varianz wird angepaßt.
// Die Signalenergie, der Pegel des Eingangssignals und das
// der Rauschabstand in dB wird eingelesen.
int awgn(int energy, int scale, int snrdB)
390 {
    int sigma;
    scale=abs(scale); // Betrag vom Pegel, es gibt auch negative Pegel
    // Berechnung der Streuung
    sigma=(int)(energy*scale/sqrt(2*pow(10,snrdB/10)));
    // Berechnung und Rückgabe der Zufallszahlen
    return (int)(gasdev()*sigma);
}

400 // Komplexe Filterfunktion
complex_float fir1(complex_float input,float pm coeffs_re[],float pm coeffs_im[],
float dm state_re[],float dm state_im[], int taps)
{
    temp.re=0.0;
    temp.im=0.0;

    state_re[0]=input.re;
    state_im[0]=input.im;

410     for(i=0;i<taps;i++)
    {
        temp.re+=(coeffs_re[i]*state_re[i])-(coeffs_im[i]*state_im[i]);
        temp.im+=coeffs_im[i]*state_re[i]+coeffs_re[i]*state_im[i];
    }

    for(j=taps-1;j>=0;j--)
    {
        state_re[j+1]=state_re[j];
        state_im[j+1]=state_im[j];
420     }
    return temp;
}

```

B.2 dfe.c

```

1  /*****

    dfe.c

    05.09.2000

    Diplomarbeit DSP-Programmierung

10   Labor für Telekommunikation
    Institut für Hochfrequenz- und Übertragungstechnik
    Fachhochschule Köln

    Dieses Programm soll eine digitale Übertragungsstrecke mit Sendefilter,
    Kanal und DFE-Equalizer simulieren. Zuerst werden die
    Koeffizienten der einzelnen Filter eingelesen. Je nach Interrupt (Taster)
    werden verschiedenen Filter dargestellt.

20   Den Eingang der Strecke bildet eine zufällig erzeugte Bitfolge aus "1" bzw.
    "-1". Die 8-fach Überabtastung wird realisiert durch Anhängen von jeweils
    sieben Nullen an jedes Bit.

    Interrupt:
        1,2,3  Signal nach Sendefilter (RRC)                U2
              Signal nach Sendefilter+Kanal+Rauschen
              mit verschiedenen S/N-Werten                U3
        4     Signal nach Abtaster                          U2
              Signal nach FF-Filter                       U3
        5     Signal nach FF-Filter                          U2
30          Signal nach FB-Filter                          U3
              Addition der beiden Anteile                 U4
              Signal nach Entscheider                     U5

              erzeugte Datensequenz                       U1

    *****/

#include <def21060.h>
#include <21060.h>
40 #include <signal.h>
#include <macros.h>
#include <math.h>
#include <filters.h>
#include <complex.h>
#include "dac.h"

// Wert für die Überabtastung
#define ZA 8
50 // Ausgangspegel
#define PEGEL 15000
#define TAPS 81
#define TAPS1 112
#define TAPS2 27
#define TAPS3 27
#define TAPS4 26

int os=0,i,j; // Schleifenzähler für die Überabtastung
int level; // Pegel
60 // Filter Ein- und Ausgangsvariablen
complex_float input,output,input1,output1,input2,output2;

// Arrays für Filtereingänge
float dm states_re[TAPS+1],states1_re[TAPS1+1],states_im[TAPS+1],states1_im[TAPS1+1];
float dm states2_re[TAPS2+1],states3_re[TAPS3+1],states2_im[TAPS2+1],states3_im[TAPS3+1];
float dm states4_re[TAPS4+1],states4_im[TAPS4+1];

complex_float rauschen,temp;// Verrauschtes Signal
int snrdb; // Rauschabstand
70 int r_count=0; // Zähler für Rauschen

```

```
int snrdb=100;           // Rauschabstand in dB
float en,input3;        // Energie des Pulses zur Berechnung des Rauschens

// Variablen für gasdev
static int iset=0;
static float gset;

// Koeffizienten Sendefilter (real)
float pm filterRE[TAPS]=
80 {
    #include "sende2.h"
};

// Koeffizienten Sendefilter (imag)
float pm filterIM[TAPS]=
{
    #include "sende2im.h"
};

90 // Koeffizienten Sendefilter+Kanal (real)
float pm filter1RE[TAPS1]=
{
    #include "sekan4re.h"
};

// Koeffizienten Sendefilter+Kanal (imag)
float pm filter1IM[TAPS1]=
{
    #include "sekan4im.h"
100 };

// Koeffizienten Ersatzfilter (real)
float pm filter2RE[TAPS2]=
{
    #include "kanal4re.h"
};

// Koeffizienten Ersatzfilter (imag)
float pm filter2IM[TAPS2]=
110 {
    #include "kanal4im.h"
};

// Koeffizienten FF-filter (real)
float pm filter3RE[TAPS3]=
{
    #include "DFEff4re.h"
};

120

// Koeffizienten FF-filter (imag)
float pm filter3IM[TAPS3]=
{
    #include "DFEff4im.h"
};

// Koeffizienten FB-filter (real)
float pm filter4RE[TAPS4]=
{
130 #include "DFEfb4re.h"
};

// Koeffizienten FB-filter (imag)
float pm filter4IM[TAPS4]=
{
    #include "DFEfb4im.h"
};

140

// Prototypen
```

```

void init_2lk(void);
void timer_hi_prior(int);
void press_button(int);
void timer_l6speed(int);
float ran1(void);
void init_filter(void);
float gasdev(void);
150 int awgn(int,int,int);
    complex_float fir1(complex_float,float pm [],float pm [],float dm [],float dm [],int);

// Hauptprogramm
void main (void)
{
    input.im=0;
    output2.re=0;
    output2.im=0;
160    input2.im=0;

    // Initialisierung des Filters
    init_filter();
    // Initialisierung einiger SHARC-Register
    init_2lk();

    // Timer wird eingeschaltet
    timer_on();

170    // Endlosschleife
    for(;;)
    {

    }
}

void init_2lk( void )
{
180    // Timer Auschalten und Timer Initialisieren
    timer_off();
    timer_set(100,100);

    // Einige Assembler-Befehle zur Initialisierung von Interrupts
    asm( "#include <def21060.h>" );
    asm( "bit set mode2 IRQ1E;" );
    asm( "bit clr mode1 NESTM;" );

190    // Timer-Interrupt wird initialisiert
    // Funktion: Wenn der Timer bis 0 runtergezählt hat,
    // wird die Funktion timer_hi_prior() aufgerufen.
    interruptf( SIG_TMZ0, timer_hi_prior );

    // Hardware-Interrupt IRQ1 wird initialisiert
    interruptf(SIG_IRQ1,press_button);

    // Lampen ausschalten
    set_flag(SET_FLAG0, CLR_FLAG);
200    set_flag(SET_FLAG1, CLR_FLAG);
    set_flag(SET_FLAG2, CLR_FLAG);
    set_flag(SET_FLAG3, CLR_FLAG);

    r_count=1;
    snrdb=100;

    return;
}

210 // Interruptfunktion für IRQ1
// Mit dem Interrupt wird der Rauschabstand ausgewählt.
void press_button(int sig_num)
{
    sig_num=sig_num;

```

```

output2.re=0.0;
output2.im=0.0;

r_count++;
220   if(r_count==2)
      {
        snrdb=23;
      }
      if(r_count==3)
      {
        snrdb=15;
      }
      if(r_count==4)
      {
230   snrdb=100;
      }
      if(r_count==5)
      {

        r_count=0;
      }

}

240 //Erzeugung einer Zufallszahl und abhängig davon eine 1 bzw. -1
void timer_hi_prior(int sig_num)
{
  int aus=0;
  sig_num=sig_num;
  // os = OverSampling
  if(os==0)
  {
    // Takt = high
    SetIOP(dac_7,dac_high);
250
    // Die Zufallszahl wird erzeugt.
    if(rand(<1073741824)
    {
      level=-PEGEL;
    }
    else
    {
      level=PEGEL;
260
    }
  }

  // ZA-1 mal werden Nullen erzeugt (Überabtastung)
  else
  {
    if(r_count==1||r_count==2||r_count==3)
    {
      level=dac_low;
      // Takt = low
270   SetIOP(dac_7,dac_low);
    }
  }

  // Werte werden auf das Filter gegeben.
  input.re=(float)level;
  SetIOP(dac_2,(int)input.re+dac_zero);

  // Sendefilter u. Sendefilter+Kanal+Rauschen
280   if(r_count==1||r_count==2||r_count==3)
      {

        output=firl(input,filterRE,filterIM,states_re,states_im,TAPS);
        outputl=firl(input,filterlRE,filterlIM,statesl_re,statesl_im,TAPS1);
        input1.re=(float)(int)output1.re+awgn(en,PEGEL,snrdb);
        input1.im=(float)(int)output1.im+awgn(en,PEGEL,snrdb);
        aus=(int)input1.re;
      }

```

```

        SetIOP(dac_3,(int)output.re+dac_zero);
        SetIOP(dac_4,aus+dac_zero);
    }
290 else // Ersatzfilter u. FF-Filter
    if(r_count==4)
    {
        output=fir1(input,filter2RE,filter2IM,states2_re,states2_im,TAPS2);
        output1=fir1(output,filter3RE,filter3IM,states3_re,states3_im,TAPS3);
        SetIOP(dac_3,(int)output.re+dac_zero);
        SetIOP(dac_4,(int)output1.re+dac_zero);
    }
300 else // FF-Filter, FB-Filter, nach Addition u. nach Detector
    {
        output=fir1(input,filter2RE,filter2IM,states2_re,states2_im,TAPS2);
        output3=fir1(output,filter3RE,filter3IM,states3_re,states3_im,TAPS3);
        //Nach FF-Filter
        SetIOP(dac_3,(int)output3.re+dac_zero);
        //Nach FB-Filter
        SetIOP(dac_4,(int)output2.re+dac_zero);
310 input3=output3.re+output2.re;
        //Nach Addition
        SetIOP(dac_5,(int)input3+dac_zero);

        if(input3>0)
        {
            input2.re=(float)PEGEL;
        }
        else
        {
320             input2.re=- (float)PEGEL;
        }

        //Nach Detector
        SetIOP(dac_6,(int)input2.re+dac_zero);
        output2=fir1(input2,filter4RE,filter4IM,states4_re,states4_im,TAPS4);
    }

    // Zählerverwaltung
    os++;
330 if(os==ZA||r_count==0||r_count==4)
    {
        os=0;
    }

}

// Gleichverteiles Rauschen zwischen 0 und 1
340 float ran1(void)
{
    // gleichverteilte Zufallszahlen zwischen 0 und 1 zu erhalten,
    // wird die C-Zufallsfunktion auf 1 normiert
    return (float)rand()/2147483647;
}

// Initialisierung der Filter
350 void init_filter(void)
{
    int i=0;
    en=0;

    for(i=0;i<TAPS+1;i++)
    {
        states_re[i]=0.0;
        states_im[i]=0.0;
    }
}

```

```

360     }

        for(i=0;i<TAPS1;i++)
        {

            // Energie des Sendeimpuls berechnen
            en+=pow(sqrt(pow(filter1RE[i],2)+pow(filter1IM[i],2)),2);

        }

370     for(i=0;i<TAPS1+1;i++)
        {

            states1_re[i]=0.0;
            states1_im[i]=0.0;

        }

        for(i=0;i<TAPS2+1;i++)
380     {

            states2_re[i]=0.0;
            states2_im[i]=0.0;

        }

        for(i=0;i<TAPS3+1;i++)
        {

            states3_re[i]=0.0;
            states3_im[i]=0.0;
390     }

        for(i=0;i<TAPS4+1;i++)
        {

            states4_re[i]=0.0;
            states4_im[i]=0.0;

        }

400 }

// Erzeugung von normalverteilten, mittelwertfreien Zufallszahlen mit Varianz 1
// aus 'Numerical Recipes in C'
float gasdev(void)
{
    float fac,rsq,v1,v2;

410     if(iset==0)
        {
            do
            {
                v1=2.0*ran1()-1.0;
                v2=2.0*ran1()-1.0;
                rsq=v1*v1+v2*v2;
            }while(rsq>=1.0 || rsq==0.0);

            fac=sqrt(-2.0*log(rsq)/rsq);
            gset=v1*fac;
420         iset=1;
            return (float)(v2*fac);
        }
        else
        {
            iset=0;
            return (float)gset;
        }
    }

430 // Erzeugung des Rauschsignals, die Varianz wird angepaßt.

```

```
// Die Signalenergie, der Pegel des Eingangssignals und das
// der Rauschabstand in dB wird eingelesen.
int awgn(int energy, int scale, int snrdB)
{
    int sigma;
    scale=abs(scale); // Betrag vom Pegel, es gibt auch negative Pegel
    // Berechnung der Streuung
    sigma=(int)(energy*scale/sqrt(2*pow(10,snrdB/10)));
    // Berechnung und Rückgabe der Zufallszahlen
440    return (int)(gasdev()*sigma);
}

complex_float fir1(complex_float input,float pm coeffs_re[],float pm coeffs_im[],
float dm state_re[],float dm state_im[], int taps)
{
    temp.re=0.0;
    temp.im=0.0;
450    state_re[0]=input.re;
    state_im[0]=input.im;

    for(i=0;i<taps;i++)
    {
        temp.re+=(coeffs_re[i]*state_re[i])-(coeffs_im[i]*state_im[i]);
        temp.im+=coeffs_im[i]*state_re[i]+coeffs_re[i]*state_im[i];
    }
460    for(j=taps-1;j>=0;j--)
    {
        state_re[j+1]=state_re[j];
        state_im[j+1]=state_im[j];
    }
    return temp;
}
```

C Layout AD-Wandler

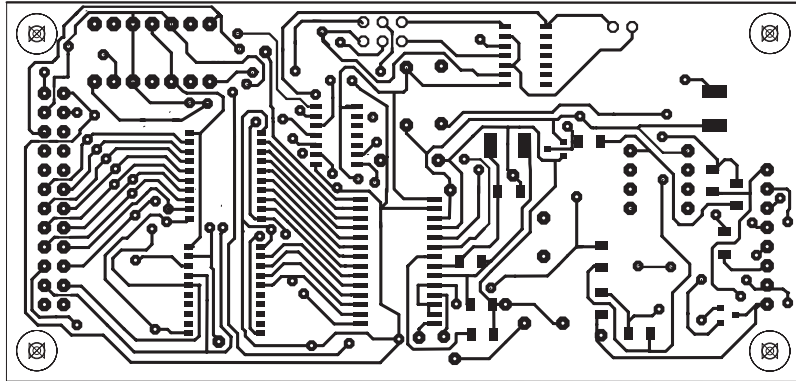


Abbildung C.8: Layout Oberseite

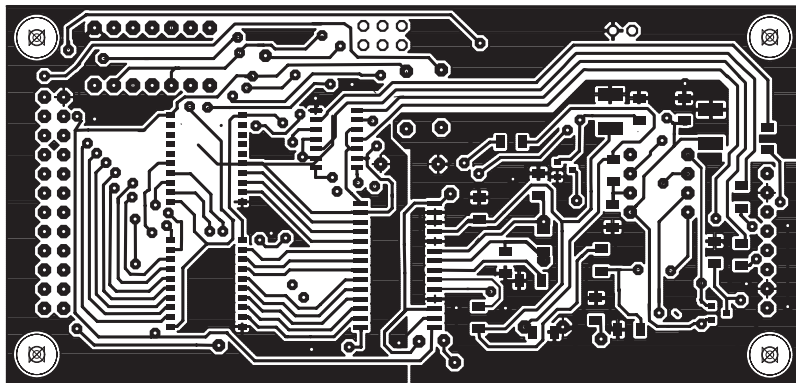


Abbildung C.9: Layout Unterseite

C.1 Bestückung

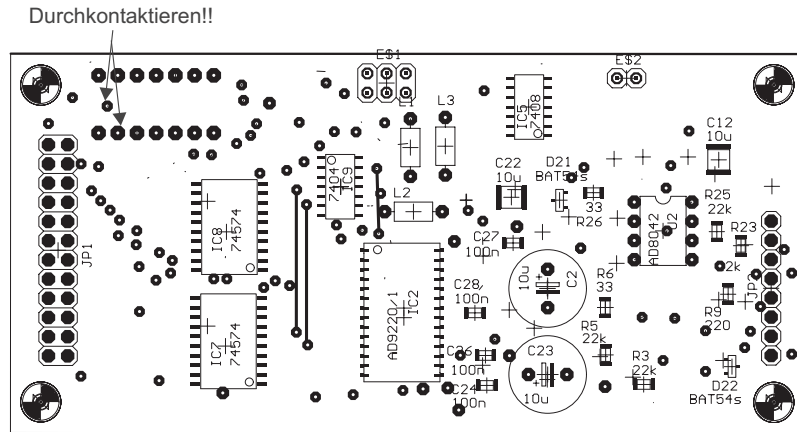


Abbildung C.10: Bestückung Oberseite

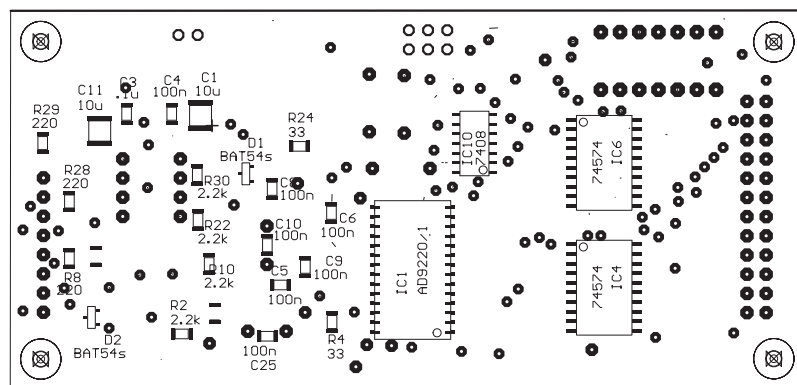


Abbildung C.11: Bestückung Unterseite

D Praktikumsanleitung

Nachfolgend ist die Anleitung für das Praktikum abgedruckt.